

# “EL UNIVERSO OSCURO”

Ulises Nucamendi Gómez

Instituto de Física y Matemáticas  
Universidad Michoacana de San Nicolás de Hidalgo

*XIII ESCUELA DE FÍSICA FUNDAMENTAL*  
*MCTP - UNACH*

*Tuxtla Gutiérrez, Chiapas, México.*

*Agosto de 2018.*

## Contenido

1. - Modelos cosmológicos de Friedmann-Robertson-Walker (FRW).
2. - El Diagrama de Hubble: distancia modular vs corrimiento al rojo.
- 3.- La distancia de luminosidad y la relación distancia modular vs corrimiento al rojo.
- 4.- Estimación Bayesiana de parámetros.
- 5.- Ecuaciones cosmológicas de la Teoría General de la Relatividad.
- 6.- Modelo del Universo compuesto por Materia Bariónica, Materia Oscura, Radiación de fotones del CMB y Constante Cosmológica.
- 7.- Evidencia para la existencia de la Constante Cosmológica.

# 1. Modelos cosmológicos de Friedmann-Robertson-Walker (FRW)

**Principio Cosmológico:** El universo es espacialmente homogéneo e isotrópico en escalas de distancia cosmológicas (Einstein, 1917) pero evoluciona con el tiempo.

Este Principio engloba la idea: los humanos no somos observadores privilegiados y no estamos en el centro de nuestro universo.

## • Evidencia observacional para isotropía espacial en escalas cosmológicas:

- Medidas de la Radiación Cómica del Fondo de Microondas (CMB) con temperatura promedio:  $T = 2.728 \text{ K}$ .

### -Experimentos:

-Cosmic Background Explorer (COBE) (1992).

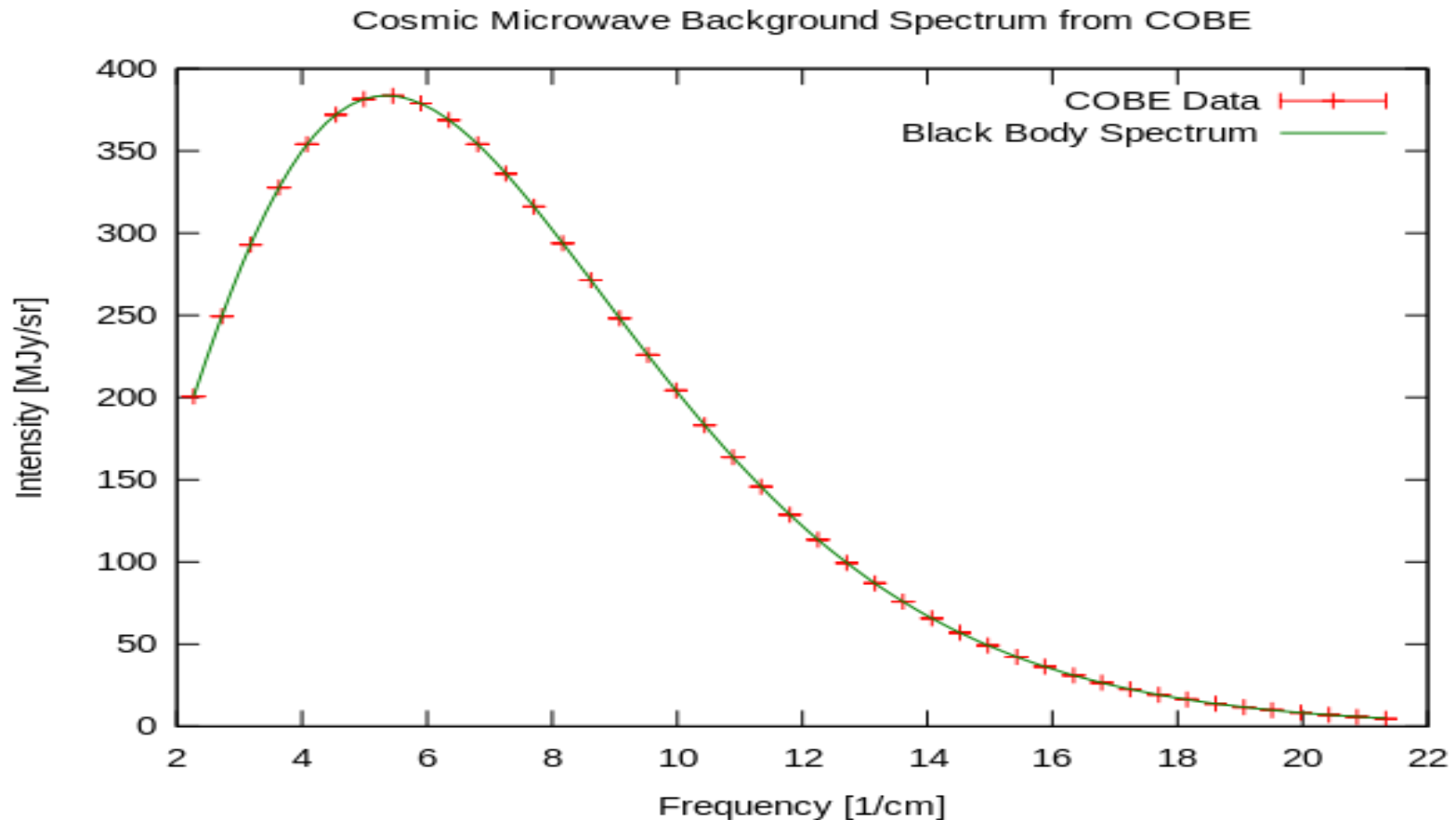
-Wilkinson Microwave Anisotropy Probe (WMAP-9) (2003-2011).

-Planck Satellite (2015).

- Fotones que han viajado hasta hoy desde el tiempo (14 Giga años) en que se desacoplan del plasma de electrones y protones una vez que éstos se recombinan para formar los elementos más ligeros (hidrógeno, helio, litio) a la temperatura  $T = 3000 \text{ K}$  ( $z=1100$ ).

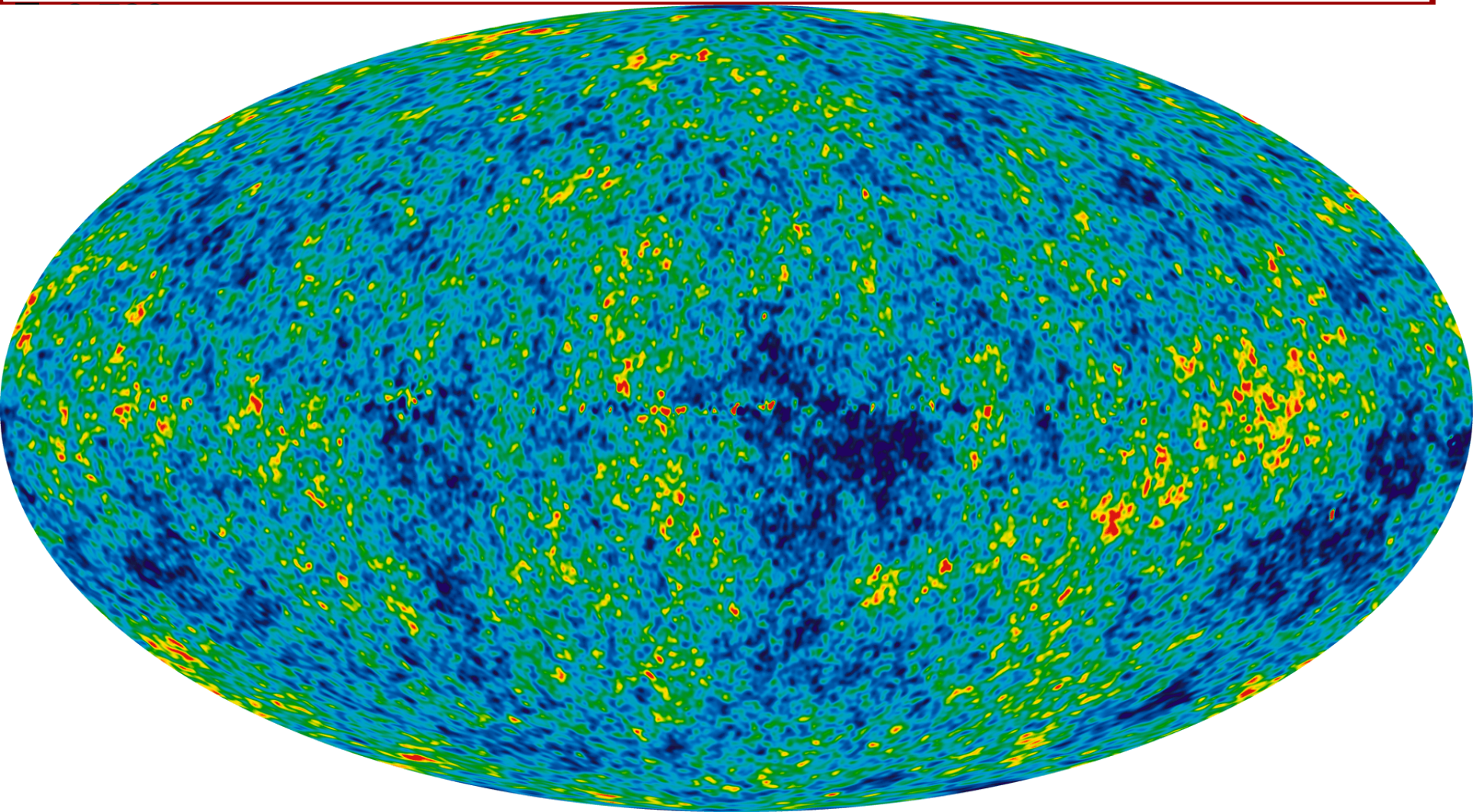
**Gas de Radiación C3smica de Fotones (Distribuci3n de Cuerpo Negro)**  
**Temperatura media  $T = 2.728$  Kelvin.**

$$\rho_r^0 = \frac{\pi^2 k_B^4}{15 \hbar^3 c^3} T^4 = 4.7 \times 10^{-34} \frac{gr}{cm^3}$$



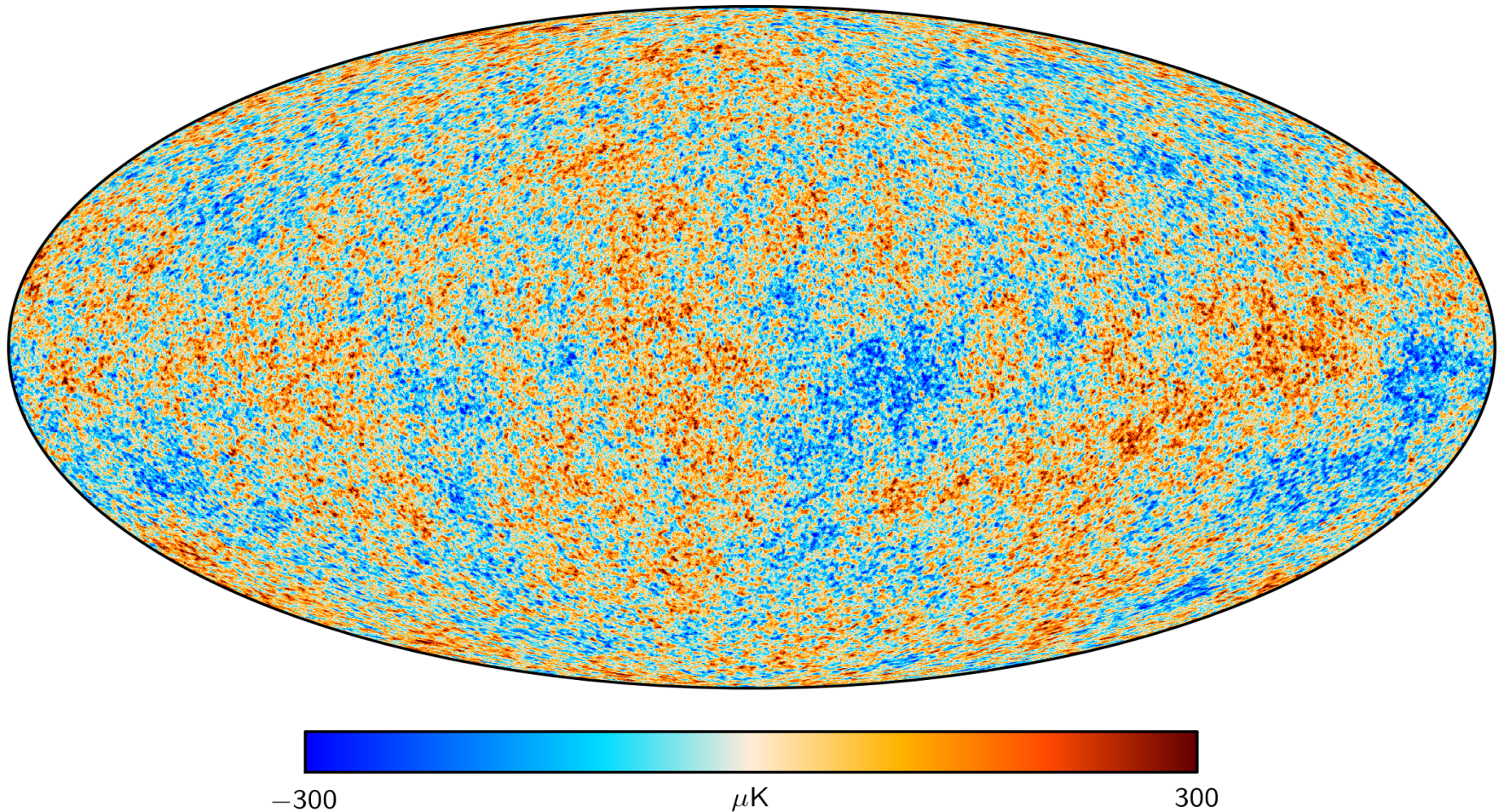
Anisotropías de la radiación cósmica medidas por el experimento Wilkinson Microwave Anisotropy Probe (WMAP-7). E. Komatsu et al.,  
*The Astrophysical Journal Supplement Series*, 192:18 (2011).

Esta imagen corresponde a variaciones  $\Delta T = (-200, 200)$  Microkelvin de la temperatura media  $T = 2.728$  Kelvin.



Anisotropías de la radiación cósmica medidas por el experimento PLANCK (2015). <http://www.cosmos.esa.int/web/planck/publications#Planck2015>

Esta imagen corresponde a variaciones  $\Delta T = (-300, 300)$  Microkelvin de la temperatura media  $T = 2.728$  Kelvin.



**Principio Cosmológico: El universo es espacialmente homogéneo e isotrópico en escalas de distancia cosmológicas (Einstein, 1917) pero evoluciona con el tiempo.**

**Este Principio engloba la idea: los humanos no somos observadores privilegiados y no estamos en el centro de nuestro universo.**

**• Evidencia parcial para homogeneidad espacial proviene de medidas de distribución de galaxias por los experimentos:**

**(1) Two Degree Field Galaxy Redshift Survey (2dF) con 250,000 galaxias (2001- 2003).**

**(2) Sloan Digital Sky Survey (SDSS-III) con 893,000 galaxias sobre 9100 grados cuadrados (2000 – 2014).**

**Experimentos futuros:**

**(3) Sloan Digital Sky Survey (SDSS-IV) (2014-2020):**

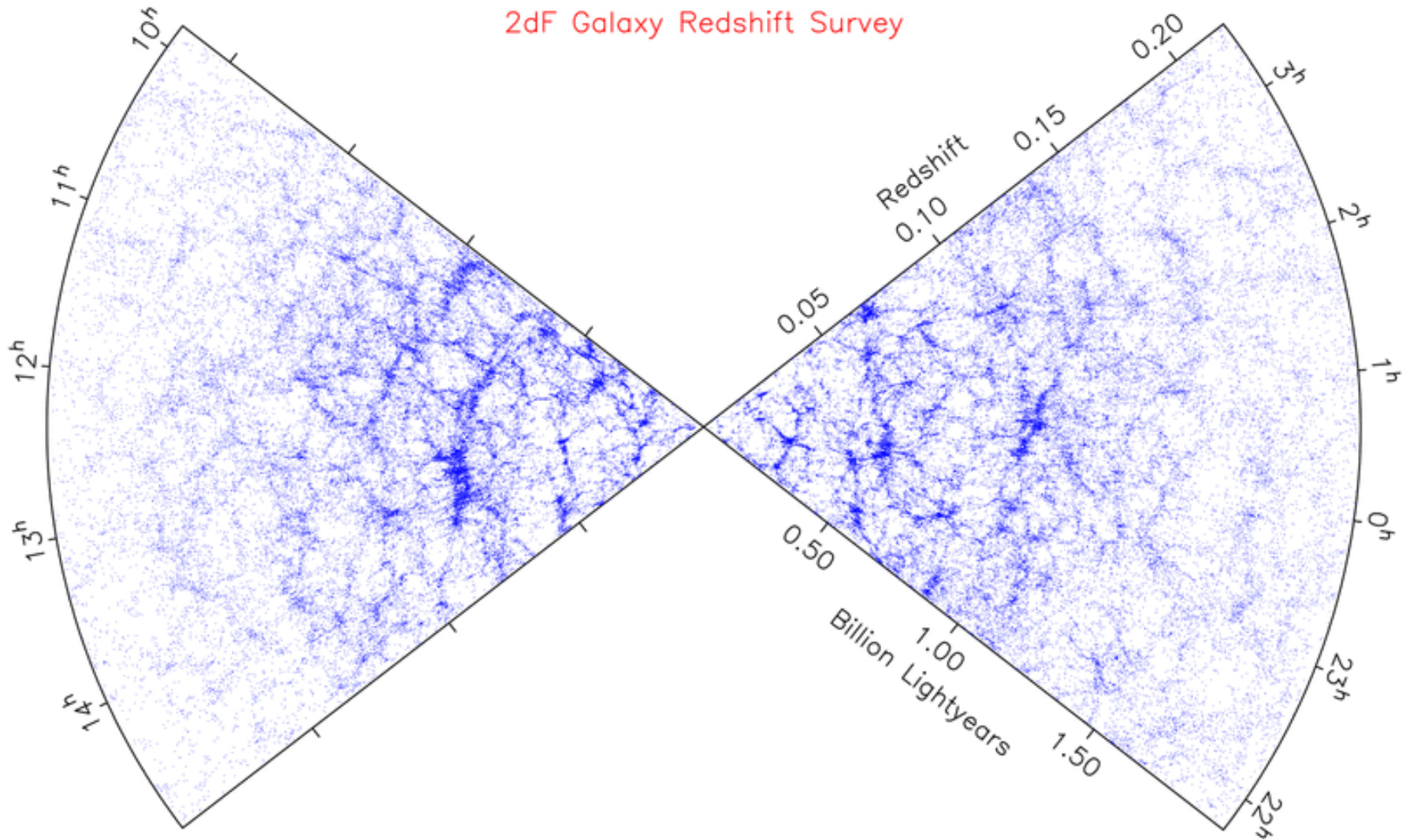
**(Extended) Baryon Oscillation Spectroscopic Survey (BOSS, eBOSS)**

Campo profundo observado por el telescopio espacial Hubble.

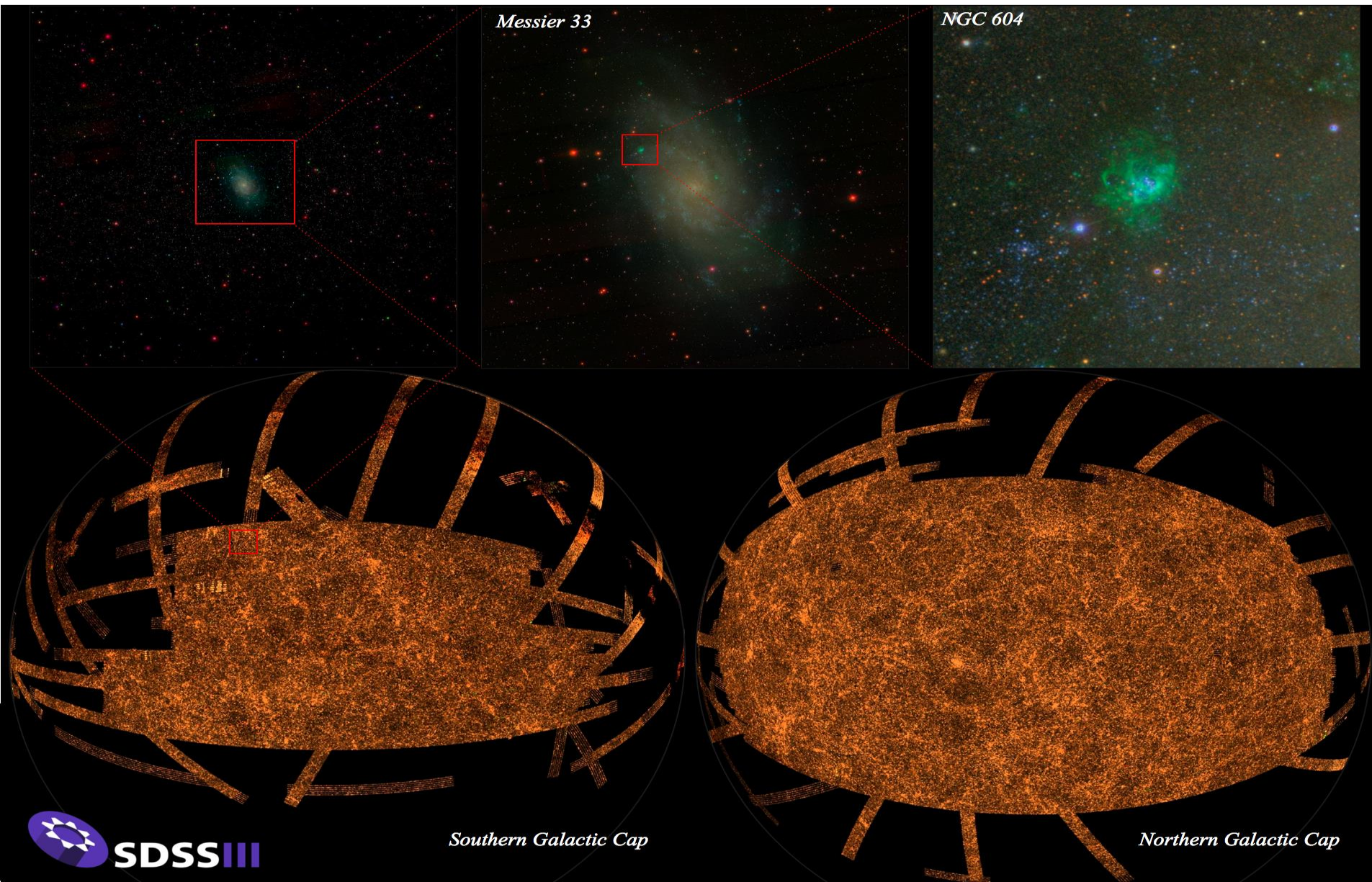


Distribución de galaxias en el experimento “Two Degree Field Galaxy Redshift Survey (2dF)”. Estas observaciones miden la estructura en el universo correspondientes a distancias hasta  $1000/h$  Mpc.  $1 \text{ parsec} = 3,0857 \times 10^{16} \text{ m}$

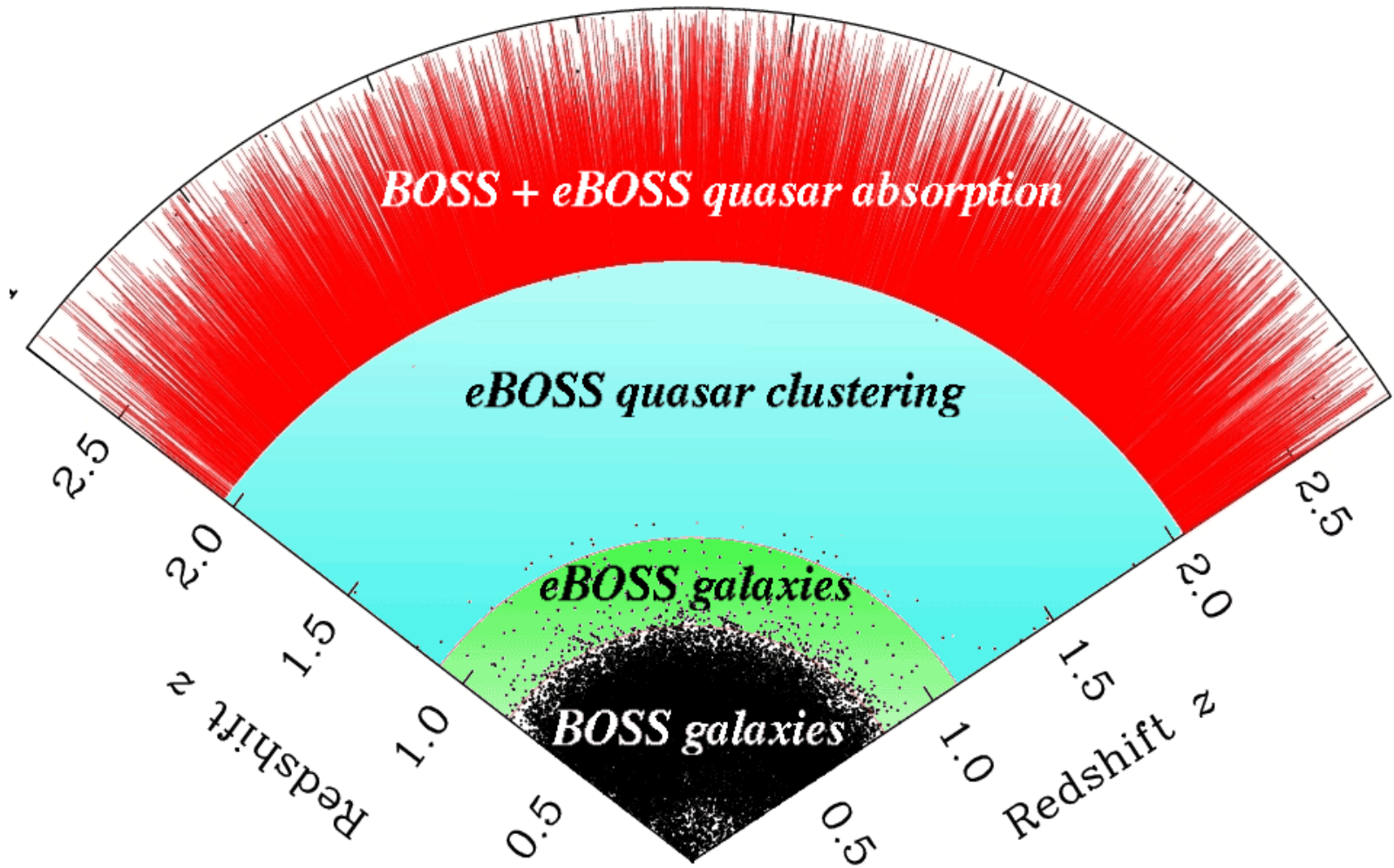
2dF Galaxy Redshift Survey



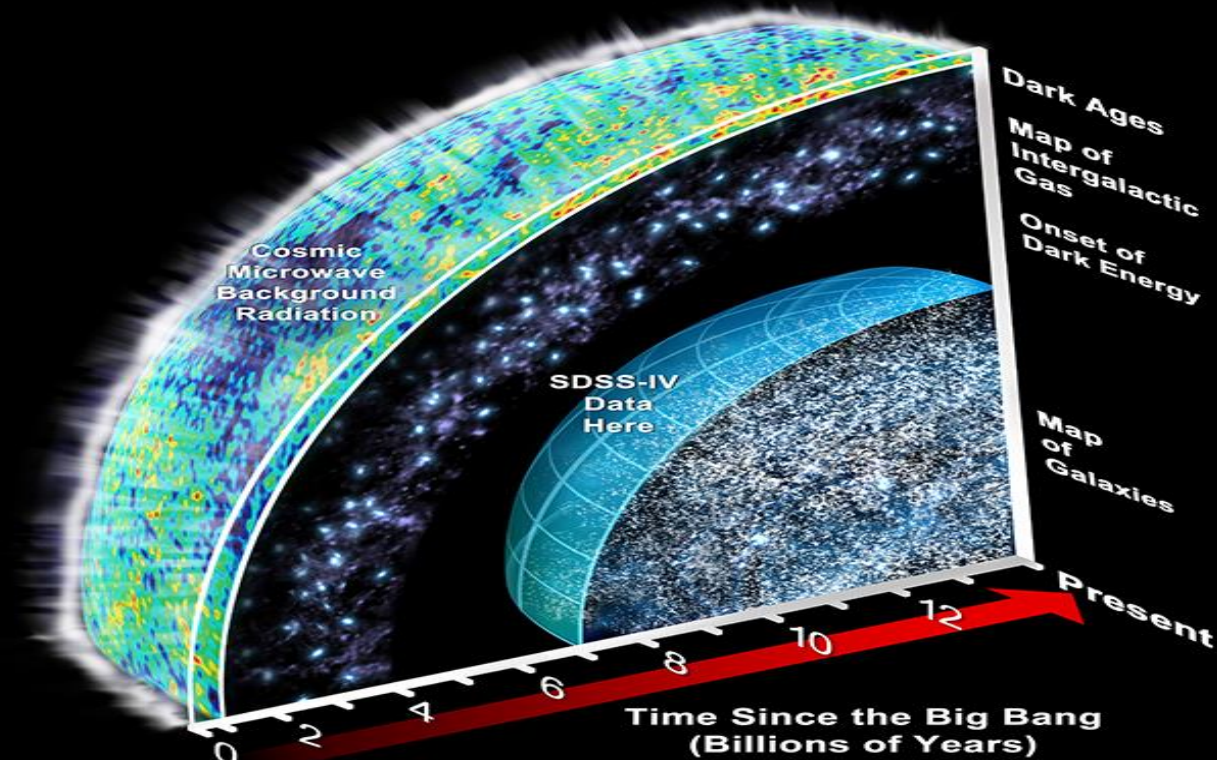
Mapa del firmamento derivado del experimento SDSS-III. En el mapa se muestran los cúmulos de galaxias que son las estructuras más grandes en el universo. Crédito: SDSS-III Colaboración.



ALCANCE DEL EXPERIMENTO FUTURO eBOSS (2014-2020):



## SDSS-IV Catches the Rise of Dark Energy



Un universo espacialmente isotrópico y homogéneo, y evolucionando en el tiempo significa que podemos representarlo como  $\mathbf{R} \times \Sigma$  donde  $\Sigma$  es un volumen espacial tridimensional isotrópico y homogéneo (maximalmente simétrico), y donde  $\mathbf{R}$  representa la dirección en el tiempo:

$$ds^2 = -dt^2 + a^2(t)d\sigma^2$$

La variable  $t$  representa la coordenada de tiempo y la función  $a(t)$  representa el factor de escala.

Acorde con isotropía espacial y homogeneidad del universo, la métrica sobre  $\Sigma$  puede expresarse en coordenadas esféricas:

$$d\sigma^2 = \gamma_{ij}(u)du^i du^j = e^{2\beta(r)} dr^2 + r^2 d\Omega^2$$

La tres métrica maximalmente simétrica satisface:

$${}^{(3)}R_{ijkl} = k(\gamma_{ik}\gamma_{jl} - \gamma_{il}\gamma_{jk})$$

$$\Rightarrow$$

$${}^{(3)}R = 6 \cdot k$$

$$\Rightarrow$$

$${}^{(3)}R_{jl} = 2k\gamma_{jl}$$

$$\Rightarrow$$

$$\beta(r) = -\frac{1}{2} \text{Ln}(1 - kr^2)$$

# Modelos cosmológicos Friedmann-Robertson-Walker (FRW) .

Cosmologías con volúmenes espaciales  $\Sigma$  homogéneos e isotrópicos.

**La métrica FRW del Espacio-tiempo:**

• Cerrado  $k > 0$

• Abierto  $k < 0$

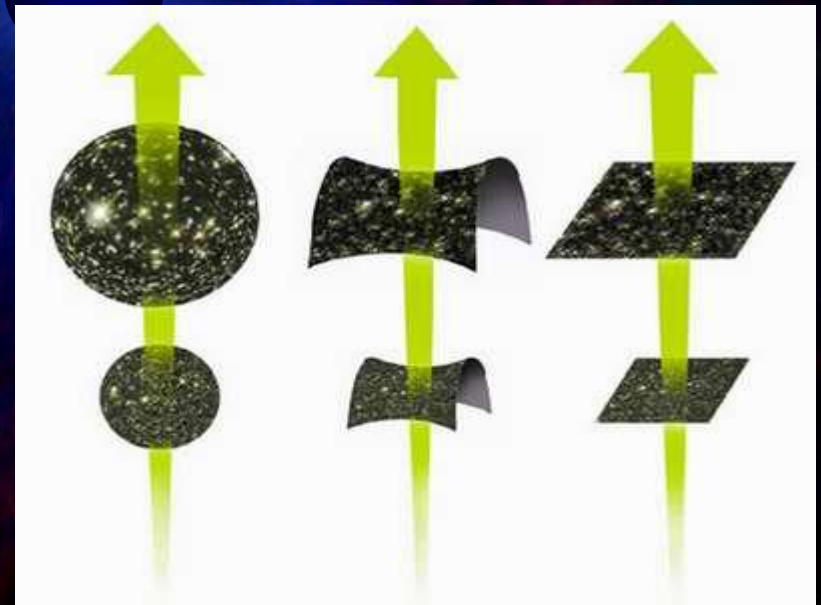
• Plano  $k = 0$

$$ds^2 = -dt^2 + a^2(t) \left[ \frac{dr^2}{1 - kr^2} + r^2 (d\theta^2 + \text{sen}^2 \theta d\phi^2) \right]$$

Universo en expansión:  $a(t)$  crece.

Universo en contracción:  $a(t)$  decrece.

**Un Universo inicialmente plano (abierto, cerrado) será siempre plano (abierto, cerrado) durante evolución temporal.**



## 2.- El diagrama de Hubble: distancia modular vs corrimiento al rojo.

- Riess A. et al., Astron. J. 116, 1009 (1998), (50 Data).
- Perlmutter S. J. et al., Astrophys. J. 517, 565 (1999), (60 Data).
- Riess A. et al., Astrophys. J. 607, 665 (2004). [Gold D. (157) and Silver D.(29)].
- Astier P. et al., Astronomy & Astrophysics 447, 31 (2006). (SNLS) (71 Data).
- Kowalski M. et al., Astrophys. J. 686, 749 (2008). (SCP) (307 Data).
- Amanullah R. et al., Astrophys. J. 716, 712 (2010). (557 Data).

Ellos midieron la magnitud aparente de SNe la como una función del corrimiento al rojo.

$$\mu(z) \equiv m(z) - M$$

$$\mu(z) \equiv$$

Distancia Modular.

$$m(z) \equiv$$

Magnitud aparente.

$$M \equiv$$

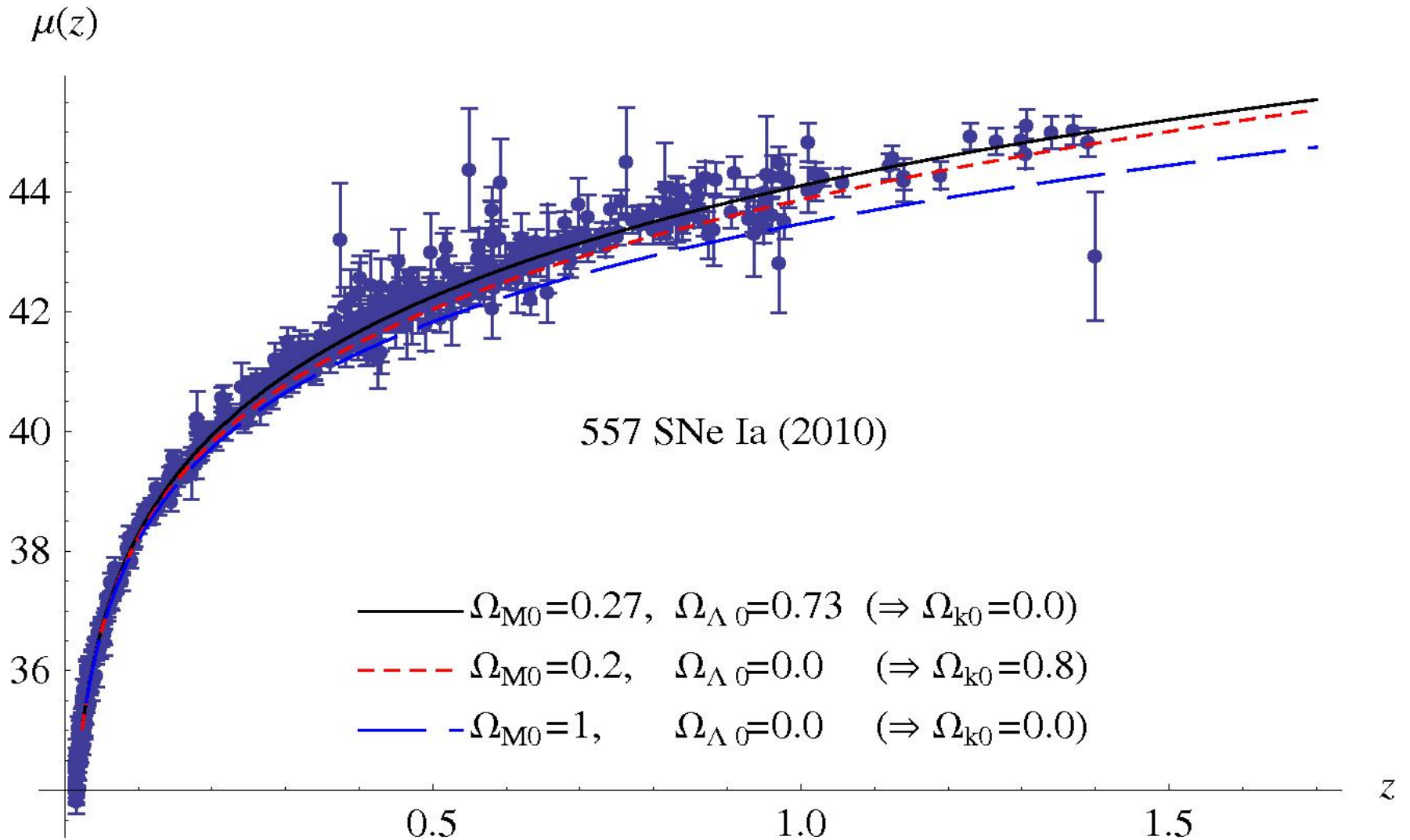
Magnitud absoluta.

$$z \equiv \frac{\lambda_{\text{obs}} - \lambda_e}{\lambda_e} =$$

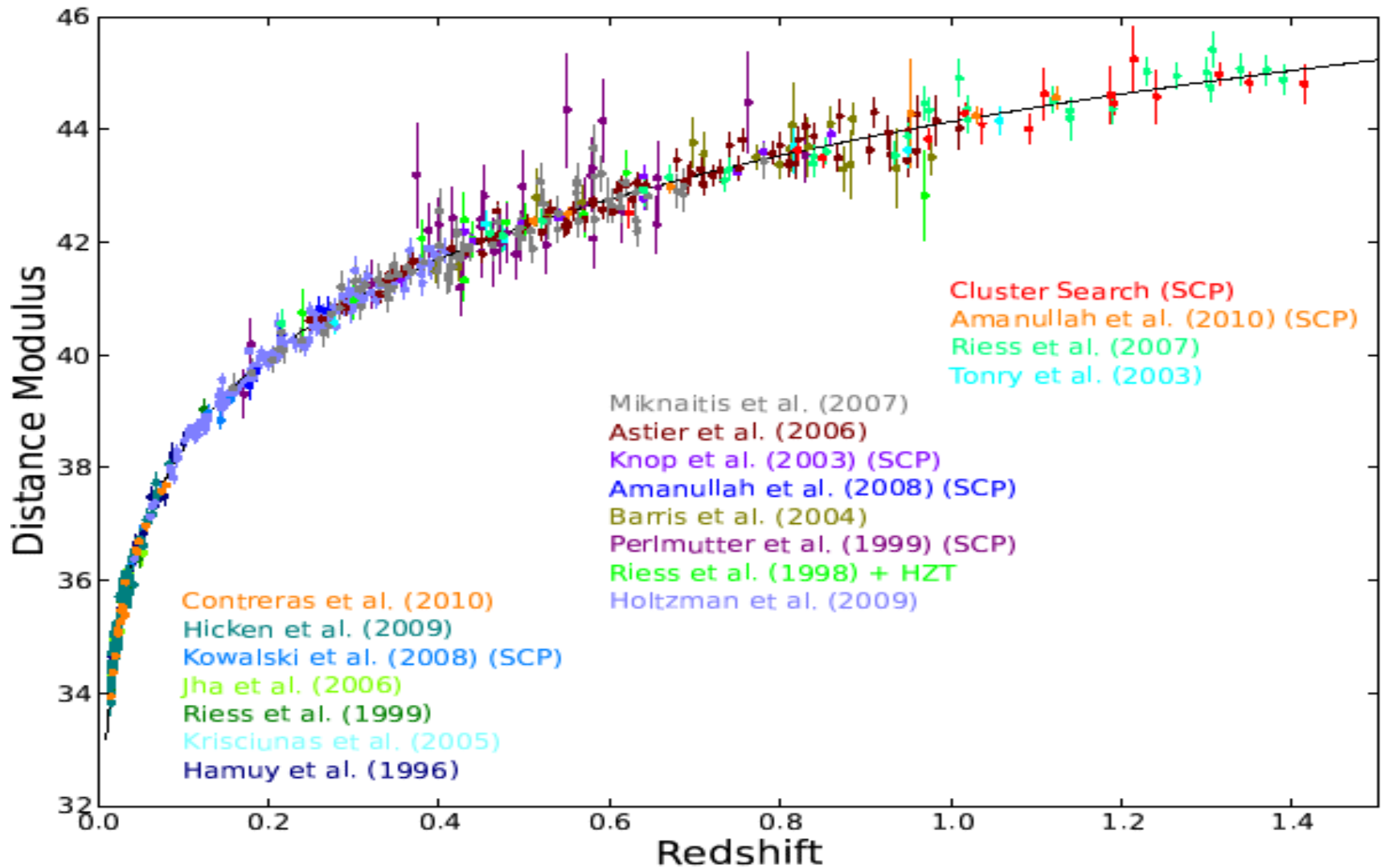
Corrimiento al rojo.

# Diagrama Hubble (Muestra Union2, Amanullah et. al., 2010).

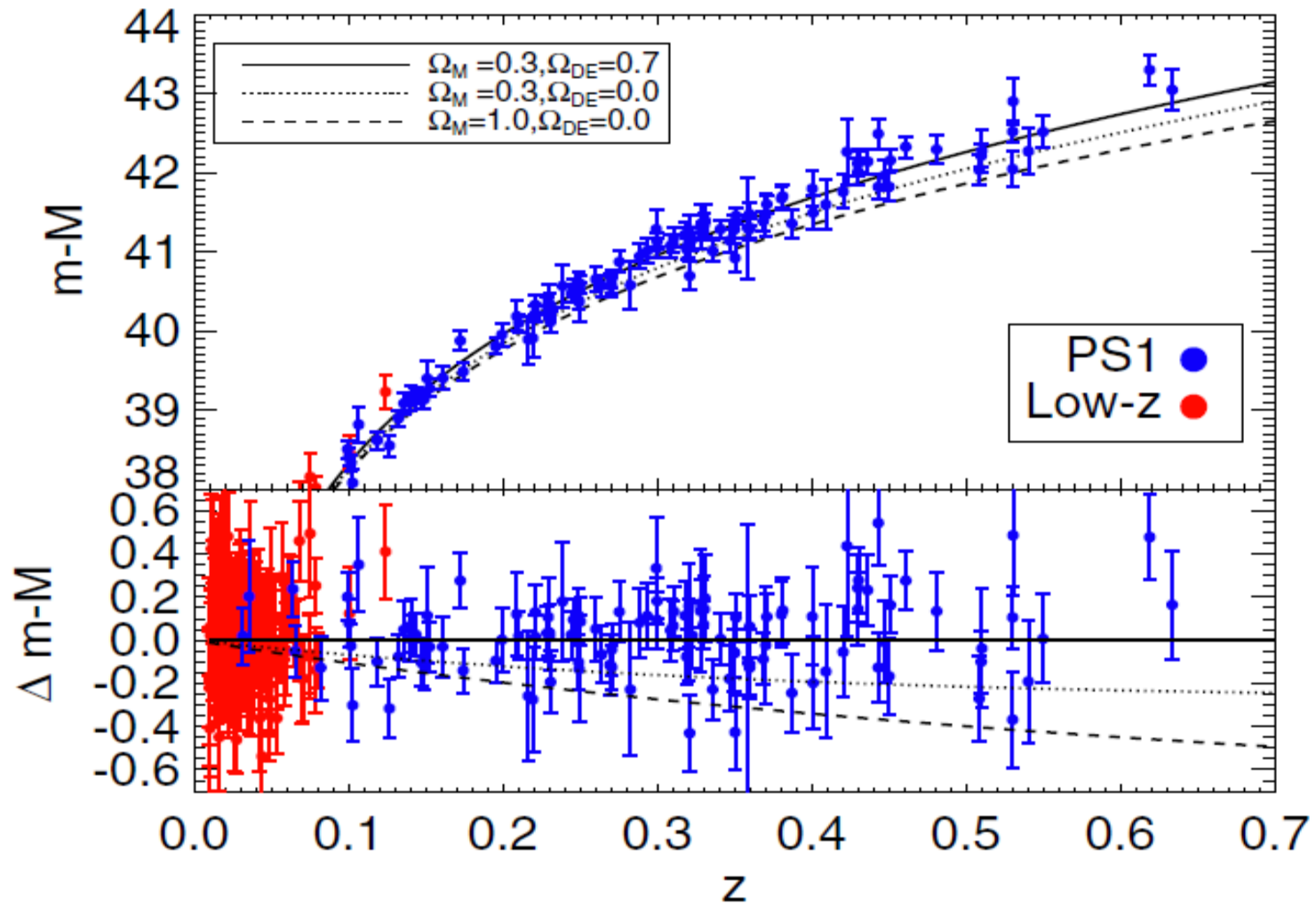
$$\mu(z) \equiv m(z) - M$$



# Diagrama Hubble (Muestra Union2, Amanullah et. al., 2010).



# PAN-STARRS DATASET



### 3.- La distancia de luminosidad y la relación distancia modular vs corrimiento al rojo z.

$$H(t) \equiv \frac{\dot{a}(t)}{a(t)},$$

El Parámetro de Hubble: razón de la expansión (velocidad del universo).

$$q(t) = -\frac{a\ddot{a}}{\dot{a}^2}$$

El Parámetro de desaceleración.

$$\frac{a(t)}{a_0} = a(z) \equiv \frac{1}{1+z}$$

$\Rightarrow$

$$\frac{1}{H} \frac{dH}{dz} = \frac{[1+q(z)]}{(1+z)}$$

$$H_0 = H(t_0) = h \times 100 \frac{\text{km}}{\text{seg} \cdot \text{Mpc}}$$

La Constante de Hubble

$$h = 0.702 \pm 0.014 \quad \text{WMAP} + \text{BAO} + H_0$$

Observaciones recientes

$$h = 0.72 \pm 0.08 \quad \text{HST (2001)}$$

$$L \equiv \frac{\text{energía radiada}}{\text{unidad de tiempo}}$$

L = Luminosidad emitida por un objeto astrofísico tal como una Supernova Sne IA.

Luminosidad emitida:

$$L_e = \frac{N_e}{\delta t_e} \hbar \omega_e$$

Luminosidad Observada:

$$L_{\text{obs}} = \frac{N_{\text{obs}}}{\delta t_{\text{obs}}} \hbar \omega_{\text{obs}}$$

Pero:

$$N_{\text{obs}} \equiv N_e$$

$$1 + z = \frac{\delta t_{\text{obs}}}{\delta t_e}$$

y

$$1 + z \equiv \frac{\omega_e}{\omega_{\text{obs}}}$$

Entonces:

$$\frac{L_{\text{obs}}}{L_e} = \frac{1}{(1 + z)^2}$$

Por otro lado, el flujo observado de la SNe se define como:

$$f_{\text{obs}} \equiv \frac{L_{\text{obs}}}{4\pi d_{\text{eff}}^2} = \frac{L_e}{4\pi d_{\text{eff}}^2 (1+z)^2}$$

$$d_{\text{eff}} \equiv a(z) \cdot r^* =$$

Distance efectiva recorrida por fotones (luz).

Definimos una Distancia de Luminosidad:

$$d_L \equiv (1+z) d_{\text{eff}}$$

Entonces tenemos:

$$f_{\text{obs}} = \frac{L_e}{4\pi d_L^2}$$

Cálculo de la distancia comóvil:

$$ds^2 = 0 = -c^2 dt^2 + a^2(t) \frac{dr^2}{1 - kr^2}$$

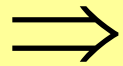
La luz emitida viaja sobre geodésicas nulas.

Coordenadas comóviles de observador:

$$(r = 0, \theta = 0, \phi = 0)$$

Coordenadas comóviles de emisor (Snl A) :

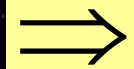
$$(r = r^*, \theta = 0, \phi = 0)$$



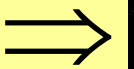
$$\int_0^{r^*} \frac{dr}{\sqrt{1 - kr^2}} = \int_{t_e}^{t_o} \frac{dt}{a(t)} = \int_0^z \frac{dz'}{H(z')}$$

$$\begin{aligned} \int_0^{r^*} \frac{dr}{\sqrt{1 - kr^2}} &= \frac{1}{\sqrt{|k|}} \operatorname{sinn}^{-1}(\sqrt{|k|r}) \Big|_0^{r^*} \\ &= \frac{1}{\sqrt{|k|}} \operatorname{sinn}^{-1}(\sqrt{|k|r^*}), \end{aligned}$$

$$\operatorname{sinn}(x) \equiv \begin{cases} \sin(x) & \text{si } k > 0 \\ x & \text{si } k = 0 \\ \sinh(x) & \text{si } k < 0 \end{cases}$$



$$\frac{1}{\sqrt{|k|}} \text{sinn}^{-1}(\sqrt{|k|}r^*) = \int_0^z \frac{dz'}{H(z')}.$$



$$r^*(z) = \frac{1}{\sqrt{|k|}} \text{sinn} \left[ c \sqrt{|k|} \int_0^z \frac{dz'}{H(z')} \right]$$

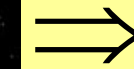
Distancia comóvil entre emisor y observador

usando:

$$d_{\text{eff}} = a(t)r^*(z).$$

y

$$d_L(z) \equiv d_{\text{eff}}(1+z).$$



$$d_L(z) = \frac{(1+z)}{\sqrt{|k|}} \text{sinn} \left[ c \sqrt{|k|} \int_0^z \frac{dz'}{H(z')} \right].$$

Distancia de Luminosidad.

Donde hemos definido:

$$\text{sinn}(x) \equiv \begin{cases} \sin(x) & \text{si } k > 0 \\ x & \text{si } k = 0 \\ \sinh(x) & \text{si } k < 0 \end{cases}$$

## La observación de Supernovas tipo IA:

**Magnitud Absoluta:**

$$M = -2.5 \text{Log}_{10} \left( \frac{L_e}{L_{\odot}} \right) + 4.74$$

**Magnitud Aparente:**

$$m(z) = -2.5 \text{Log}_{10} \left( \frac{f_{\text{obs}}(z)}{f_{\odot \text{ at } 10 \text{ pc}}} \right) + 4.74$$

$$d_L^2 = \left( \frac{L_e}{4\pi f_{\text{obs}}} \right)$$

**Relación entre distancia de Luminosidad vs luminosidad emitida y flujo observado.**

$$\mu(z) \equiv m(z) - M = 5 \log \left( \frac{d_L(z)}{1 \text{ Mpc}} \right) + 25$$

**Distancia Modular.**

**Donde la distancia de Luminosidad es:**

$$d_L(z) = \frac{(1+z)}{\sqrt{|k|}} \text{sinn} \left[ c \sqrt{|k|} \int_0^z \frac{dz'}{H(z')} \right].$$

Tenemos la “Likelihood function” para  $n$  datos observados:

$$prob(D | X, I) \equiv \prod_{k=1}^n prob(\mu_k^{obs} | X, I) = A \text{Exp}\left(-\frac{\chi^2}{2}\right)$$

Donde tenemos la distribución estadística Chi-cuadrada:

$$\chi^2(X) \equiv \sum_{k=1}^n \frac{[\mu_k^{teo}(z_k, X) - \mu_k^{obs}]^2}{\sigma_k^2}$$

Tenemos el Teorema de Bayes:

$$prob(X | D, I) \propto A \text{Exp}\left(-\frac{\chi^2}{2}\right) \cdot prob(X | I)$$

Densidad de  
Probabilidad Posterior

“Likelihood density”

Densidad de Probabilidad  
previa.

## 5.- Ecuaciones cosmológicas de la Relatividad General.

$$R_{\mu\nu} - \frac{1}{2} g_{\mu\nu} R - \Lambda g_{\mu\nu} = \frac{8\pi G}{c^4} T_{\mu\nu}$$

$$\Lambda = 0$$

$$\Lambda \neq 0$$

Ecuaciones de Einstein.

Ecuaciones de Einstein con Constante Cosmológica.

La métrica FRW del Espacio-Tiempo:

$$ds^2 = -dt^2 + a^2(t) \left[ \frac{dr^2}{1-kr^2} + r^2 (d\theta^2 + \text{sen}^2\theta d\phi^2) \right]$$

Universo con varios Fluidos Perfectos:

$$T_{\mu\nu} = \rho_{total} u_{\mu} u_{\nu} + P_{total} (u_{\mu} u_{\nu} + g_{\mu\nu})$$

Con:

$$\rho_{total} = \sum_i \rho_i$$

$$P_{total} = \sum_i P_i$$

$\rho_i$  = Densidad para el fluido  $i$

$P_i$  = Presión para el fluido  $i$

$u^{\mu}$  = Velocidad de observador midiendo  $\rho_i$  y  $P_i$

1ª Ecuación de Friedmann



$$H^2 \equiv \left( \frac{\dot{a}}{a} \right)^2 = \left( \frac{8\pi G}{3} \right) \rho_{total} - \frac{k}{a^2}$$

2ª Ecuación de Friedmann



$$\frac{\ddot{a}}{a} = -\frac{4\pi G}{3} (\rho_{total} + 3P_{total})$$

Ecuación para cada fluido:



$$\dot{\rho}_i + 3 \left( \frac{\dot{a}}{a} \right) (\rho_i + P_i) = 0$$

Ecuación de Estado para cada fluido:



$$P_i = w_i \cdot \rho_i$$

Soluciones a la ecuación de cada fluido (con unidades con c=1)

Para:  $w_i = \text{Constant}$



$$\rho_i = \rho_i^0 \cdot (1+z)^{3(1+w_i)} = \rho_i^0 \cdot \frac{1}{a^{3(1+w_i)}}$$

Definiendo:

$$\rho_{critic} = \frac{3H^2(t)}{8\pi G}$$

Densidad Crítica.



$$\Omega_i \equiv \frac{\rho_i}{\rho_{critic}}$$

Parámetros de densidad



$$\Omega_{total} = \sum_i \Omega_i$$

Parámetro de densidad total.



$$\Omega_k = -\left(\frac{k}{a^2(t)H^2(t)}\right)$$

Parámetro de densidad de curvatura.



1. Ecuación de Friedmann:



$$\Omega_{total} + \Omega_k = 1$$

Geometría del universo:

•Plano	$k = 0$	$\Omega_k = 0$	$\Omega_{total} = 1$
•Cerrado	$k > 0$	$\Omega_k < 0$	$\Omega_{total} > 1$
•Abierto	$k < 0$	$\Omega_k > 0$	$\Omega_{total} < 1$

Modelo del Universo compuesto por materia Barionica (polvo), materia oscura (polvo), Radiación de fotones de CMB, Constante Cosmológica, con ecuaciones de estado:

Fluido de materia bariónica y oscura: Polvo



$$P_M \cong 0, w_M \cong 0$$

Fluido de radiación de fotones:



$$P_r = \frac{1}{3} \rho_r, w_r = \frac{1}{3}$$

Fluido de Constante Cosmológica:



$$P_\Lambda = -\rho_\Lambda, w_\Lambda = -1$$

Donde la densidad de materia esta hecha de materia oscura y bariónica:



$$\rho_M = \rho_{DM} + \rho_{BM}$$

(1) ¿De que están hechas las estrellas, los planetas, el gas, el polvo de las galaxias?

(2) ¿Han existido siempre las galaxias, las estrellas, los planetas, el gas? NO !!!

(3) ¿Qué fuerzas causaron su formación?

(1) Las estrellas, gas, planetas y el polvo están hechas de moléculas.

¿De que están hechas las moléculas?: Están hechas de átomos de la tabla periódica.

Tabla Periódica de los Elementos

<http://chemistry.about.com>  
© 2012 Todd Helmenstine  
About Chemistry

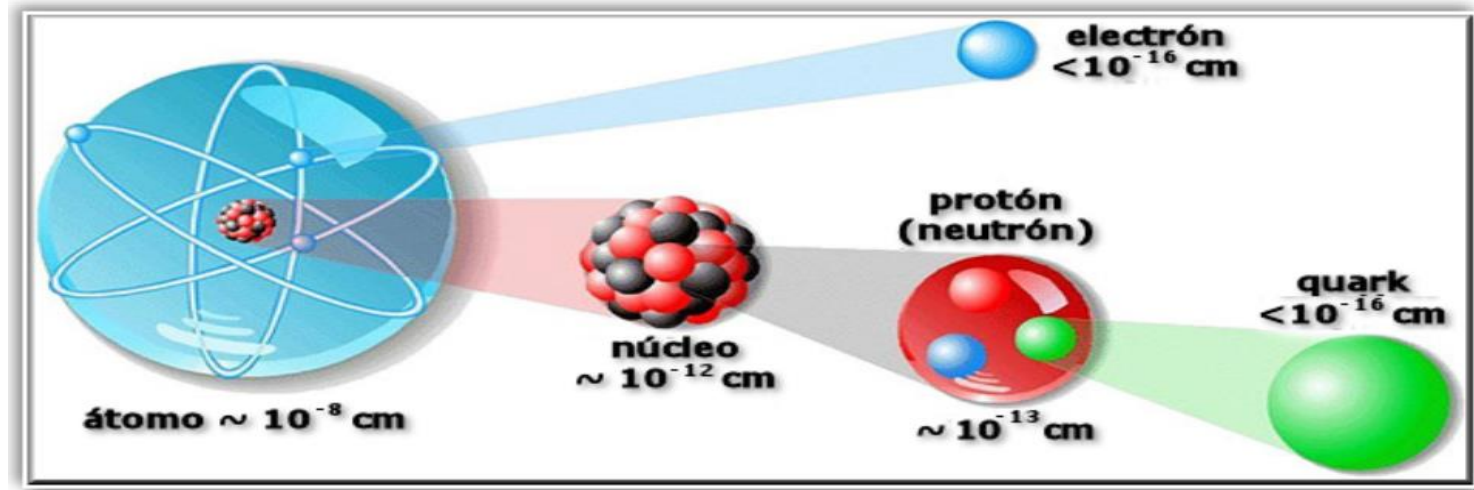
1A 1 <b>H</b> 1.00794 Hidrógeno																	8A 2 <b>He</b> 4.002602 Helio						
3 <b>Li</b> 6.941 Litio	2A 4 <b>Be</b> 9.012182 Berilio																	3A 5 <b>B</b> 10.811 Boro	4A 6 <b>C</b> 12.0107 Carbono	5A 7 <b>N</b> 14.0067 Nitrógeno	6A 8 <b>O</b> 15.9994 Oxígeno	7A 9 <b>F</b> 18.99840323 Fluor	10 <b>Ne</b> 20.1797 Neón
11 <b>Na</b> 22.98976928 Sodio	12 <b>Mg</b> 24.3050 Magnesio	3B 21 <b>Sc</b> 44.955912 Escandio	4B 22 <b>Ti</b> 47.867 Titanio	5B 23 <b>V</b> 50.9415 Vanadio	6B 24 <b>Cr</b> 51.9961 Cromo	7B 25 <b>Mn</b> 54.938045 Manganeso	8B 26 <b>Fe</b> 55.845 Hierro		27 <b>Co</b> 58.933195 Cobalto	28 <b>Ni</b> 58.6934 Níquel	1B 29 <b>Cu</b> 63.546 Cobre	2B 30 <b>Zn</b> 65.38 Zinc	3A 13 <b>Al</b> 26.9815386 Aluminio	4A 14 <b>Si</b> 28.0855 Silicio	5A 15 <b>P</b> 30.973762 Fósforo	6A 16 <b>S</b> 32.065 Azufre	7A 17 <b>Cl</b> 35.453 Cloro	36 <b>Ar</b> 39.948 Argón					
19 <b>K</b> 39.0983 Potasio	20 <b>Ca</b> 40.078 Calcio	39 <b>Y</b> 88.90585 Ytrio	40 <b>Zr</b> 91.224 Zirconio	41 <b>Nb</b> 92.90638 Níobio	42 <b>Mo</b> 95.95 Molibdeno	43 <b>Tc</b> [98] Tecnecio	44 <b>Ru</b> 101.07 Rutenio	45 <b>Rh</b> 102.90550 Rodio	46 <b>Pd</b> 106.42 Paladio	47 <b>Ag</b> 107.8682 Plata	48 <b>Cd</b> 112.411 Cadmio	49 <b>In</b> 114.818 Indio	50 <b>Sn</b> 118.710 Estano	51 <b>Sb</b> 121.760 Antimonio	52 <b>Te</b> 127.60 Teluro	53 <b>I</b> 126.90447 Yodo	54 <b>Xe</b> 131.29 Xenón						
37 <b>Rb</b> 85.4678 Rubidio	38 <b>Sr</b> 87.62 Estroncio	56 <b>Ba</b> 137.327 Bario	72 <b>Hf</b> 178.49 Hafnio	73 <b>Ta</b> 180.94788 Tantalio	74 <b>W</b> 183.84 Wolframio	75 <b>Re</b> 186.207 Renio	76 <b>Os</b> 190.23 Osmio	77 <b>Ir</b> 192.217 Iridio	78 <b>Pt</b> 195.084 Platino	79 <b>Au</b> 196.966569 Oro	80 <b>Hg</b> 200.59 Mercurio	81 <b>Tl</b> 204.3833 Talio	82 <b>Pb</b> 207.2 Plomo	83 <b>Bi</b> 208.98040 Bismuto	84 <b>Po</b> [209] Polonio	85 <b>At</b> [210] Astatino	86 <b>Rn</b> [222] Radón						
55 <b>Cs</b> 132.9054519 Cesio	88 <b>Ra</b> [226] Radio	89-103 Actínidos	104 <b>Rf</b> [261] Rutherfordio	105 <b>Db</b> [268] Dubnio	106 <b>Sg</b> [271] Seaborgio	107 <b>Bh</b> [272] Bohrio	108 <b>Hs</b> [277] Hessio	109 <b>Mt</b> [278] Meitnerio	110 <b>Ds</b> [285] Darmstadtio	111 <b>Rg</b> [286] Roentgenio	112 <b>Cn</b> [289] Copernicio	113 <b>Uut</b> [288] Ununtrio	114 <b>Fl</b> [289] Flerovio	115 <b>Uup</b> [289] Ununpentio	116 <b>Lv</b> [292] Livermorio	117 <b>Uus</b> [294] Ununseptio	118 <b>Uuo</b> [294] Ununoctio						

Lantánidos	57 <b>La</b> 138.90547 Lantano	58 <b>Ce</b> 140.116 Cerio	59 <b>Pr</b> 140.90765 Praseodimio	60 <b>Nd</b> 144.242 Neodimio	61 <b>Pm</b> [145] Prometio	62 <b>Sm</b> 150.36 Samario	63 <b>Eu</b> 151.964 Europio	64 <b>Gd</b> 157.25 Gadolinio	65 <b>Tb</b> 158.92535 Terbio	66 <b>Dy</b> 162.500 Disprosio	67 <b>Ho</b> 164.93032 Holmio	68 <b>Er</b> 167.259 Erbio	69 <b>Tm</b> 168.93421 Tulio	70 <b>Yb</b> 173.054 Yterbio	71 <b>Lu</b> 174.9668 Lutecio
Actínidos	89 <b>Ac</b> [227] Actinio	90 <b>Th</b> 232.03806 Torio	91 <b>Pa</b> 231.03688 Protactinio	92 <b>U</b> 238.02891 Uranio	93 <b>Np</b> [237] Neptunio	94 <b>Pu</b> [244] Plutonio	95 <b>Am</b> [243] Americio	96 <b>Cm</b> [247] Curcio	97 <b>Bk</b> [247] Berkelio	98 <b>Cf</b> [251] Californio	99 <b>Es</b> [252] Einsteinio	100 <b>Fm</b> [257] Fermio	101 <b>Md</b> [258] Mendelevio	102 <b>No</b> [259] Nobelio	103 <b>Lr</b> [262] Lawrencio

Alcalino	Alcalinotérreo	Metales del bloque p	Halógeno	Gas noble
No metal	Metal de transición	Metaloides	Lantánidos	Actínidos

## ¿De que están hechos los átomos de la tabla periódica de los elementos?

Están hecho de electrones y núcleos que a su vez están formados de neutrones y protones.



## ¿De qué están hechos los electrones?

No sabemos si los electrones están formados de otras partículas más pequeñas, hasta ahora los consideramos fundamentales (sin estructura).

## ¿De qué están hechos los protones y los neutrones?

Hoy en día sabemos que los protones y neutrones están formados cada uno de 3 partículas más pequeñas llamadas Quarks.

Hemos descubierto la existencia de 6 tipos distintos de Quarks.

Además de estas partículas, ¿existen más partículas elementales?

Estrellas, planetas, gas, moléculas y átomos de la tabla periódica están hechos de partículas del **MODELO ESTÁNDAR DE PARTÍCULAS ELEMENTALES**.

mass →	$\approx 2.3 \text{ MeV}/c^2$	$\approx 1.275 \text{ GeV}/c^2$	$\approx 173.07 \text{ GeV}/c^2$	0	$\approx 126 \text{ GeV}/c^2$
charge →	$2/3$	$2/3$	$2/3$	0	0
spin →	$1/2$	$1/2$	$1/2$	1	0
	<b>u</b> up	<b>c</b> charm	<b>t</b> top	<b>g</b> gluon	<b>H</b> Higgs boson
<b>QUARKS</b>	$\approx 4.8 \text{ MeV}/c^2$	$\approx 95 \text{ MeV}/c^2$	$\approx 4.18 \text{ GeV}/c^2$	0	
	$-1/3$	$-1/3$	$-1/3$	0	
	$1/2$	$1/2$	$1/2$	1	
	<b>d</b> down	<b>s</b> strange	<b>b</b> bottom	<b><math>\gamma</math></b> photon	
	$0.511 \text{ MeV}/c^2$	$105.7 \text{ MeV}/c^2$	$1.777 \text{ GeV}/c^2$	$91.2 \text{ GeV}/c^2$	
	-1	-1	-1	0	
	$1/2$	$1/2$	$1/2$	1	
	<b>e</b> electron	<b><math>\mu</math></b> muon	<b><math>\tau</math></b> tau	<b>Z</b> Z boson	
<b>LEPTONS</b>	$< 2.2 \text{ eV}/c^2$	$< 0.17 \text{ MeV}/c^2$	$< 15.5 \text{ MeV}/c^2$	$80.4 \text{ GeV}/c^2$	
	0	0	0	$\pm 1$	
	$1/2$	$1/2$	$1/2$	1	
	<b><math>\nu_e</math></b> electron neutrino	<b><math>\nu_\mu</math></b> muon neutrino	<b><math>\nu_\tau</math></b> tau neutrino	<b>W</b> W boson	
					<b>GAUGE BOSONS</b>

# La ley de fuerza gravitacional Newtoniana:

Aceleración centrípeta

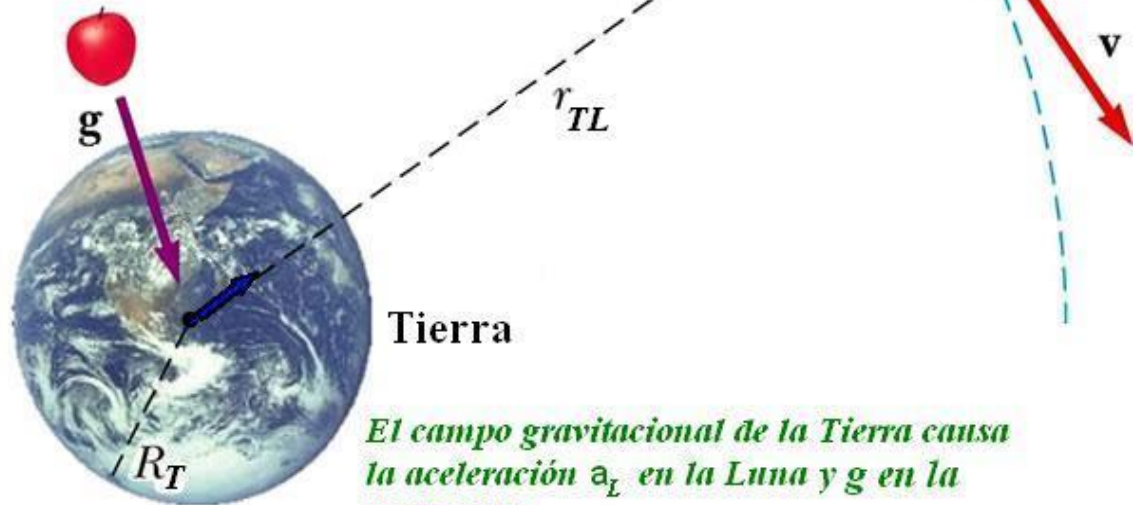
$$m_L \cdot \frac{v^2}{r_{TL}} = m_L \cdot a_L =$$

Velocidad circular

$$v^2 = \frac{Gm_T}{r_{TL}}$$

Ley de Gravitación Universal de Newton

$$F_G = \frac{Gm_T m_L}{r_{TL}^2}$$

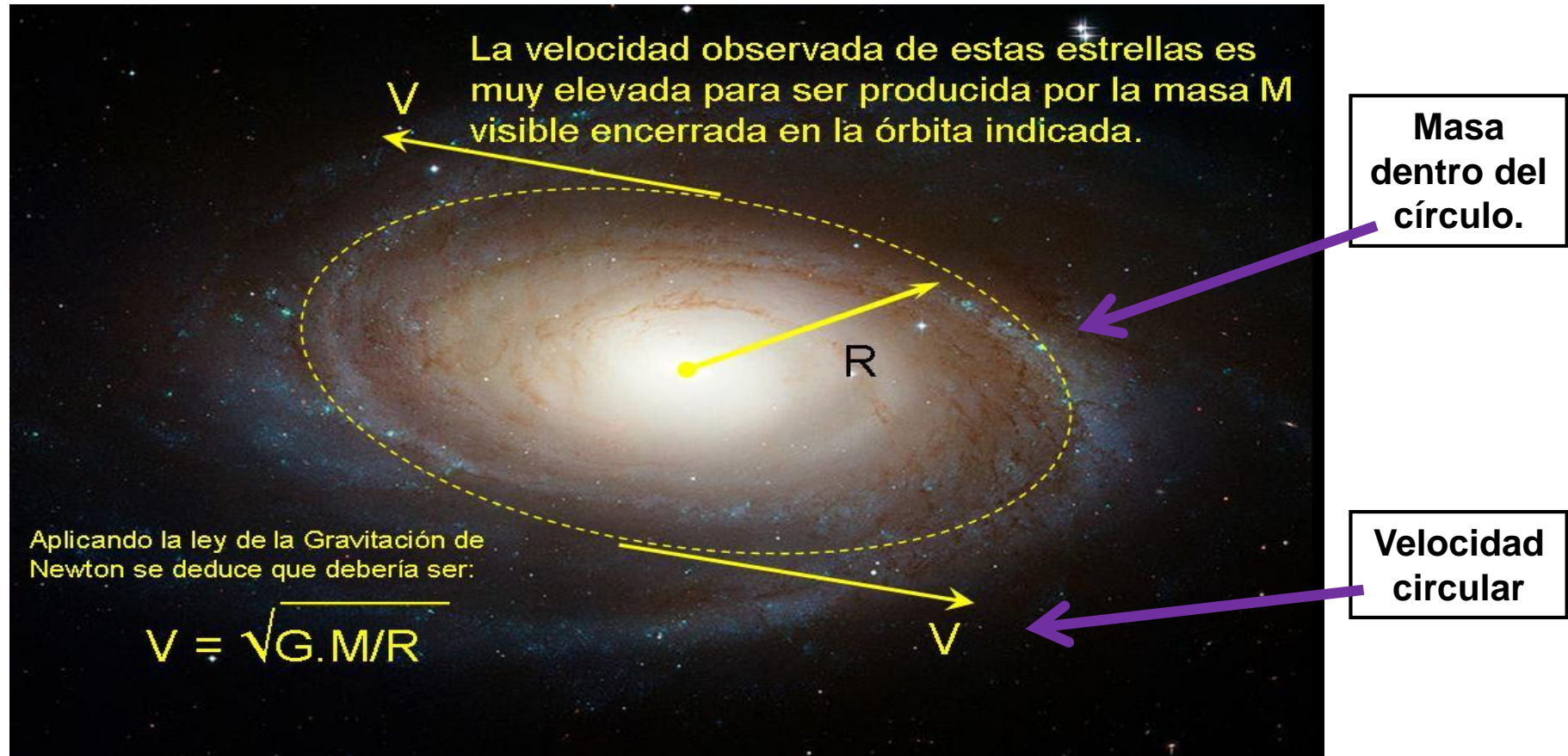


*El campo gravitacional de la Tierra causa la aceleración  $a_L$  en la Luna y  $g$  en la manzana.*

Las estrellas, gas y planetas en una galaxia se mantienen unidas por la acción de la fuerza gravitacional Newtoniana.

Las componentes de MASA VISIBLES de una galaxia espiral son:

- (1) Estrellas luminosas del disco galáctico. (Emite fotones en el rango visible)
- (2) Gas de hidrógeno neutral (HI). (Emite fotones de radio de 21 cm de longitud)

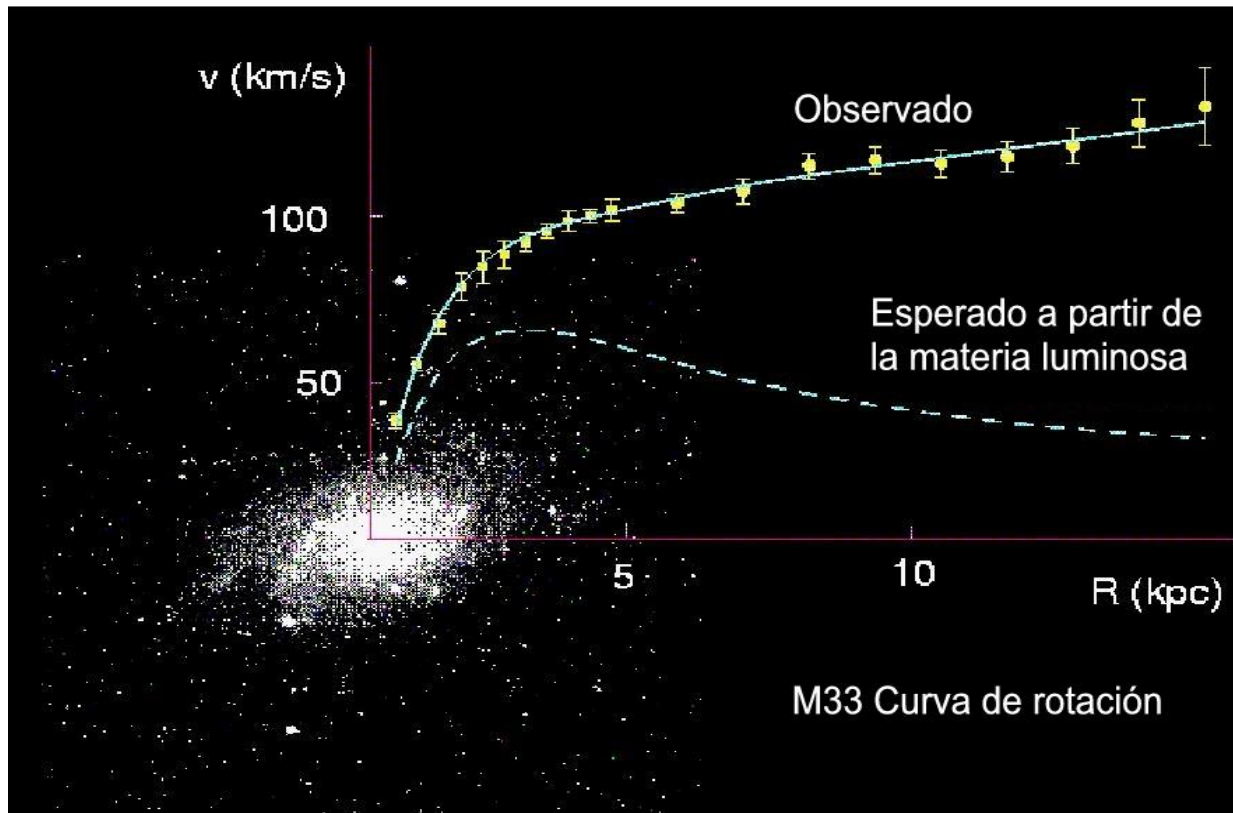


# CURVAS DE ROTACIÓN GALÁCTICAS EN GALAXIAS ESPIRALES

Curva de datos de velocidad circular ( $V$ ) de partículas (estrellas o gas) rotantes contra el radio ( $R$ ) de su órbita circular.

$m$  = masa total encerrada en el radio  $R$ .

$m_L$  = masa de estrellas y de gas.



Velocidad observada

$$v = \sqrt{\frac{Gm}{R}}$$

$$v_L = \sqrt{\frac{Gm_L}{R}}$$



$$v_L \neq v$$

¿Porqué no coinciden?

$$V_L \neq V$$

IDEA: NO COINCIDEN PORQUE FALTA MASA !!

LA LLAMAREMOS **MATERIA OSCURA**:

**MATERIA DETECTADA SOLAMENTE POR MEDIO DE SU FUERZA GRAVITACIONAL PERO QUE NO EMITE FOTONES (NO EMITE ONDAS ELECTROMAGNÉTICAS).**

Introducimos un halo hipotético hecho de materia oscura.

$m_h$  = masa de halo de materia oscura.

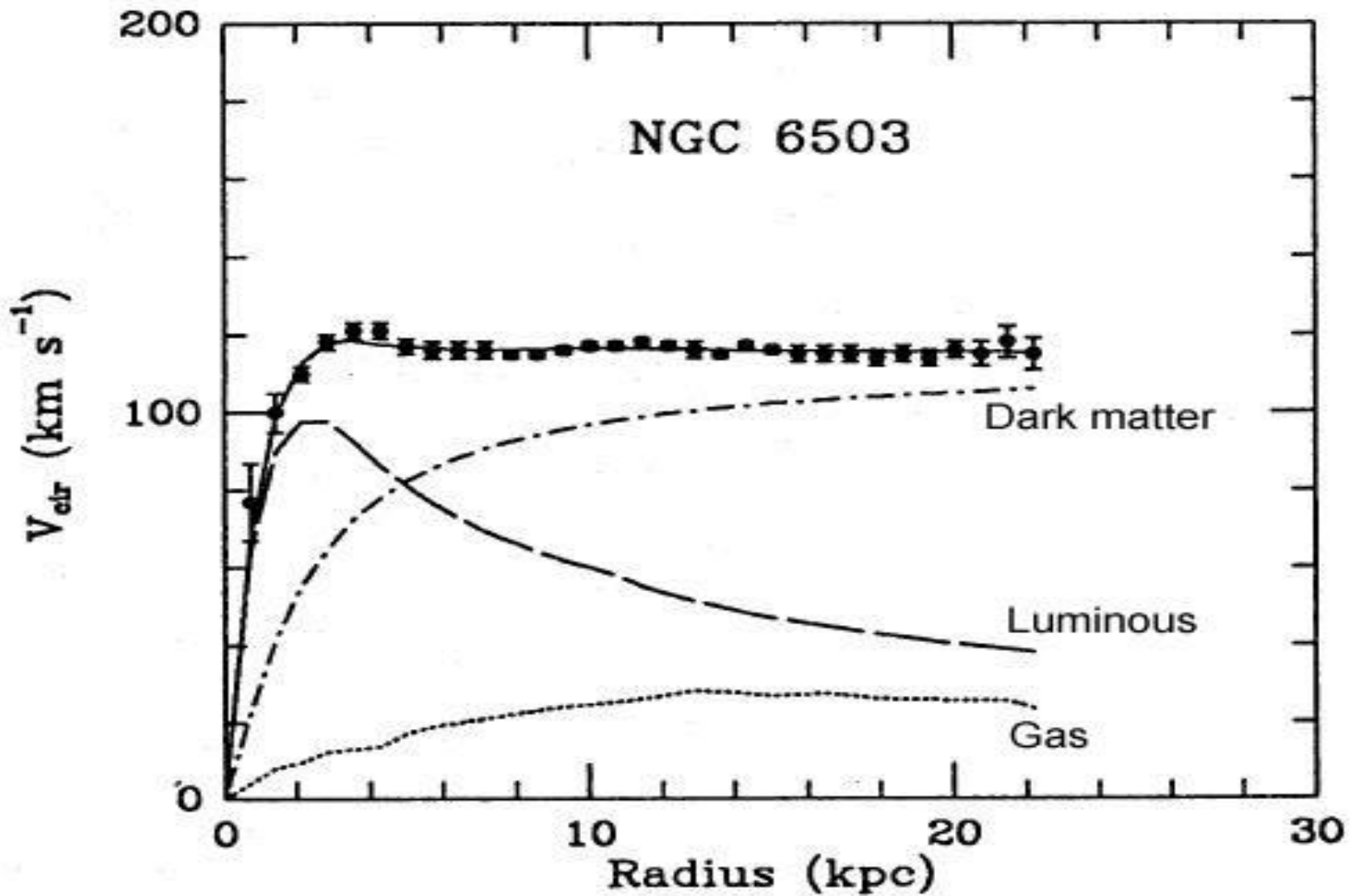
Velocidad debida al halo de materia oscura.

$$V_h = \sqrt{\frac{Gm_h}{R}}$$

Velocidad observada al cuadrado.

$$V^2 = V_L^2 + V_h^2 = \frac{G}{R} (m_L + m_h) = \frac{Gm}{R}$$

# CURVA DE ROTACIÓN TÍPICA DE GALAXIAS ESPIRALES.





## Soluciones para la densidad de cada fluido:

Fluido de materia barionica y oscura:



$$\rho_M(z) = \rho_M^0 \cdot (1+z)^3$$

Fluido de radiación de fotones:



$$\rho_r(z) = \rho_r^0 \cdot (1+z)^4$$

Fluido de Constante Cosmológica:



$$\rho_\Lambda(z) = \rho_\Lambda^0$$

Donde la densidad de materia está  
compuesta de materia barionica y oscura:



$$\rho_M = \rho_{DM} + \rho_{BM}$$

Densidad de constante cosmológica :



$$\rho_\Lambda^0 = \frac{\Lambda}{8\pi G}$$

## Ecuaciones cosmológicas:

1ª Ecuación Friedmann:

$$H^2 \equiv \left(\frac{\dot{a}}{a}\right)^2 = \left(\frac{8\pi G}{3}\right) [\rho_r + \rho_M + \rho_\Lambda^0] - \frac{k}{a^2}$$

2ª Ecuación Friedmann:

$$\frac{\ddot{a}}{a} = -\frac{4\pi G}{3} \cdot [2\rho_r + \rho_M - 2\rho_\Lambda^0]$$

Pero sabemos que:

$$\rho_M > 0, \rho_r > 0$$

Y asumimos:

$$\rho_\Lambda^0 > 0$$

Expansión desacelerada:

$$2\rho_r + \rho_M - 2\rho_\Lambda^0 > 0$$

Expansión acelerada:

$$2\rho_r + \rho_M - 2\rho_\Lambda^0 < 0$$

## Evidencia para la existencia de una constante cosmológica.

Para nuestro universo, usamos un modelo compuesto por materia barionica y oscura, radiación de fotones y constante cosmológica, entonces la 1.- ecuación de Friedmann es:

$$\Omega_M + \Omega_\Lambda + \Omega_r + \Omega_k = 1$$

Y el correspondiente Parámetro de Hubble:

$$H(z) = H_0 \sqrt{\Omega_M^0 (1+z)^3 + \Omega_\Lambda^0 + \Omega_r^0 (1+z)^4 + \Omega_k^0 (1+z)^2}$$

$$\Omega_r^0 = \frac{8\pi G}{3H_0^2} \rho_r^0 = 2.5 \times 10^{-5} h^{-2}$$

Para el análisis de datos de SNe la despreciamos la contribución de radiación de fotones porque es subdominante en el rango de tiempo considerado. Consideramos un universo formado por Materia Barionica, Materia Oscura, y Constante Cosmológica.

# Evidencia para la existencia de una Constante Cosmológica.

Universo formado por Materia, Constante Cosmológica y con Curvatura:

$$d_L(z) = \frac{c(1+z)}{H_0 |1 - \Omega_M^0 - \Omega_\Lambda^0|^{1/2}} \operatorname{senn} \left( |1 - \Omega_M^0 - \Omega_\Lambda^0|^{1/2} \int_0^z \frac{du}{\tilde{H}(u)} \right)$$

Donde:

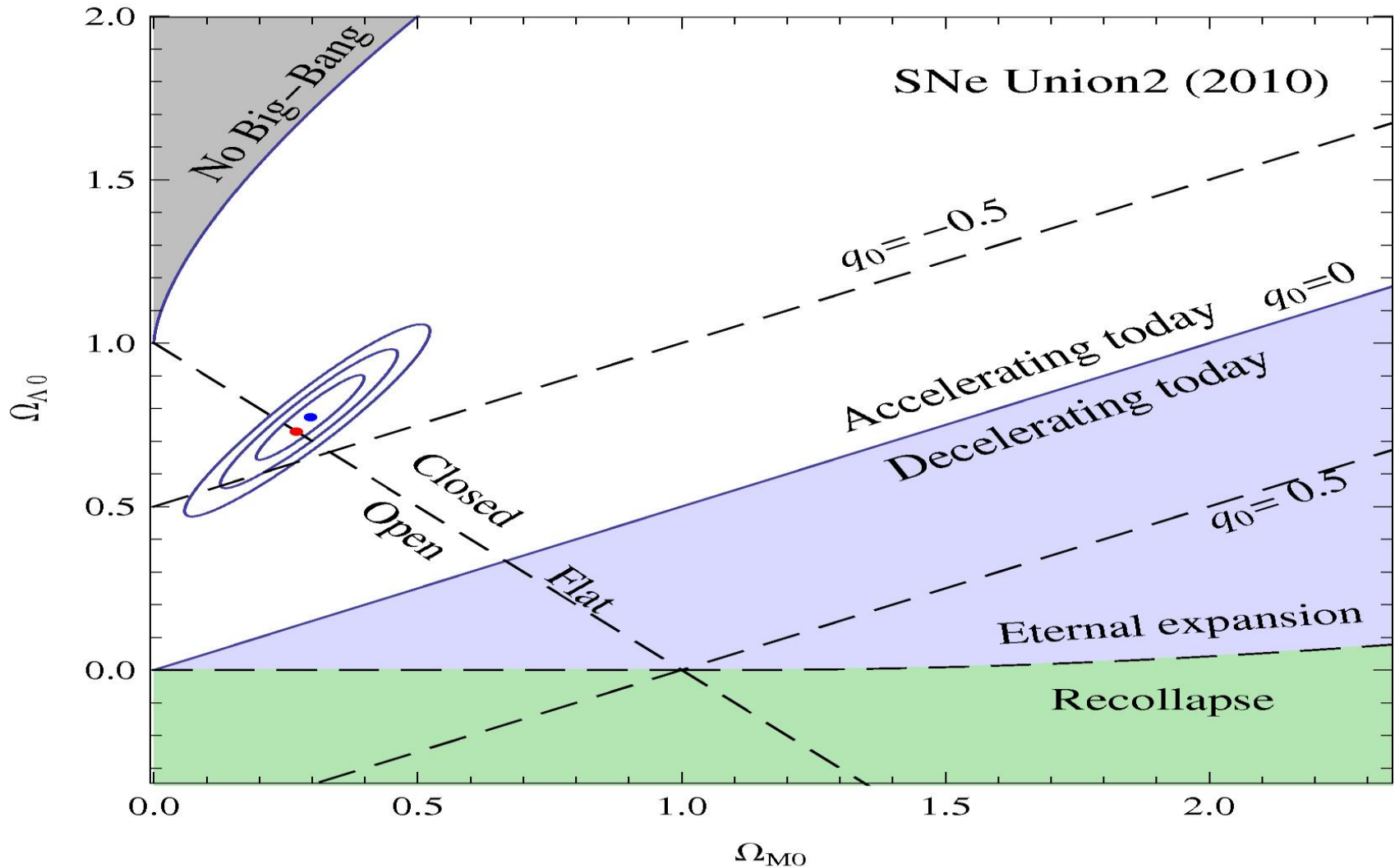
$$\tilde{H}(z) = \sqrt{\Omega_M^0 (1+z)^3 + \Omega_\Lambda^0 + (1 - \Omega_M^0 - \Omega_\Lambda^0) (1+z)^2}$$

Densidad de probabilidad posterior marginalizada sobre la constante de Hubble para un universo formado por materia (oscura y bariónica), constante cosmológica y curvatura:

$$P(\Omega_M^0, \Omega_\Lambda^0) \equiv B \cdot \exp \left[ -\frac{\chi^2(\Omega_M^0, \Omega_\Lambda^0) - \chi_{\min}^2}{2} \right] = A \cdot \int_0^\infty \exp \left[ -\frac{\tilde{\chi}^2(H_0, \Omega_M^0, \Omega_\Lambda^0)}{2} \right] dH_0$$

# Restricciones sobre densidad de constante Cosmológica y de materia.

## Confidence Intervals



# The total $\chi^2$ -function

$$\chi_{\text{SNe}}^2(z, \mathbf{X}) \equiv \sum_{k=1}^n \frac{[\mu_k^{\text{theory}}(z, \mathbf{X}) - \mu_k^{\text{observ}}]^2}{\sigma_k^2}$$

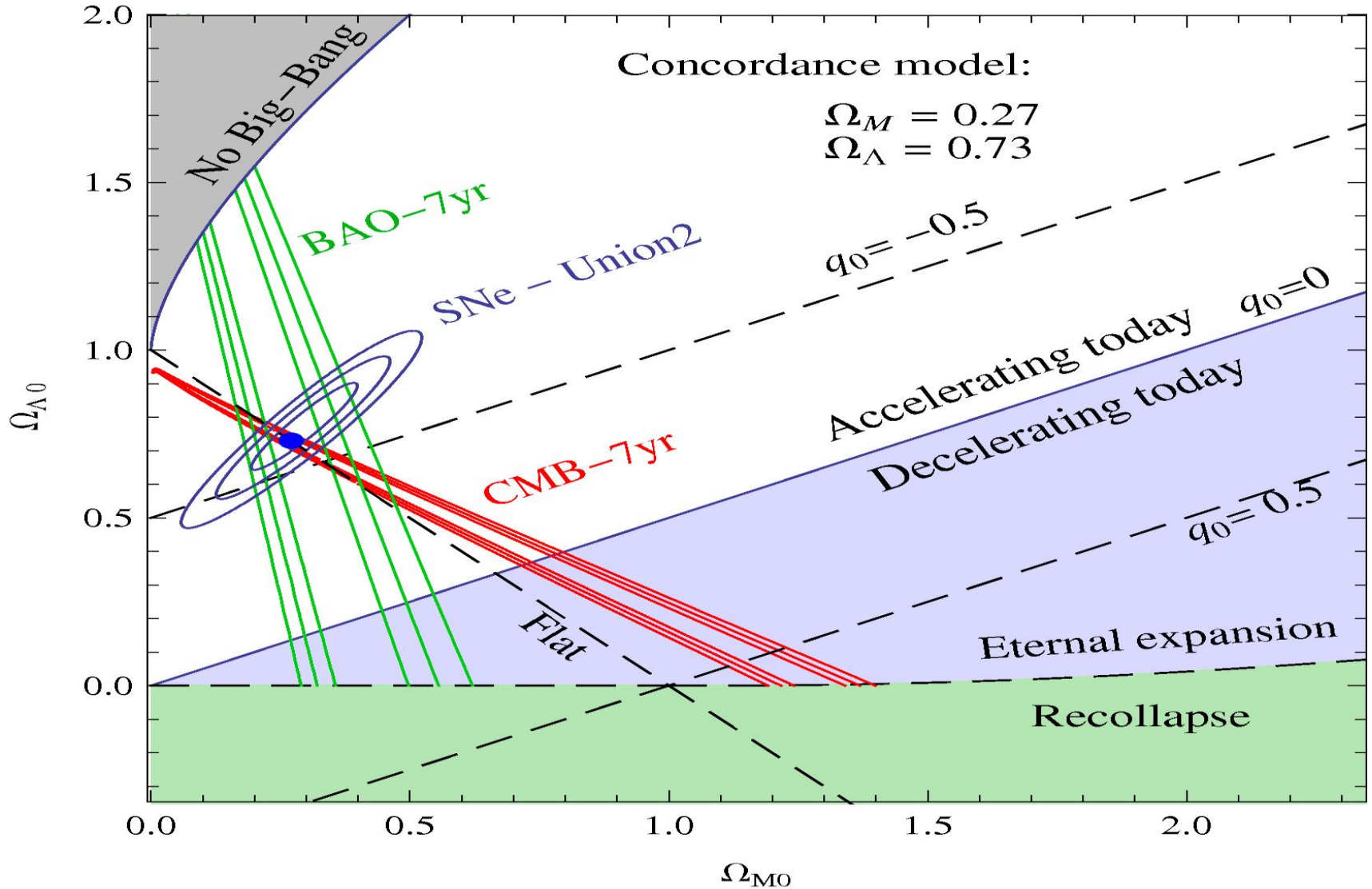
$$\chi_{\text{CMB}}^2$$

$$\chi_{\text{BAO}}^2$$

$$\chi^2 = \chi_{\text{SNe}}^2 + \chi_{\text{CMB}}^2 + \chi_{\text{BAO}}^2$$

# Cotas sobre los parámetros de densidad de Constante Cosmológica y densidad de materia.

## Confidence Intervals



## Nucleosíntesis del Modelo de Big Bang.

Parámetro inferido de densidad de materia bariónica presente:



$$\Omega_{bar}^0 = 0.04 \pm 0.02$$

Parámetro inferido de densidad de materia presente:



$$\Omega_M^0 = 0.3 \pm 0.1$$



Existencia de materia oscura:

$$\Omega_{oscura}^0 = \Omega_M^0 - \Omega_{bar}^0 \approx 0.26 \pm 0.1$$

# Composición del universo: Modelo de Concordancia.

Porcentaje de la densidad crítica presente:

- Materia Barionica (átomos):  $\approx 5 \%$
- Materia oscura:  $\approx 25 \%$
- Radiación de fotones:  $\approx 0.005 \%$
- Constante Cosmológica:  $\approx 70 \%$
- Otras componentes (neutrinos, electrones)  $\approx 0 \%$

**Densidad Crítica presente:**

$$\rho_{critica}^0 = 1.88 \times 10^{-29} h^2 \frac{gr}{cm^3}$$

Del vacío cuántico del Modelo Estándar de partículas elementales:

Densidad de Planck



$$\rho_{\Lambda}^{EW} \approx 3 \times 10^{47} \text{ erg / cm}^3$$

$$\rho_{\Lambda}^{QCD} \approx 1.6 \times 10^{36} \text{ erg / cm}^3$$

$$\rho_{\Lambda(\text{planck})}^{total} \approx 2 \times 10^{110} \text{ erg / cm}^3$$

Densidad observada para la constante cosmológica:

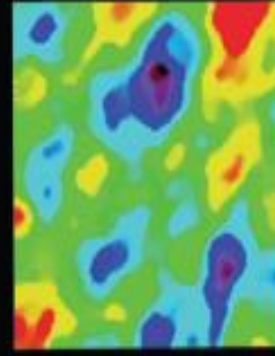
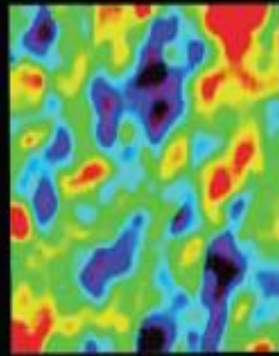
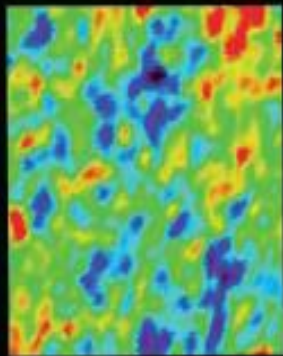
$$\Omega_{\Lambda}^0 = \frac{8\pi G}{3H_0^2} \rho_{\Lambda}^0 \approx 0.7$$



$$\rho_{\Lambda}^{observada} \approx 2 \times 10^{-10} \text{ erg / cm}^3$$

Una razón de 120 órdenes de magnitud !!!

Problema de la Constante Cosmológica !!!

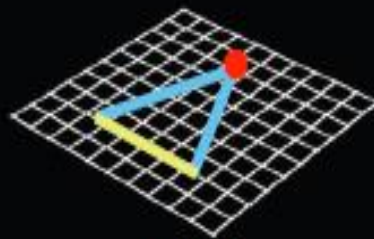


The physical size of the fluctuations is the horizon size at the last scattering surface.

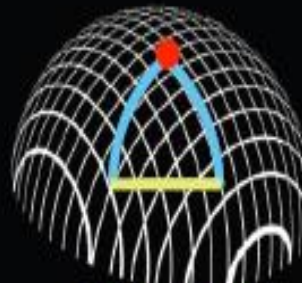
$$\Omega < 1 \Rightarrow \theta_c < 1^\circ \quad \Omega = 1 \Rightarrow \theta_c \simeq 1^\circ \quad \Omega > 1 \Rightarrow \theta_c > 1^\circ$$



Open



Flat

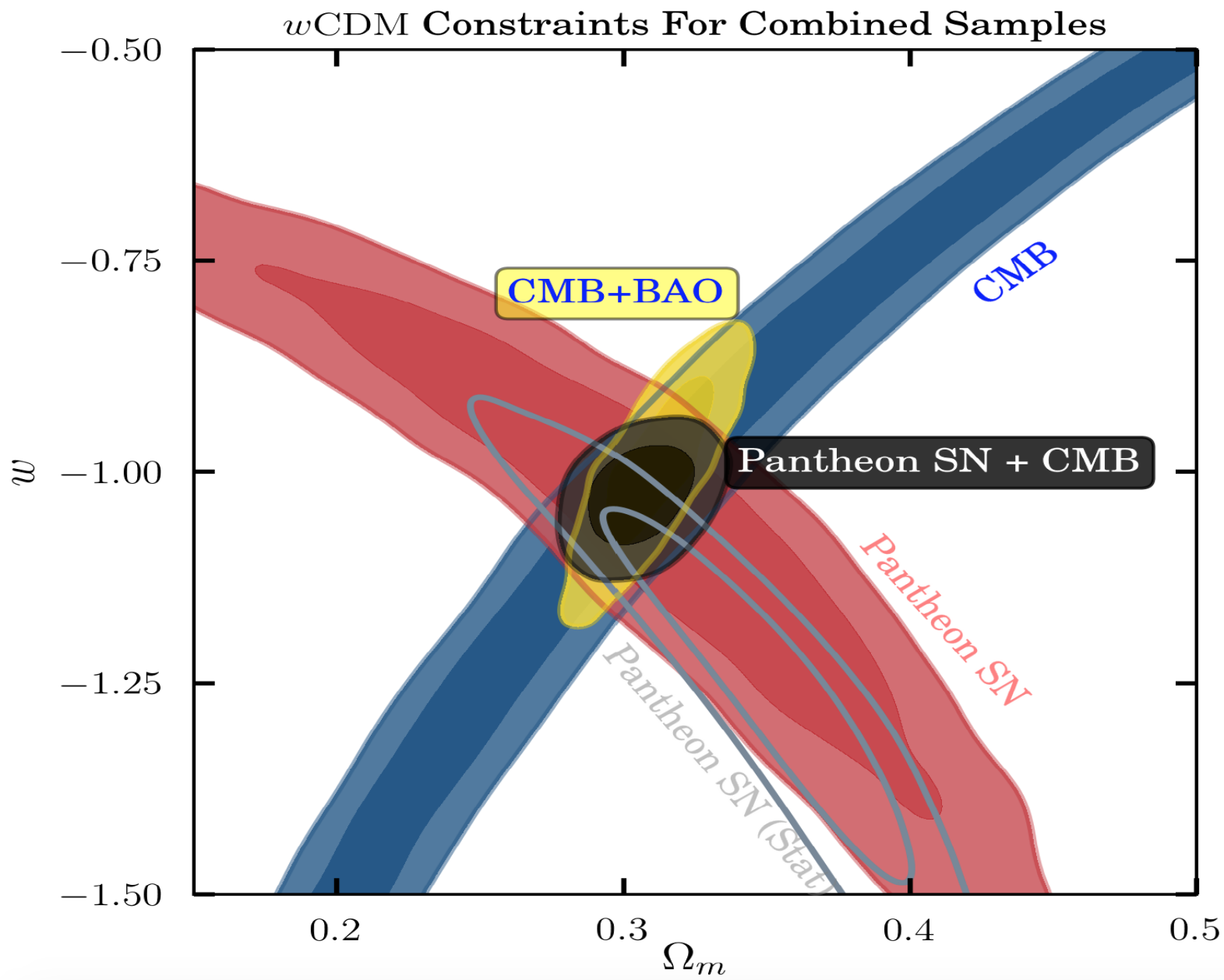


Closed

The geometry of the Universe determines the angular size of the fluctuations.

$$\Omega \equiv \frac{\text{Energy in the Universe}}{\text{Energy required for flatness}} = 1.005 \pm 0.007 \text{ today}$$

# PARÁMETRO $w$ CONSTANTE DE ECUACIÓN DE ESTADO DE ENERGÍA OSCURA



## Clasificación de Modelos de Energía Oscura.

WEC implica:



$$\rho \geq 0 \text{ and } \rho + P \geq 0$$

WEC

DEC implica:



$$\rho \geq 0 \text{ and } |P| \leq \rho$$

DEC

Para Energía Oscura, la DEC implica:

$$\rho_{DE} > 0$$

AND

$$-\rho_{DE} \leq P_{DE} \leq \rho_{DE} \Rightarrow -1 \leq w_{DE} \leq 1$$

Combinando con la condición mínima para aceleración positiva:



$$-1 \leq w_{DE} < -\frac{1}{3}$$

$$-1 \leq w_{DE} < -\frac{1}{3}$$



QUINTESENCE DARK ENERGY



DEC

$$w_{DE} < -1$$



PHANTOM DARK ENERGY



NON-DEC

Both behaviors



QUINTOM DARK ENERGY

## Reasonable Energy Conditions on Classical Matter-Energy.

**Weak Energy Condition: For Classical Matter the Energy Density is Nonnegative**

(1)  $\rho = T_{\mu\nu} t^\mu t^\nu \geq 0$  ,  $\forall t^\mu =$  Future Directed Timelike vector

**WEC**

**Dominant Energy Condition believed to hold for physically reasonable energy:**

(2)  $-T_{\nu}^{\mu} t^\nu =$  Future directed non - spacelike vector,  
 $\forall t^\nu =$  Future directed timelike vector

**DEC**

**DEC**



**WEC**

$-T_{\nu}^{\mu} t^\nu =$  Physically represents the energy - momentum current density of matter - energy observed by the timelike vector.



**Interpretation: DEC means that the speed of energy flow of matter-energy is always less than the speed of light.**

## Dividing Curve between perpetual expansion and eventual recollapse.

The Friedmann equation is written as:

$$\frac{H^2}{H_0^2} = \frac{\Omega_M^0}{a^3} + \Omega_\Lambda^0 + \frac{\Omega_k^0}{a^2}$$



$$\Omega_k^0 = 1 - \Omega_M^0 - \Omega_\Lambda^0$$

We can rewrite the Friedmann equation as:

$$\frac{H^2}{H_0^2} = \frac{\Omega_M^0}{a^3} + \Omega_\Lambda^0 + \frac{1 - \Omega_M^0 - \Omega_\Lambda^0}{a^2}$$



To determine the dividing curve between perpetual expansion and recollapse, note that collapse requires the Hubble parameter to pass through zero as it changes from positive to negative. The scale factor at which this turnaround occurs can be found by setting zero in the Friedmann equation.

We obtain a cubic equation for the scale factor at turnaround:

$a_*$

$$\Omega_{\Lambda}^0 \cdot a_*^3 + (1 - \Omega_M^0 - \Omega_{\Lambda}^0) \cdot a_* + \Omega_M^0 = 0$$

Solving this cubic equation we find that the value of

$\Omega_{\Lambda}^0$

for which

the universe will expand forever is given by:

$$\Omega_{\Lambda}^0 \geq 0 \quad \text{if} \quad 0 \leq \Omega_M^0 \leq 1$$

$$\Omega_{\Lambda}^0 \geq 4 \cdot \Omega_M^0 \cdot \cos^3 \left[ \frac{1}{3} \cdot \cos^{-1} \left( \frac{1 - \Omega_M^0}{\Omega_M^0} \right) + \frac{4 \cdot \pi}{3} \right] \quad \text{if} \quad \Omega_M^0 > 1$$



Dividing curve between perpetual expansion and recollapse.

## Supernovae Type IA (SNe IA) as Standard Candles.

- SNe IA are uniform in absolute luminosity (dispersion at peak of 1.1 mag): they are suitable as extragalactic distance indicators (Baade W., A0J,88, pag. 285, 1938)

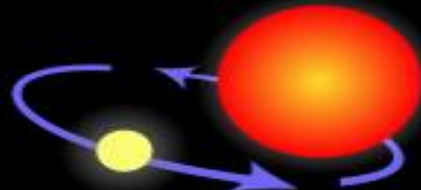
At the present the hypothesis that SNe IA's are standard candles drew support from:

- Empirical Studies: Method using Multicolor Light-Curve Shapes (MLCSs) determining an empirical correlation between the MLCSs and the luminosity of SNe IA's (A. Riess, W. Press and R. P. Kirshner, ApJ, 88, 473, 1996), (Riess A., et al., Astro-ph/0611572 (2006): The Gold-2006 data.), (Saurabh Jha, A. Riess, R. P. Kirshner, Submitted to ApJ). (dispersion at peak of 0.12 mag: with absolute magnitude  $M(\text{visible}) = -19.44$ ).
- Theoretical Models: these suggested that they arise from ignition of a Carbon-Oxygen white dwarf reaching the Chandrasekhar mass from the accretion of gas and matter of a partner star (like a red giant) leading to a homogeneous light curve and uniform luminosity (Hoyle F. and Fowler W., ApJ, 132, 565, 1960), (Arnett, W., Ap&SS, 5, 280, 1969), (Colgate S. and McKee W., ApJ, 157, 623, 1969). They don't have hydrogen lines in the spectra.

# The progenitor of a Type Ia supernova



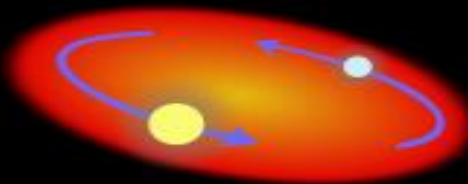
Two normal stars are in a binary pair.



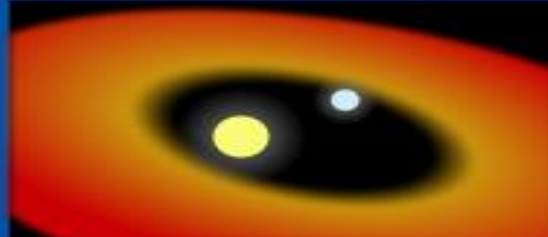
The more massive star becomes a giant...



...which spills gas onto the secondary star, causing it to expand and become engulfed.



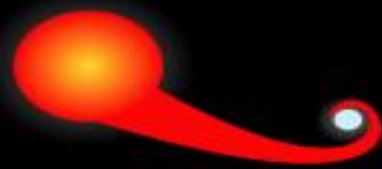
The secondary, lighter star and the core of the giant star spiral toward within a common envelope.



The common envelope is ejected, while the separation between the core and the secondary star decreases.



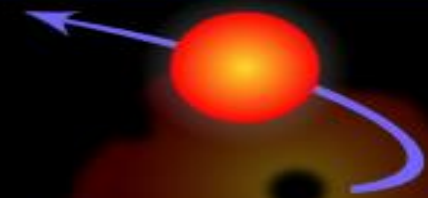
The remaining core of the giant star collapses and becomes a white dwarf.



The aging companion star starts swelling, spilling gas onto the white dwarf.



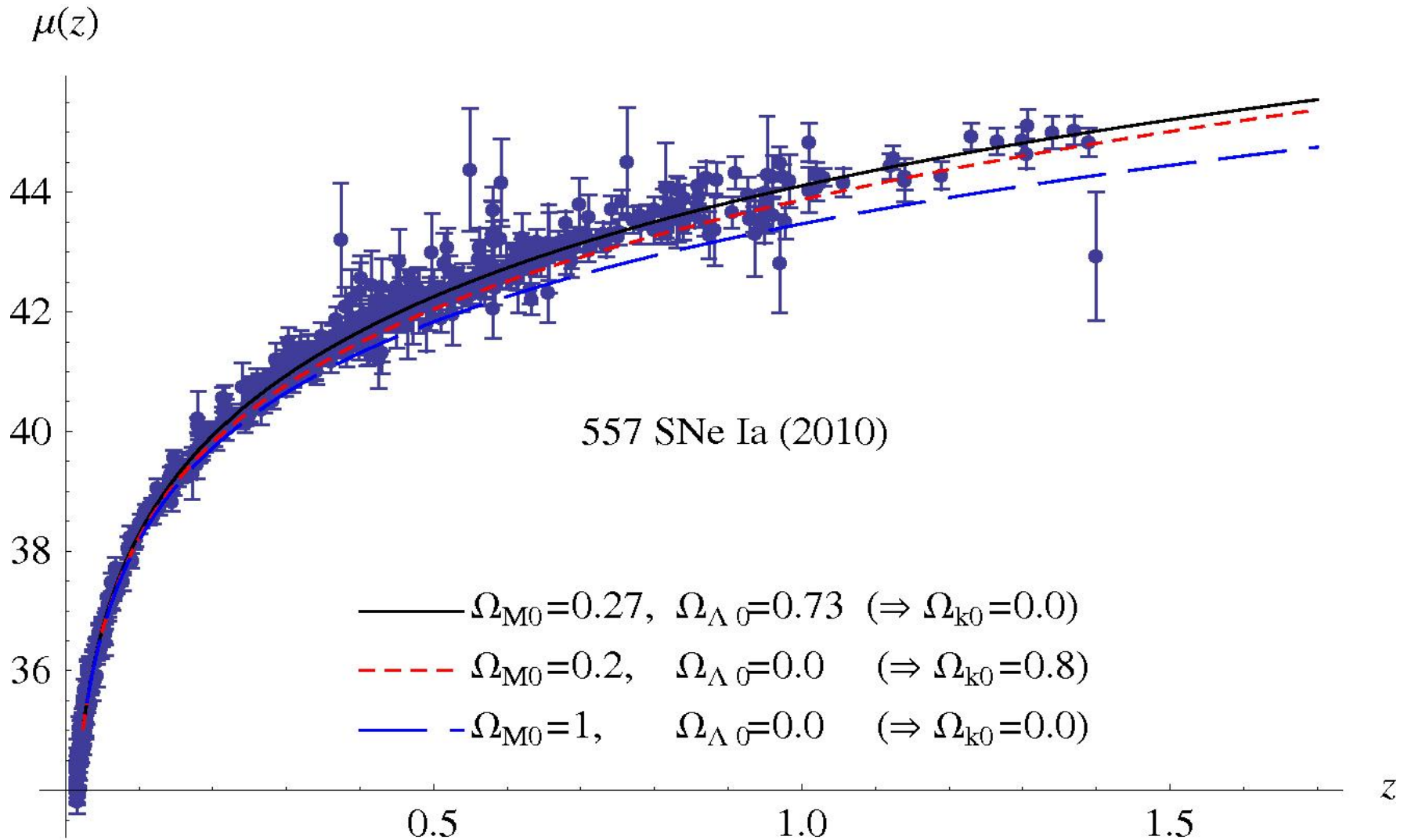
The white dwarf's mass increases until it reaches a critical mass and explodes...



...causing the companion star to be ejected away.

# Hubble Diagram (Union2 Sample, Amanullah et. al., 2010).

$$\mu(z) \equiv m(z) - M$$



## Reasonable Energy Conditions on Classical Matter-Energy.

**Weak Energy Condition: For Classical Matter the Energy Density is Nonnegative**

(1)  $\rho = T_{\mu\nu} t^\mu t^\nu \geq 0$  ,  $\forall t^\mu =$  Future Directed Timelike vector

**WEC**

**Dominant Energy Condition believed to hold for physically reasonable energy:**

(2)  $-T_{\nu}^{\mu} t^\nu =$  Future directed non - spacelike vector,  
 $\forall t^\nu =$  Future directed timelike vector

**DEC**

**DEC**



**WEC**

$-T_{\nu}^{\mu} t^\nu =$  Physically represents the energy - momentum current density of matter - energy observed by the timelike vector.



**Interpretation: DEC means that the speed of energy flow of matter-energy is always less than the speed of light.**

## Clasificación de Modelos de Energía Oscura.

WEC implica:



$$\rho \geq 0 \text{ and } \rho + P \geq 0$$

WEC

DEC implica:



$$\rho \geq 0 \text{ and } |P| \leq \rho$$

DEC

Para Energía Oscura, la DEC implica:

$$\rho_{DE} > 0$$

AND

$$-\rho_{DE} \leq P_{DE} \leq \rho_{DE} \Rightarrow -1 \leq w_{DE} \leq 1$$

Combinando con la condición mínima para aceleración positiva:



$$-1 \leq w_{DE} < -\frac{1}{3}$$

$$-1 \leq w_{DE} < -\frac{1}{3}$$



QUINTESENCE DARK ENERGY



DEC

$$w_{DE} < -1$$



PHANTOM DARK ENERGY



NON-DEC

Both behaviors



QUINTOM DARK ENERGY

## Dividing Curve between perpetual expansion and eventual recollapse.

The Friedmann equation is written as:

$$\frac{H^2}{H_0^2} = \frac{\Omega_M^0}{a^3} + \Omega_\Lambda^0 + \frac{\Omega_k^0}{a^2}$$



$$\Omega_k^0 = 1 - \Omega_M^0 - \Omega_\Lambda^0$$

We can rewrite the Friedmann equation as:

$$\frac{H^2}{H_0^2} = \frac{\Omega_M^0}{a^3} + \Omega_\Lambda^0 + \frac{1 - \Omega_M^0 - \Omega_\Lambda^0}{a^2}$$



To determine the dividing curve between perpetual expansion and recollapse, note that collapse requires the Hubble parameter to pass through zero as it changes from positive to negative. The scale factor at which this turnaround occurs can be found by setting zero in the Friedmann equation.

We obtain a cubic equation for the scale factor at turnaround:

$a_*$

$$\Omega_{\Lambda}^0 \cdot a_*^3 + (1 - \Omega_M^0 - \Omega_{\Lambda}^0) \cdot a_* + \Omega_M^0 = 0$$

Solving this cubic equation we find that the value of

$\Omega_{\Lambda}^0$

for which

the universe will expand forever is given by:

$$\Omega_{\Lambda}^0 \geq 0 \quad \text{if} \quad 0 \leq \Omega_M^0 \leq 1$$

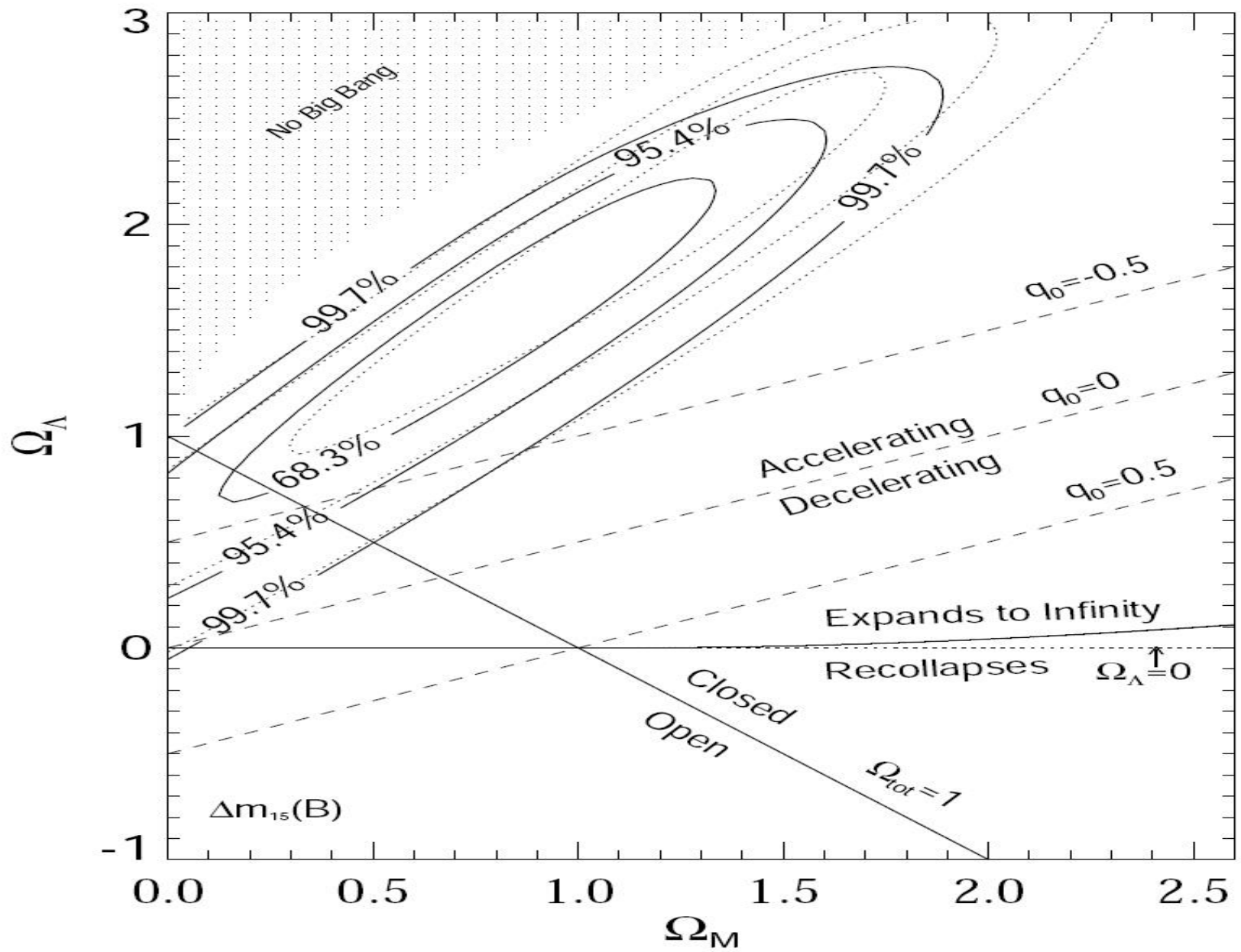
$$\Omega_{\Lambda}^0 \geq 4 \cdot \Omega_M^0 \cdot \cos^3 \left[ \frac{1}{3} \cdot \cos^{-1} \left( \frac{1 - \Omega_M^0}{\Omega_M^0} \right) + \frac{4 \cdot \pi}{3} \right] \quad \text{if} \quad \Omega_M^0 > 1$$



Dividing curve between perpetual expansion and recollapse.

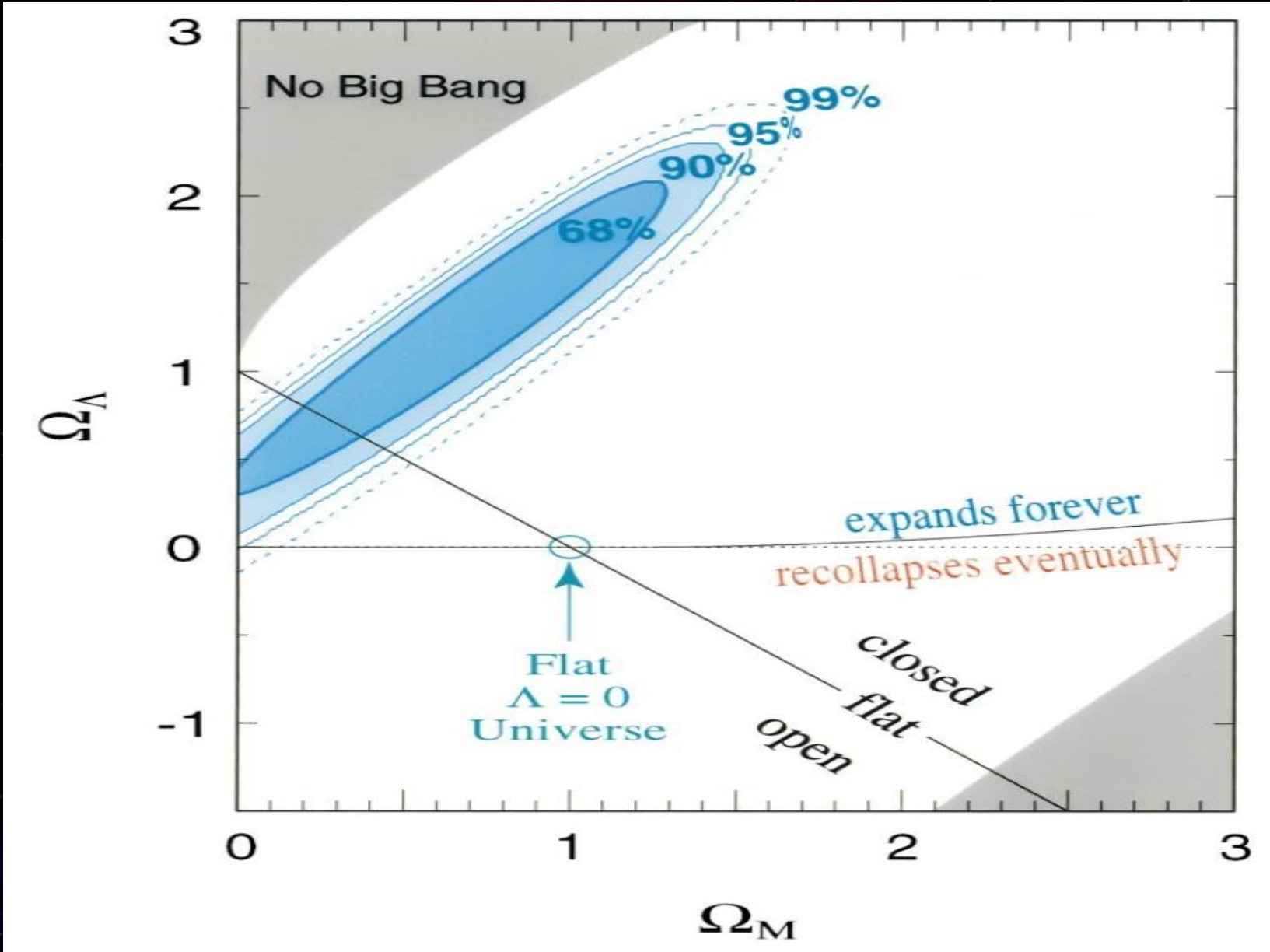
# Sne IA Gold Data 2004 and Sne IA Data 1998 (Riess et al.)

$\Omega_{\Lambda}^0$



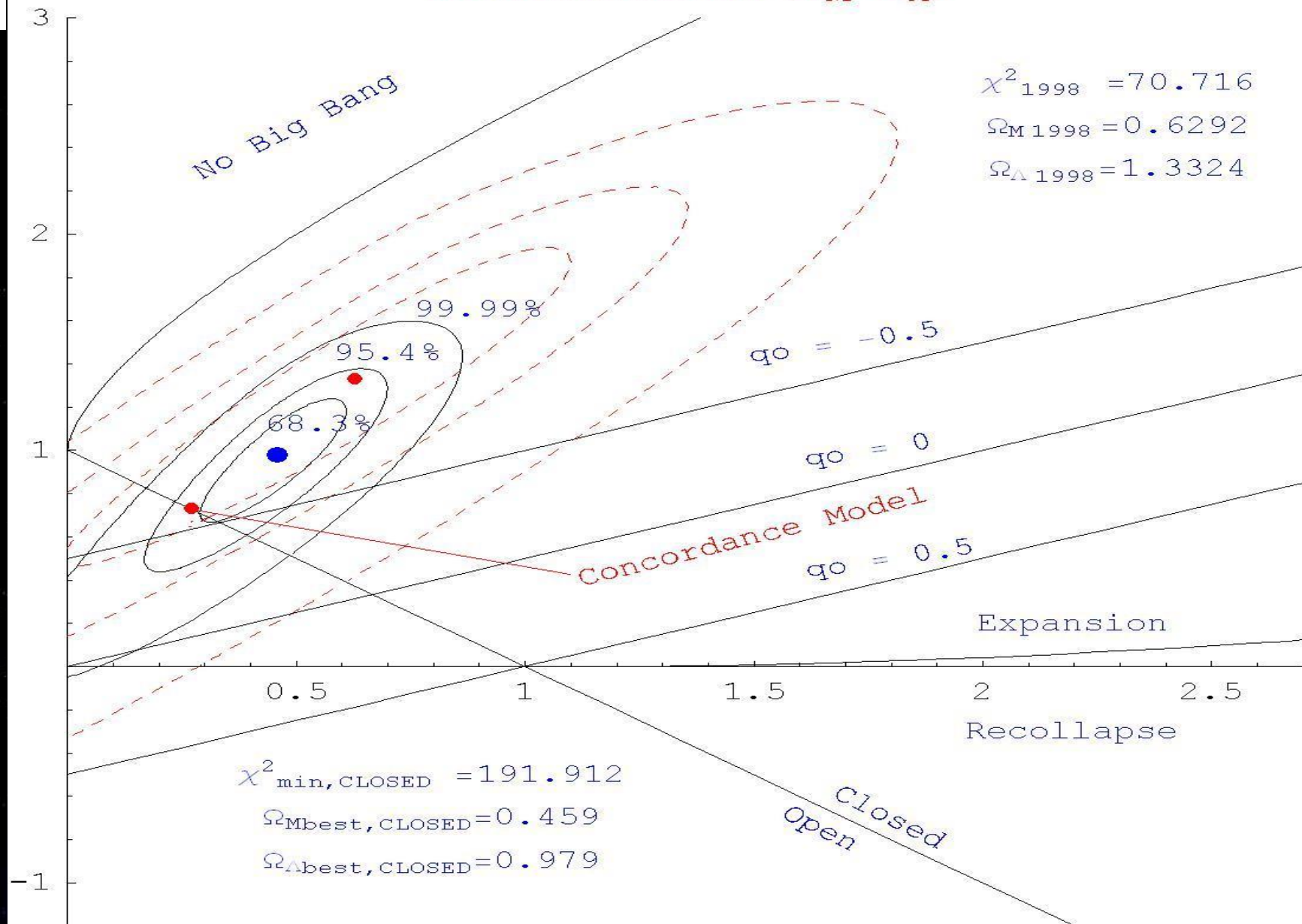
$\Omega_M^0$

SNe Ia Data 1999 (Perlmutter et al.)



$\Omega_{\Lambda}^0$

**Confidence intervals ( $\Omega_M - \Omega_{\Lambda}$ )**



$\Omega_M^0$

# Constraints on for CMB parameters

$$l_A(z_\star) \equiv (1 + z_\star) \frac{\pi D_A(z_\star)}{r_s(z_\star)},$$



Acoustic Scale

$$R(z_\star) \equiv \frac{\sqrt{\Omega_M H_0^2}}{c} (1 + z_\star) D_A(z_\star).$$



Shift Parameter

$z_\star$



Redshift of Decoupling at last scattering.

Where we are defined:

$$S_k \equiv (1 + z) D_A,$$

$$S_k(z) = \frac{c}{H_0} \begin{cases} |\Omega_k|^{-1/2} \sinh[\sqrt{\Omega_k} H_0 r_c(z)/c] & \text{if } (\Omega_k > 0), \\ H_0 r_c(z)/c & \text{if } (\Omega_k = 0), \\ |\Omega_k|^{-1/2} \sin[\sqrt{-\Omega_k} H_0 r_c(z)/c] & \text{if } (\Omega_k < 0), \end{cases}$$

# Constraints on for CMB parameters

*WMAP* Distance Priors Obtained from the *WMAP* Seven-year Fit to Models with Spatial Curvature and Dark Energy

$d_i$	Seven-year ML <sup>a</sup>	Seven-year Mean <sup>b</sup>	Error, $\sigma$
$l_A$	302.09	302.69	0.76
$R$	1.725	1.726	0.018
$z_*$	1091.3	1091.36	0.91

**Notes.** The correlation coefficients are  $r_{l_A, R} = 0.1956$ ,  $r_{l_A, z_*} = 0.4595$ , and  $r_{R, z_*} = 0.7357$ .

<sup>a</sup> Maximum likelihood values (recommended).

<sup>b</sup> Mean of the likelihood.

We compute the Chi-square function:

$$\chi_{\text{CMB}}^2 = -2 \ln L = \sum_{ij} (x_i - d_i)(C^{-1})_{ij}(x_j - d_j),$$

where  $x_i = (l_A, R, z_*)$

← The values predicted by a model

$d_i = (l_A^{\text{WMAP}}, R^{\text{WMAP}}, z_*^{\text{WMAP}})$

← The data given in the above table

$C_{ij}^{-1}$

← Covariance Matrix

Inverse Covariance Matrix for the *WMAP* Distance Priors

	$l_A$	$R$	$z_*$
$l_A$	2.305	29.698	-1.333
$R$		6825.270	-113.180
$z_*$			3.414

# Baryon Acoustic Oscillation A

For a curved universe we have:

$$A \equiv \sqrt{\Omega_m^0} E(z_{\text{BAO}})^{-1/3} \left( \frac{1}{z_{\text{BAO}} \sqrt{|\Omega_k^0|}} \text{Sinn} \left( \sqrt{|\Omega_k^0|} \int_0^{z_{\text{BAO}}} \frac{dz'}{E(z')} \right) \right)^{2/3}$$

where  $E(z) \equiv \frac{H(z, \Omega_m, \Omega_\Lambda)}{H_0}$

$$z_{\text{BAO}} = 0.35$$

$\chi^2$  function

$$\chi_{\text{BAO}}^2 = \left( \frac{A_{\text{theory}}(\Omega_m, \Omega_\Lambda) - A_{\text{obs}}}{\sigma_A} \right)^2$$

$$A_{\text{observed}} = 0.469 \pm 0.017$$

# The total $\chi^2$ -function

$$\chi_{\text{SNe}}^2(z, \mathbf{X}) \equiv \sum_{k=1}^n \frac{[\mu_k^{\text{theory}}(z, \mathbf{X}) - \mu_k^{\text{observ}}]^2}{\sigma_k^2}$$

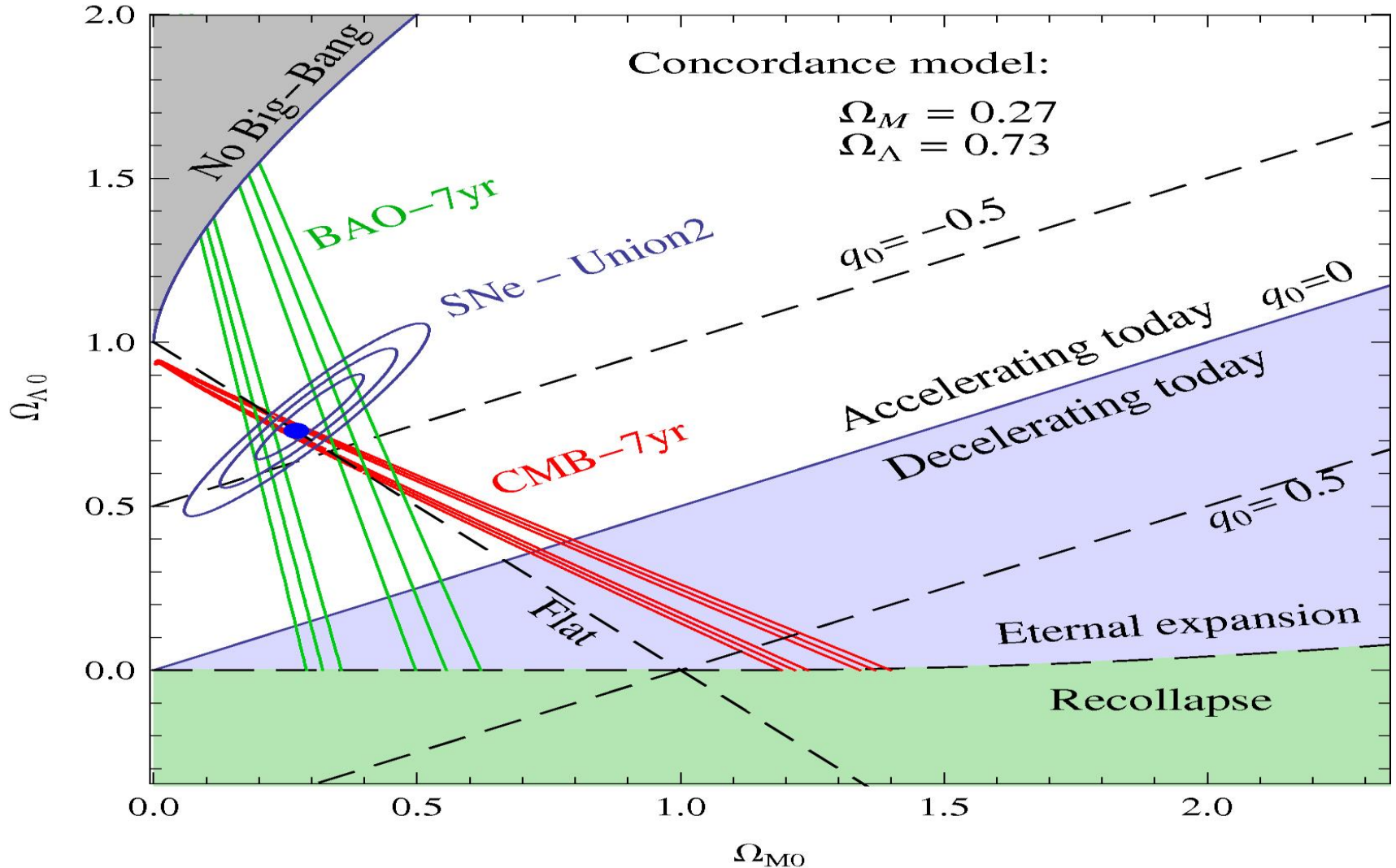
$$\chi_{\text{CMB}}^2$$

$$\chi_{\text{BAO}}^2$$

$$\chi^2 = \chi_{\text{SNe}}^2 + \chi_{\text{CMB}}^2 + \chi_{\text{BAO}}^2$$

# Constraints on Cosmological Constant and Matter Density Parameters.

## Confidence Intervals



Posterior Probability density marginalized on the Hubble constant for universe dominated by matter (dark and baryonic), cosmological constant and curvature:

$$P(\Omega_M^0, \Omega_\Lambda^0) \equiv B \cdot \exp \left[ -\frac{\chi^2(\Omega_M^0, \Omega_\Lambda^0) - \chi_{\min}^2}{2} \right] = A \cdot \int_0^\infty \exp \left[ -\frac{\tilde{\chi}^2(H_0, \Omega_M^0, \Omega_\Lambda^0)}{2} \right] dH_0$$

We build the Posterior Probability density marginalizing with the prior probability density for flat case:

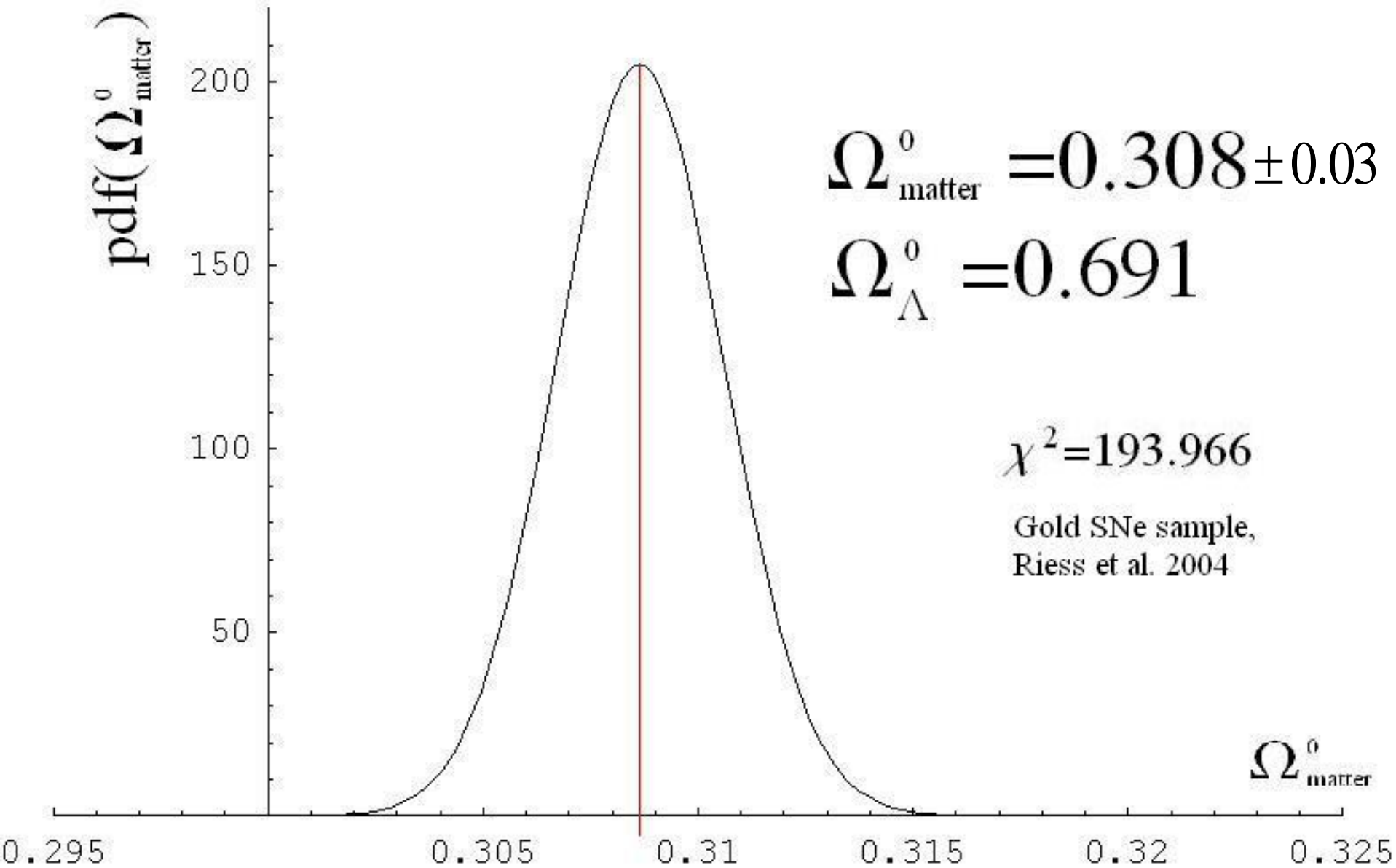
$$\Omega_M + \Omega_\Lambda = 1$$

$$\tilde{P}(\Omega_M^0) = D \cdot \exp \left[ -\frac{\chi_*^2(\Omega_M^0) - \chi_{*\min}^2}{2} \right] \equiv B \cdot \int_{-\infty}^\infty \exp \left[ -\frac{\chi^2(\Omega_M^0, \Omega_\Lambda^0) - \chi_{\min}^2}{2} \right] \delta(\Omega_M^0 + \Omega_\Lambda^0 - 1) d\Omega_\Lambda^0$$

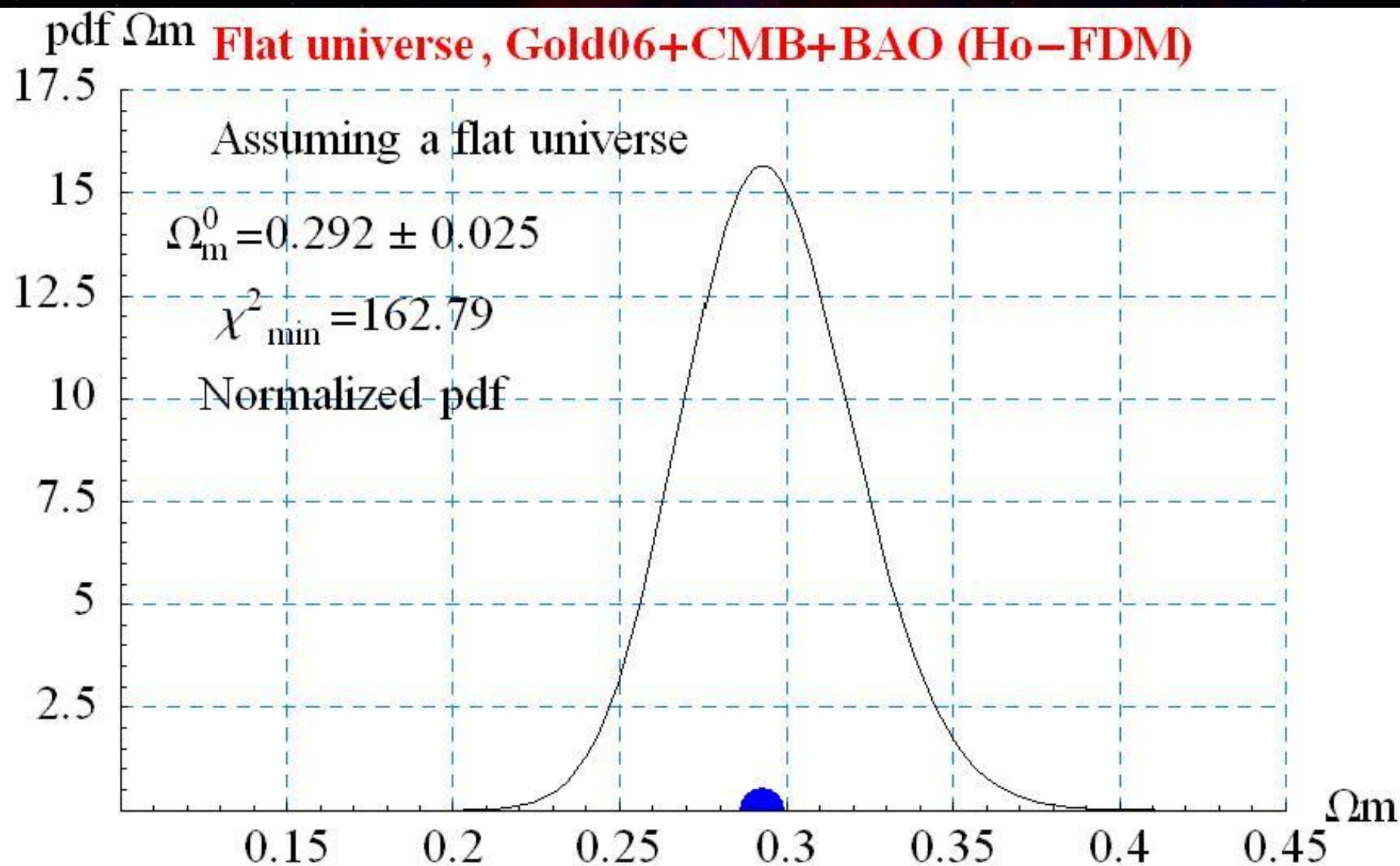
↑  
Posterior probability density.

↑  
prior probability density for flat case.

Posterior Probability density for the parameter of matter density with the flat prior probability density:



Posterior Probability density for the parameter of matter density with the flat prior probability density:



A flat universe dominated by matter (dust) and a generalized dark energy fluid parameterized by an equation of state with  $w$  constant:

$$P_{DE} = c^2 w \rho_{DE}$$

$$P_M \cong 0$$

Posterior Probability density marginalized on the Hubble constant:

$$P(\Omega_M^0, w) \equiv B \cdot \exp\left[-\frac{\chi^2(\Omega_M^0, w) - \chi_{\min}^2}{2}\right] = A \cdot \int_0^\infty \exp\left[-\frac{\tilde{\chi}^2(H_0, \Omega_M^0, w)}{2}\right] dH_0$$

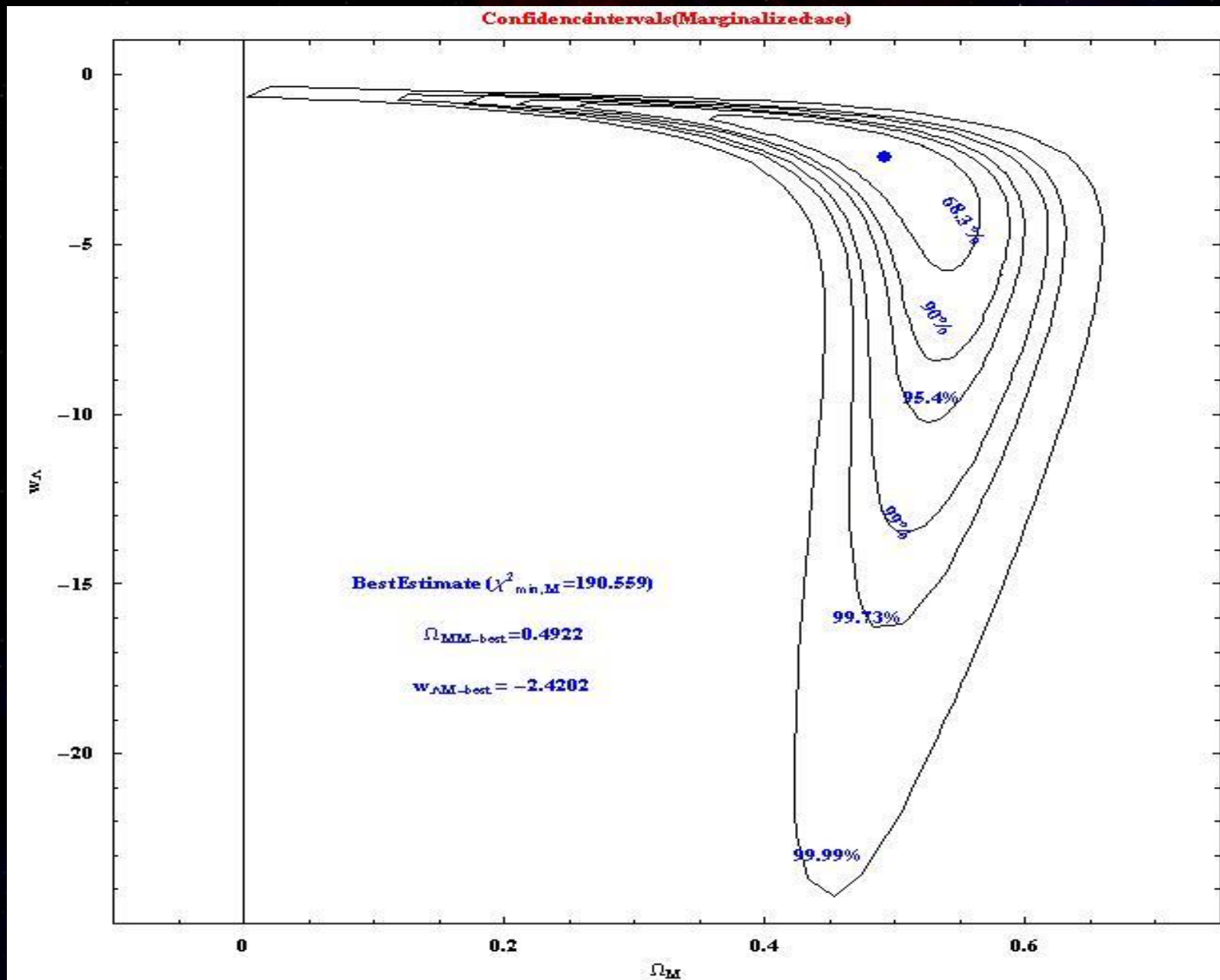
Posterior Probability density with the Gaussian prior probability density for the density parameter of matter coming from anisotropies of CMB or dynamical observations:

$$\begin{aligned} \tilde{P}(\Omega_M^0, w) &= B \cdot \exp\left[-\frac{\chi^2(\Omega_M^0, w)}{2}\right] \cdot \exp\left(-\frac{(\Omega_M^0 - 0.27)^2}{2(0.04)^2}\right) \\ &= D \cdot \exp\left[-\frac{\tilde{\chi}^2(\Omega_M^0, w) - \tilde{\chi}_{\min}^2}{2}\right] \end{aligned}$$

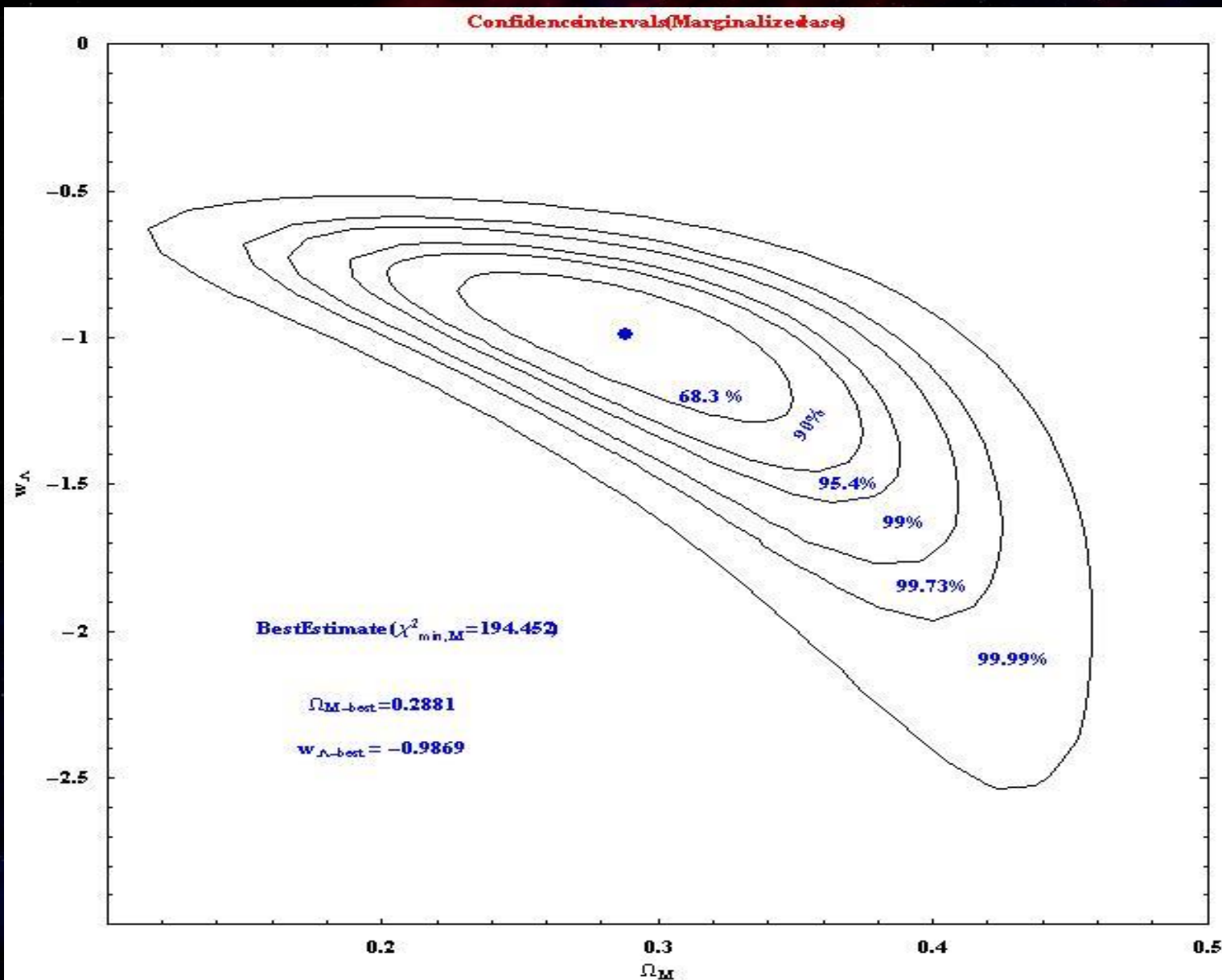
Posterior probability density.

Gaussian prior probability density.

# No prior Gaussian for the density of matter

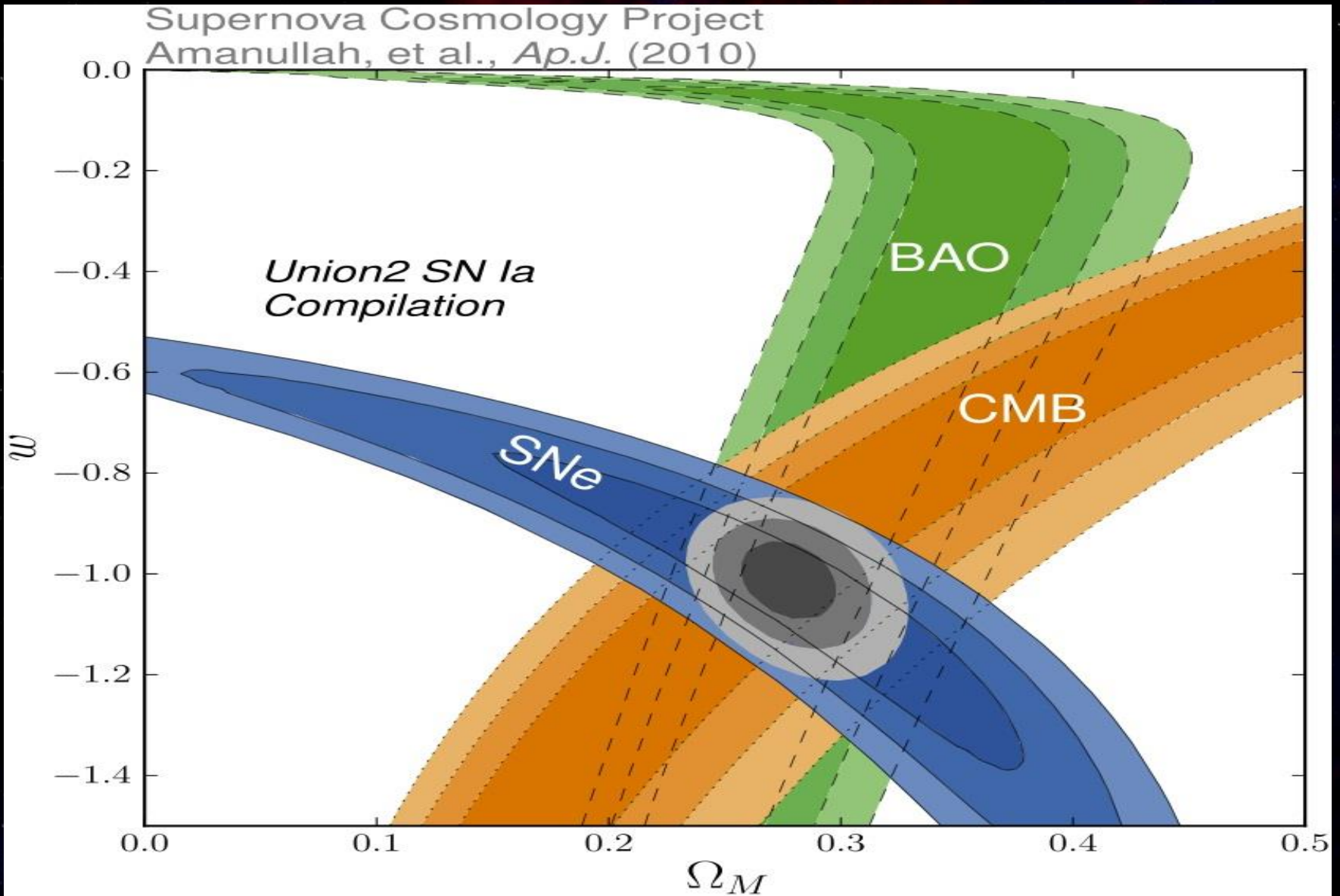


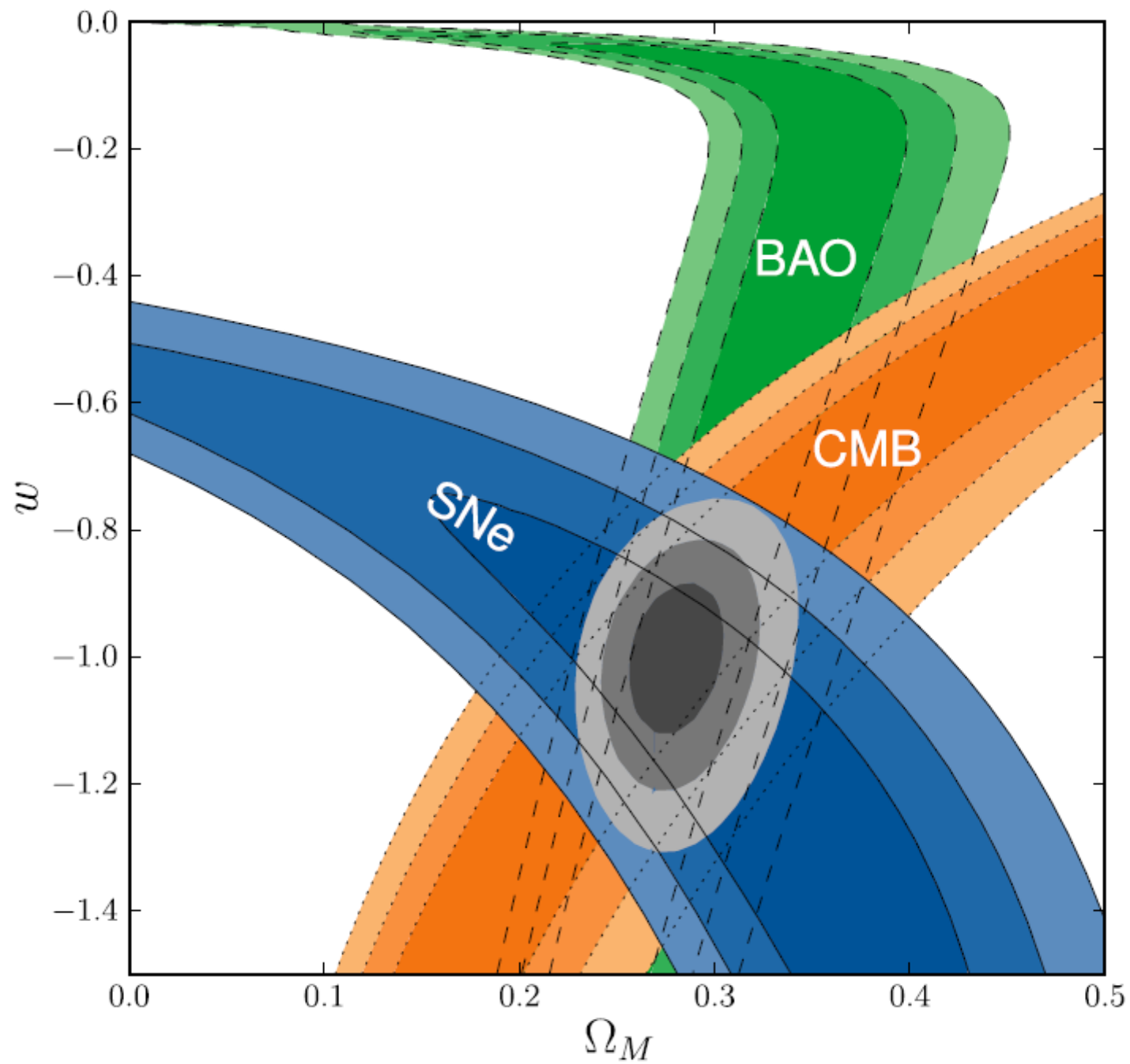
Gaussian prior for density of matter: !!! It is important to measure with precision the density of barionic and dark matter !!!



Flat Model (zero curvature) with three combined test: SNe, BAO, CMB.  
Confidence regions with  $w$  constant. Including systematic errors.

35





A flat universe dominated by matter (dust) and a generalized dark energy fluid parameterized by an equation of state with  $w(z)$  a linear function with redshift:

$$P_{DE} = c^2 (w_0 + W_0 z) \rho_{DE}$$

$$P_M \cong \mathbf{0}$$

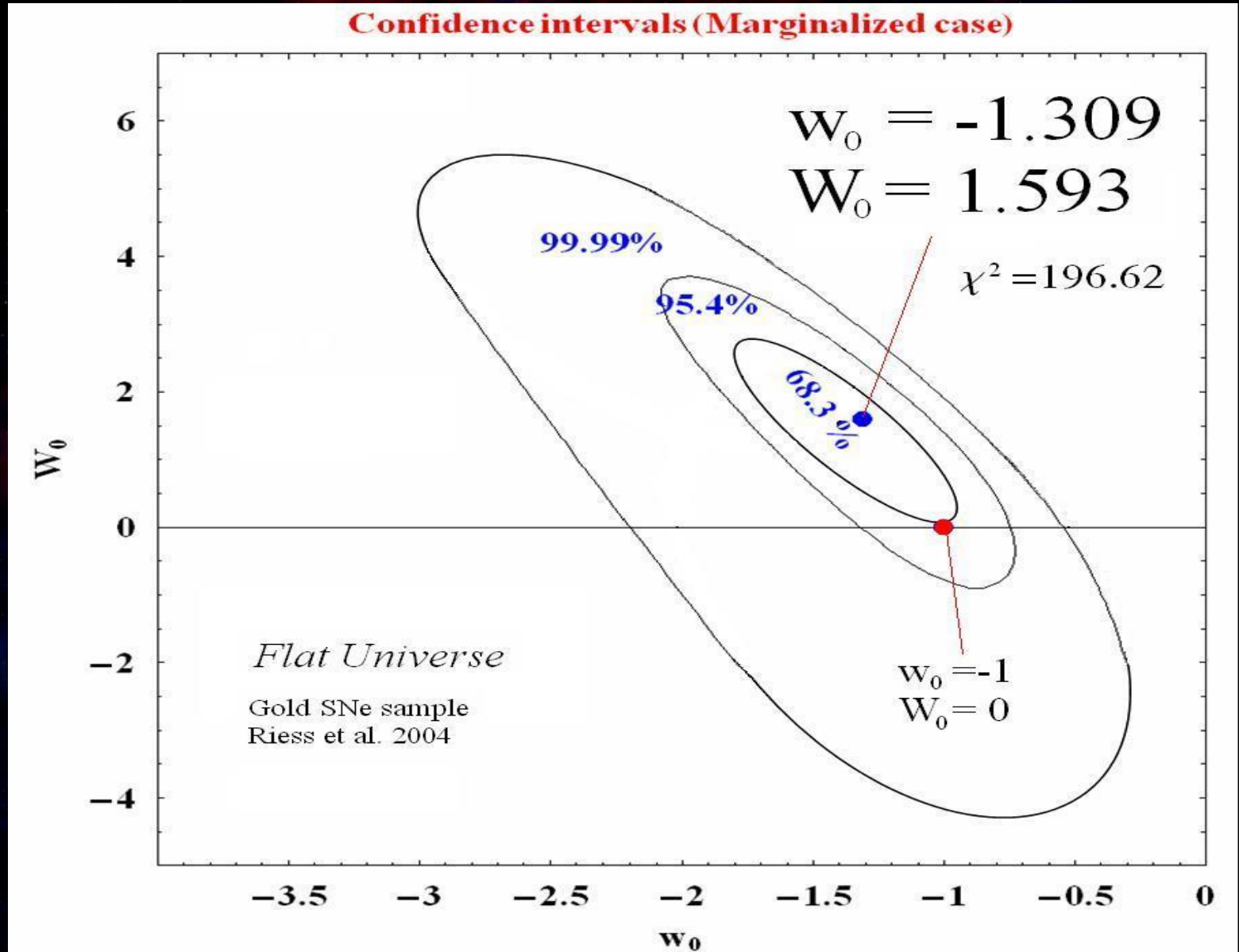
Posterior Probability density marginalized on the Hubble constant:

$$P(\Omega_M^0, w_0, W_0) \equiv B \exp\left[-\frac{\chi^2(\Omega_M^0, w_0, W_0) - \chi_{\min}^2}{2}\right] = A \int_0^\infty \exp\left[-\frac{\tilde{\chi}^2(H_0, \Omega_M^0, w_0, W_0)}{2}\right] dH_0$$

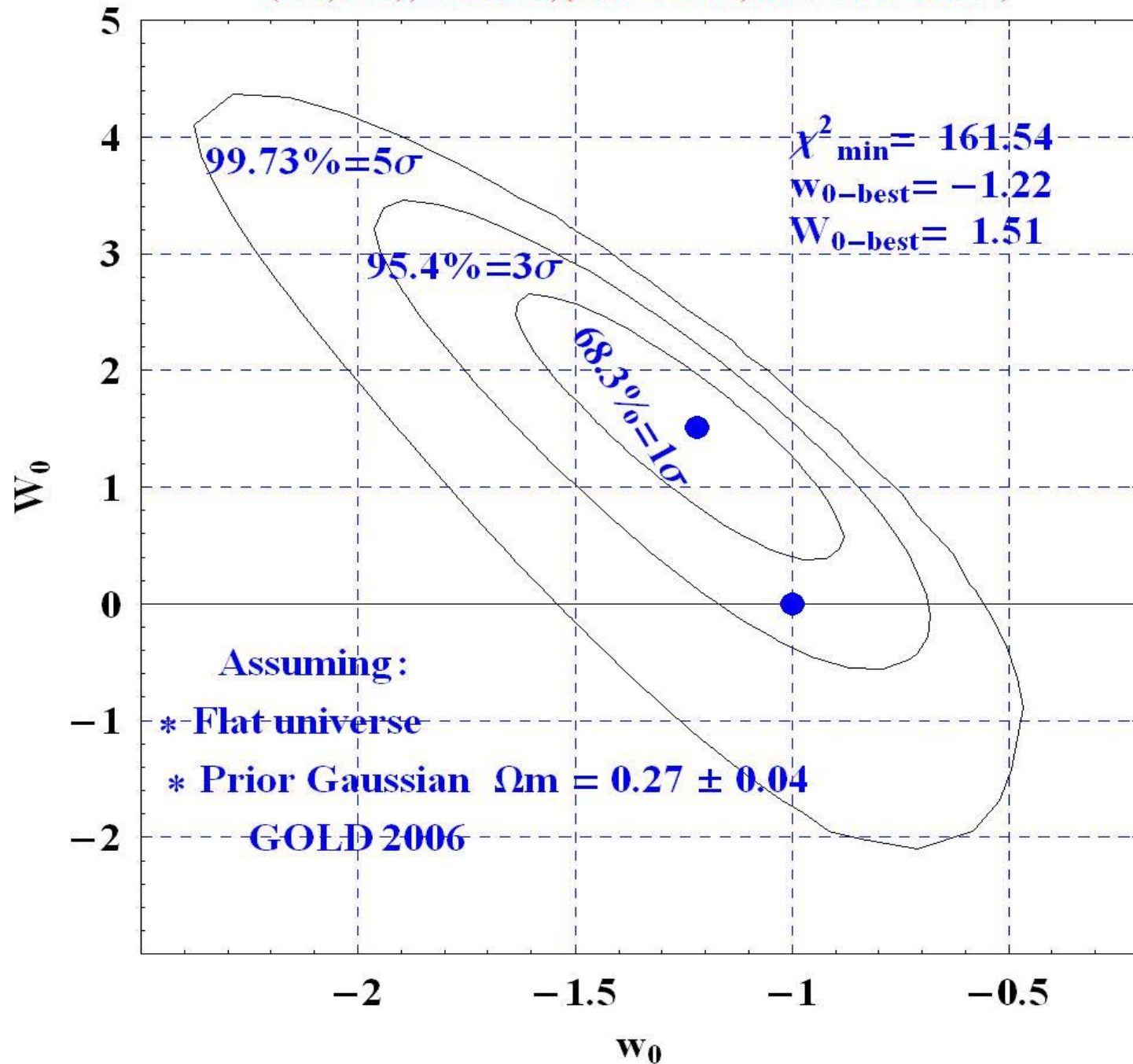
Posterior Probability density with the Gaussian prior probability density for the parameter of matter density coming from anisotropies of CMB:

$$\tilde{P}(w_0, W_0) = \int_0^\infty B \exp\left[-\frac{\chi^2(\Omega_M^0, w_0, W_0)}{2}\right] \exp\left(-\frac{(\Omega_M^0 - 0.27)^2}{2(0.04)^2}\right) d\Omega_M^0$$

Gaussian prior for density of matter: !!! It is important to measure with precision the density of barionic and dark matter !!!

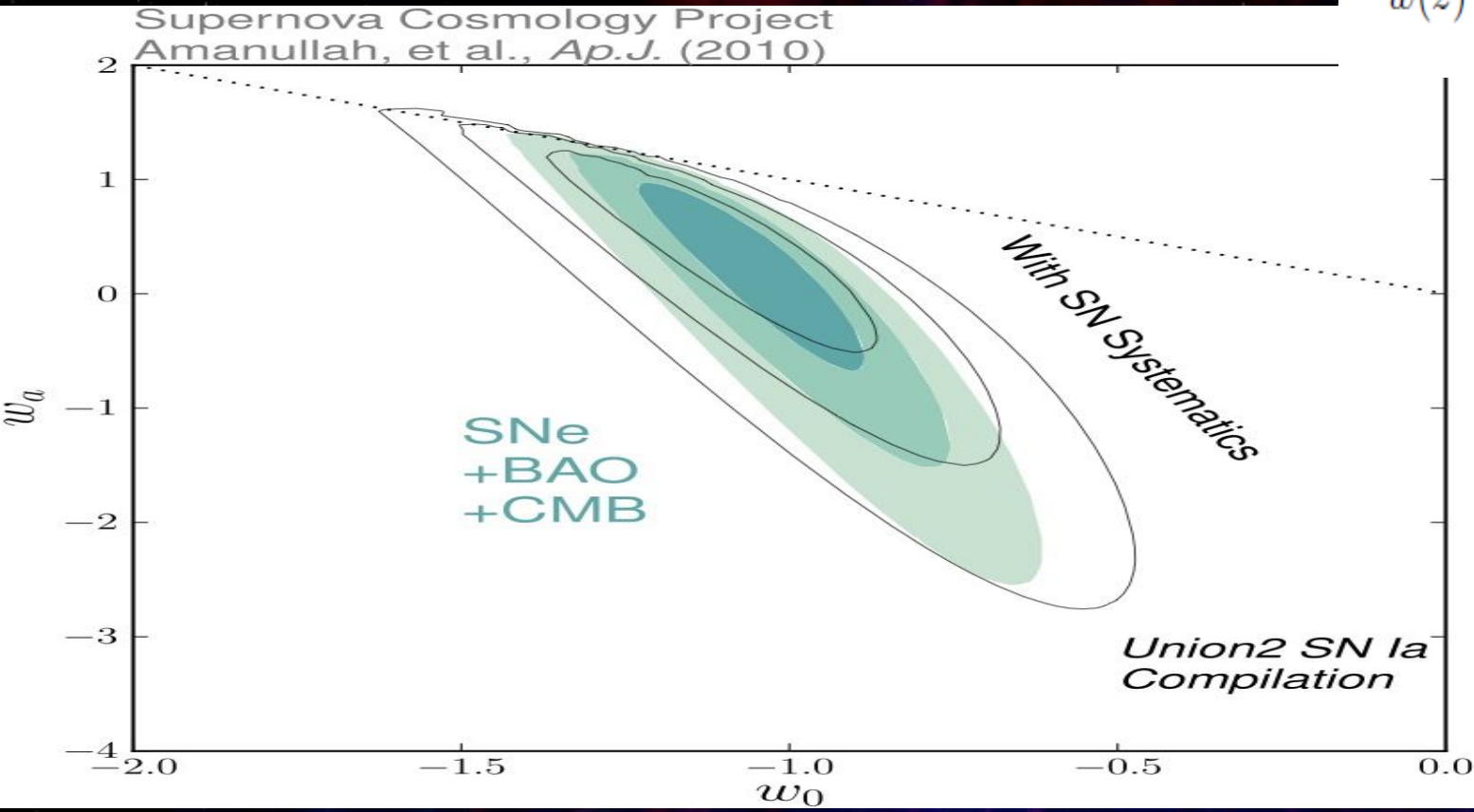


**(w<sub>0</sub>, W<sub>0</sub>), Gold06, (H<sub>0</sub>-FDM, Ω<sub>m</sub>=0.27±0.04)**



Flat Model (zero curvature) with three combined test: SNe, BAO, CMB.  
 Confidence regions with  $w$  constant. Including systematic errors.

$$w(z) = w_0 + w_a \frac{z}{1+z}$$



**Figure 13.** 68.3%, 95.4%, and 99.7% confidence regions of the  $(w_0, w_a)$  plane from SNe combined with the constraints from BAO and CMB both with (solid contours) and without (shaded contours) systematic errors. Zero curvature has been assumed. Points above the dotted line ( $w_0 + w_a = 0$ ) violate early matter domination and are implicitly disfavored in this analysis by the CMB and BAO data.

# Results with three combined test: SNe, BAO, CMB.

Fit results on cosmological parameters  $\Omega_M$ ,  $w$  and  $\Omega_k$ . The parameter values are followed by their statistical (first column) and statistical and systematic (second column) uncertainties.

Fit	$\Omega_M$	$\Omega_M$ w/ Sys	$\Omega_k$	$\Omega_k$ w/ Sys	$w$	$w$ w/ Sys
SNe	$0.270^{+0.021}_{-0.021}$	$0.274^{+0.040}_{-0.037}$	0 (fixed)	0 (fixed)	-1 (fixed)	-1 (fixed)
SNe+BAO+ $H_0$	$0.309^{+0.032}_{-0.032}$	$0.316^{+0.036}_{-0.035}$	0 (fixed)	0 (fixed)	$-1.114^{+0.098}_{-0.112}$	$-1.154^{+0.131}_{-0.150}$
SNe+CMB	$0.268^{+0.019}_{-0.017}$	$0.269^{+0.023}_{-0.022}$	0 (fixed)	0 (fixed)	$-0.997^{+0.050}_{-0.055}$	$-0.999^{+0.074}_{-0.079}$
SNe+BAO+CMB	$0.277^{+0.014}_{-0.014}$	$0.279^{+0.017}_{-0.016}$	0 (fixed)	0 (fixed)	$-1.009^{+0.050}_{-0.054}$	$-0.997^{+0.077}_{-0.082}$
SNe+BAO+CMB	$0.278^{+0.014}_{-0.014}$	$0.281^{+0.018}_{-0.016}$	$-0.004^{+0.006}_{-0.006}$	$-0.004^{+0.006}_{-0.007}$	-1 (fixed)	-1 (fixed)
SNe+BAO+CMB	$0.281^{+0.016}_{-0.015}$	$0.281^{+0.018}_{-0.016}$	$-0.005^{+0.007}_{-0.007}$	$-0.006^{+0.008}_{-0.007}$	$-1.026^{+0.055}_{-0.059}$	$-1.035^{+0.093}_{-0.097}$

## Composition of the universe: Concordance Model.

	Concordance Model
• Barionic Matter:	2-5 %
• Dark Matter:	25-30 %
• Electromagnetic Radiation	0.005 %
• Dark Energy	73 %
• Another Components (neutrinos, electrons) $\approx$ 0 %	

$$\rho_{critical}^0 = 1.88 \times 10^{-29} h^2 \frac{gr}{cm^3}$$

From the quantum vacuum of the Standard Model of particles:

$$\rho_{\Lambda}^{EW} \approx 3 \times 10^{47} \text{ erg / cm}^3$$

$$\rho_{\Lambda}^{QCD} \approx 1.6 \times 10^{36} \text{ erg / cm}^3$$

$$\rho_{\Lambda}^{total} \approx 2 \times 10^{110} \text{ erg / cm}^3$$

Planck Density

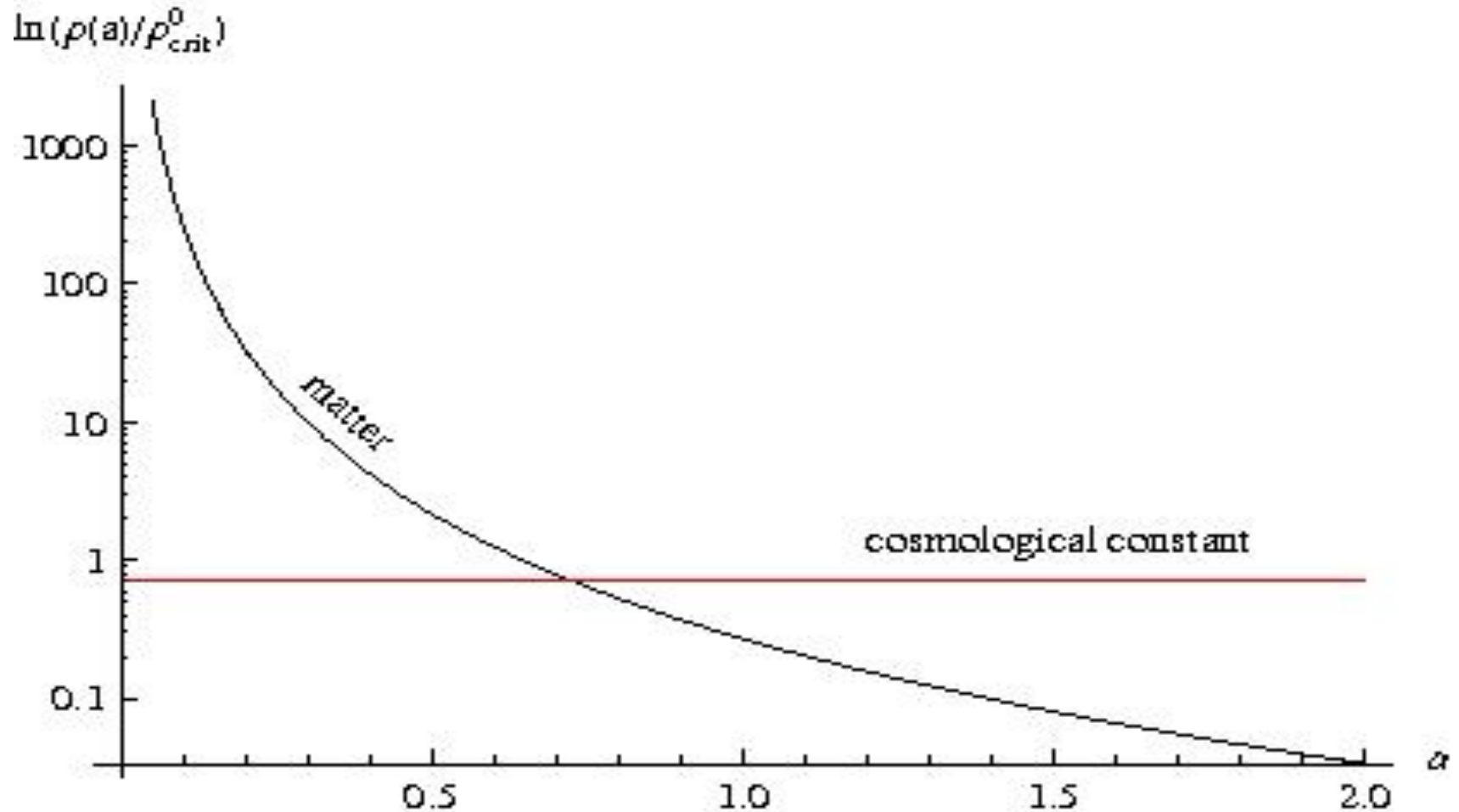
Density observed for the cosmological constant:

$$\rho_{\Lambda}^{observada} \approx 2 \times 10^{-10} \text{ erg / cm}^3$$

A rate of 120 orders of magnitude !!!

# Problema de la Coincidencia Cósmica

Problema de la coincidencia cósmica



## Conclusions

Using a kinematic description of the deceleration parameter, the SNe Ia favor recent acceleration and past deceleration at the 99.2% confidence level at the transition redshift :

$$z_t = 0.443 \pm 0.14$$

The SN Ia, CMB, BAO samples are consistent with the cosmic concordance model:

$$\Omega_M^0 \approx 0.3, \Omega_\Lambda^0 \approx 0.7$$

Suppose that a survey samples a narrow-redshift shell of width  $\Delta z$  at a redshift  $z$ . Furthermore, suppose that we are only interested in the clustering of galaxy pairs with small separations. For a given pair of galaxies,  $\Delta z$  and the angular separation  $\theta$  are fixed by observation, and we wish to measure the comoving separation for different cosmological models. In the radial direction, separations in comoving space scale with changes in the cosmological model as  $dr_c/dz \simeq \Delta r_c/\Delta z = c/H(z)$ , where  $r_c(z) \equiv \int c(1+z) dt$  is the comoving distance to a redshift  $z$ . In the angular direction, the comoving galaxy separation scales as  $\Delta r_c = \Delta\theta (1+z)D_A$ , where  $D_A$  is the standard angular diameter distance. Writing  $S_k \equiv (1+z)D_A$ ,

$$a \cdot \Delta r_c = \frac{\Delta r_c}{1+z} = \Delta\theta \cdot D_A$$



$$\Delta r_c = \Delta\theta \cdot (1+z) \cdot D_A$$

Where we have:

$$S_k(z) = r^* = \text{comoving distance.}$$

$$S_k(z) = \frac{c}{H_0} \begin{cases} |\Omega_k|^{-1/2} \sinh[\sqrt{\Omega_k} H_0 r_c(z)/c] & \text{if } (\Omega_k > 0), \\ H_0 r_c(z)/c & \text{if } (\Omega_k = 0), \\ |\Omega_k|^{-1/2} \sin[\sqrt{-\Omega_k} H_0 r_c(z)/c] & \text{if } (\Omega_k < 0), \end{cases}$$

# Constraints on for CMB parameters

$$l_A(z_\star) \equiv (1 + z_\star) \frac{\pi D_A(z_\star)}{r_s(z_\star)},$$



Acoustic Scale

$$R(z_\star) \equiv \frac{\sqrt{\Omega_M H_0^2}}{c} (1 + z_\star) D_A(z_\star).$$



Shift Parameter

$z_\star$



Redshift of Decoupling at last scattering.

Where we are defined:

$$S_k \equiv (1 + z) D_A,$$

$$S_k(z) = \frac{c}{H_0} \begin{cases} |\Omega_k|^{-1/2} \sinh[\sqrt{\Omega_k} H_0 r_c(z)/c] & \text{if } (\Omega_k > 0), \\ H_0 r_c(z)/c & \text{if } (\Omega_k = 0), \\ |\Omega_k|^{-1/2} \sin[\sqrt{-\Omega_k} H_0 r_c(z)/c] & \text{if } (\Omega_k < 0), \end{cases}$$

# Constraints on for CMB parameters

*WMAP* Distance Priors Obtained from the *WMAP* Seven-year Fit to Models with Spatial Curvature and Dark Energy

$d_i$	Seven-year ML <sup>a</sup>	Seven-year Mean <sup>b</sup>	Error, $\sigma$
$l_A$	302.09	302.69	0.76
$R$	1.725	1.726	0.018
$z_*$	1091.3	1091.36	0.91

**Notes.** The correlation coefficients are  $r_{l_A,R} = 0.1956$ ,  $r_{l_A,z_*} = 0.4595$ , and  $r_{R,z_*} = 0.7357$ .

<sup>a</sup> Maximum likelihood values (recommended).

<sup>b</sup> Mean of the likelihood.

We compute the Chi-square function:

$$\chi_{\text{CMB}}^2 = -2 \ln L = \sum_{ij} (x_i - d_i)(C^{-1})_{ij}(x_j - d_j),$$

where  $x_i = (l_A, R, z_*)$

← The values predicted by a model

$d_i = (l_A^{\text{WMAP}}, R^{\text{WMAP}}, z_*^{\text{WMAP}})$

← The data given in the above table

$C_{ij}^{-1}$

← Covariance Matrix

Inverse Covariance Matrix for the *WMAP* Distance Priors

	$l_A$	$R$	$z_*$
$l_A$	2.305	29.698	-1.333
$R$		6825.270	-113.180
$z_*$			3.414

# Constraints on for CMB parameters

$$l_A(z_\star) \equiv (1 + z_\star) \frac{\pi D_A(z_\star)}{r_s(z_\star)},$$



Acoustic Scale

$$R(z_\star) \equiv \frac{\sqrt{\Omega_M H_0^2}}{c} (1 + z_\star) D_A(z_\star).$$



Shift Parameter

$$z_d = 1291 \frac{(\Omega_0 h^2)^{0.251}}{1 + 0.659(\Omega_0 h^2)^{0.828}} [1 + b_1(\Omega_b h^2)^{b_2}]$$

$$b_1 = 0.313(\Omega_0 h^2)^{-0.419} [1 + 0.607(\Omega_0 h^2)^{0.674}]$$

$$b_2 = 0.238(\Omega_0 h^2)^{0.223},$$

$$S_k \equiv (1 + z) D_A,$$

$$S_k(z) = \frac{c}{H_0} \begin{cases} |\Omega_k|^{-1/2} \sinh[\sqrt{\Omega_k} H_0 r_c(z)/c] & \text{if } (\Omega_k > 0), \\ H_0 r_c(z)/c & \text{if } (\Omega_k = 0), \\ |\Omega_k|^{-1/2} \sin[\sqrt{-\Omega_k} H_0 r_c(z)/c] & \text{if } (\Omega_k < 0), \end{cases}$$

Suppose that a survey samples a narrow-redshift shell of width  $\Delta z$  at a redshift  $z$ . Furthermore, suppose that we are only interested in the clustering of galaxy pairs with small separations. For a given pair of galaxies,  $\Delta z$  and the angular separation  $\theta$  are fixed by observation, and we wish to measure the comoving separation for different cosmological models. In the radial direction, separations in comoving space scale with changes in the cosmological model as  $dr_c/dz \simeq \Delta r_c/\Delta z = c/H(z)$ , where  $r_c(z) \equiv \int c(1+z) dt$  is the comoving distance to a redshift  $z$ . In the angular direction, the comoving galaxy separation scales as  $\Delta r_c = \Delta\theta (1+z)D_A$ , where  $D_A$  is the standard angular diameter distance. Writing  $S_k \equiv (1+z)D_A$ ,

$$a \cdot \Delta r_c = \frac{\Delta r_c}{1+z} = \Delta\theta \cdot D_A$$



$$\Delta r_c = \Delta\theta \cdot (1+z) \cdot D_A$$

Where we have:

$$S_k(z) = r^* = \text{comoving distance.}$$

$$S_k(z) = \frac{c}{H_0} \begin{cases} |\Omega_k|^{-1/2} \sinh[\sqrt{\Omega_k} H_0 r_c(z)/c] & \text{if } (\Omega_k > 0), \\ H_0 r_c(z)/c & \text{if } (\Omega_k = 0), \\ |\Omega_k|^{-1/2} \sin[\sqrt{-\Omega_k} H_0 r_c(z)/c] & \text{if } (\Omega_k < 0), \end{cases}$$

# Baryon Acoustic Oscillation A

For a curved universe we have:

$$A \equiv \sqrt{\Omega_m^0} E(z_{\text{BAO}})^{-1/3} \left( \frac{1}{z_{\text{BAO}} \sqrt{|\Omega_k^0|}} \text{Sinn} \left( \sqrt{|\Omega_k^0|} \int_0^{z_{\text{BAO}}} \frac{dz'}{E(z')} \right) \right)^{2/3}$$

where  $E(z) \equiv \frac{H(z, \Omega_m, \Omega_\Lambda)}{H_0}$

$$z_{\text{BAO}} = 0.35$$

$\chi^2$  function

$$\chi_{\text{BAO}}^2 = \left( \frac{A_{\text{theory}}(\Omega_m, \Omega_\Lambda) - A_{\text{obs}}}{\sigma_A} \right)^2$$

$$A_{\text{observed}} = 0.469 \pm 0.017$$

# The total $\chi^2$ -function

$$\chi_{\text{SNe}}^2(z, \mathbf{X}) \equiv \sum_{k=1}^n \frac{[\mu_k^{\text{theory}}(z, \Omega_m, \Omega_\Lambda) - \mu_k^{\text{observ}}]^2}{\sigma_k^2}$$

$$\chi_{\text{BAO}}^2 = \left( \frac{A_{\text{theory}}(\Omega_m, \Omega_\Lambda) - A_{\text{obs}}}{\sigma_A} \right)^2$$

$$\chi^2 = \chi_{\text{SNe}}^2 + \chi_{\text{BAO}}^2$$

# CMB shift parameter $R$

$$R \equiv \sqrt{\Omega_m^0} \int_0^{z_{\text{CMB}}} \frac{dz'}{E(z')}$$

where

$$E(z) \equiv \frac{H(z)}{H_0}$$

$$z_{\text{CMB}} = 1089$$

$\chi^2$  function

$$\chi_{\text{CMB}}^2 = \left( \frac{R - R_{\text{obs}}}{\sigma_R} \right)^2$$

$$R_{\text{observed}} = 1.70 \pm 0.03$$

From the quantum vacuum of the Standard Model of particles:

$$\rho_{\Lambda}^{EW} \approx 3 \times 10^{47} \text{ erg / cm}^3$$

$$\rho_{\Lambda}^{QCD} \approx 1.6 \times 10^{36} \text{ erg / cm}^3$$

$$\rho_{\Lambda}^{total} \approx 2 \times 10^{110} \text{ erg / cm}^3$$

Planck Density

Density observed for the cosmological constant:

$$\rho_{\Lambda}^{observada} \approx 2 \times 10^{-10} \text{ erg / cm}^3$$

A rate of 120 orders of magnitude !!!

Del vacío cuántico del Modelo Estándar de partículas elementales:

$$\rho_{\Lambda}^{EW} \approx 3 \times 10^{47} \text{ erg / cm}^3$$

$$\rho_{\Lambda}^{QCD} \approx 1.6 \times 10^{36} \text{ erg / cm}^3$$

$$\rho_{\Lambda}^{total} \approx 2 \times 10^{110} \text{ erg / cm}^3$$

Densidad de  
Planck

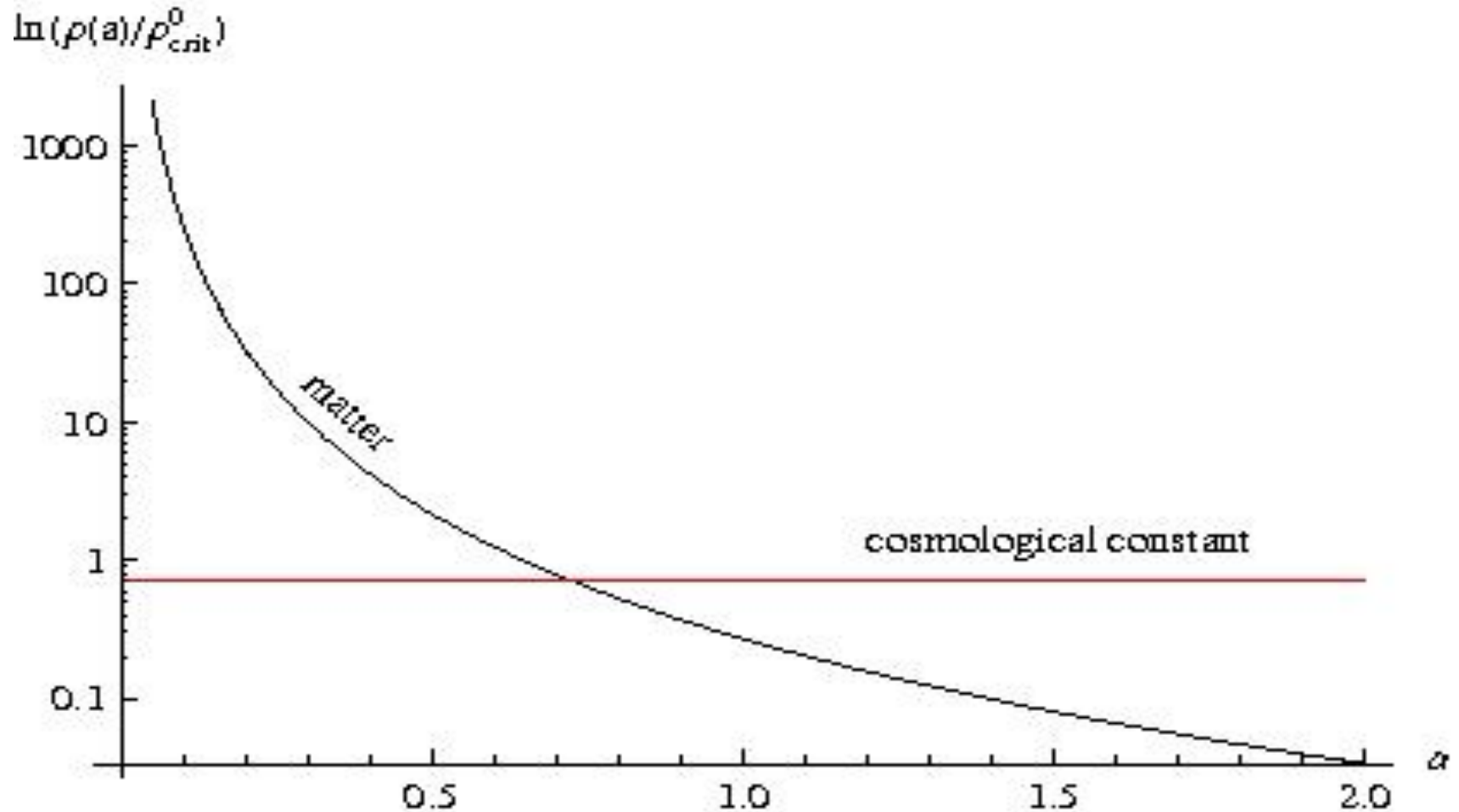
Densidad observada para la constante cosmológica:

$$\rho_{\Lambda}^{observada} \approx 2 \times 10^{-10} \text{ erg / cm}^3$$

Una razón de 120 órdenes de magnitud !!!

# Problema de la Coincidencia Cósmica

Problema de la coincidencia cósmica



# CMB shift parameter $R$

$$R \equiv \sqrt{\Omega_m^0} \int_0^{z_{\text{CMB}}} \frac{dz'}{E(z')}$$

where

$$E(z) \equiv \frac{H(z)}{H_0}$$

$$z_{\text{CMB}} = 1089$$

$\chi^2$  function

$$\chi_{\text{CMB}}^2 = \left( \frac{R - R_{\text{obs}}}{\sigma_R} \right)^2$$

$$R_{\text{observed}} = 1.70 \pm 0.03$$

# Baryon Acoustic Oscillation $A$

$$A \equiv \sqrt{\Omega_m^0} E(z_{\text{BAO}})^{-1/3} \left( \frac{1}{z_{\text{BAO}}} \int_0^{z_{\text{BAO}}} \frac{dz'}{E(z')} \right)^{2/3}$$

where

$$E(z) \equiv \frac{H(z)}{H_0}$$

$$z_{\text{BAO}} = 0.35$$

$\chi^2$  function

$$\chi_{\text{BAO}}^2 = \left( \frac{A - A_{\text{obs}}}{\sigma_A} \right)^2$$

$$A_{\text{observed}} = 0.469 \pm 0.017$$

# The total $\chi^2$ -function

$$\chi_{\text{SNe}}^2(z, \mathbf{X}) \equiv \sum_{k=1}^n \frac{[\mu_k^{\text{theory}}(z, \mathbf{X}) - \mu_k^{\text{observ}}]^2}{\sigma_k^2}$$

$$\chi_{\text{CMB}}^2 = \left( \frac{R - R_{\text{obs}}}{\sigma_R} \right)^2$$

$$\chi_{\text{BAO}}^2 = \left( \frac{A - A_{\text{obs}}}{\sigma_A} \right)^2$$

$$\chi^2 = \chi_{\text{SNe}}^2 + \chi_{\text{CMB}}^2 + \chi_{\text{BAO}}^2$$

## Composition of the universe: Concordance Model.

	Concordance Model
• Barionic Matter:	2-5 %
• Dark Matter:	25-30 %
• Electromagnetic Radiation	0.005 %
• Dark Energy	73 %
• Another Components (neutrinos, electrons) $\approx$ 0 %	

$$\rho_{critical}^0 = 1.88 \times 10^{-29} h^2 \frac{gr}{cm^3}$$

## Conclusions

Using a lineal kinematic description of the deceleration parameter, the SNe Ia favor recent acceleration and past deceleration at the 99.2% confidence level at the transition redshift :

$$z_t = 0.44233 \pm 0.14$$

The Gold sample 2004 and 2006 (with a flat prior probability density) and the SNLS sample are consistent with the cosmic concordance model:

$$\Omega_M^0 \approx 0.3, \quad \Omega_\Lambda^0 \approx 0.7$$

$$\Omega_M^0 = 0.292 \pm 0.025, \quad \Omega_\Lambda^0 = 0.707 \pm 0.075$$

- For a flat universe with a cosmological constant we measure:

$$\Omega_M^0 = 0.308 \pm 0.03, \quad \Omega_\Lambda^0 = 0.691$$

Gold Data 2004

$$\Omega_M^0 = 0.342 \pm 0.02, \quad \Omega_\Lambda^0 = 0.658$$

Gold Data 2006

$$\Omega_M^0 = 0.278 \pm 0.04, \quad \Omega_\Lambda^0 = 0.721$$

SNLS Data 2006

## Modelos propuestos para explicar la aceleración reciente del Universo:

- **Campos Escalares: Quintessence.**
- **Campos Escalares Fantasma (Phantom Energy).**
- **Fluidos de Chaplygin.**
- **Fluidos Imperfectos Con Viscosidad.**
- **Energía Oscura Holográfica.**
- **Modelos de Neutrinos con Masa Cambiante.**
- **Teorías de Gran Unificación Supersimétricas.**
- **Teorías Alternativas a la Relatividad General:**
  1. **Teorías Tensor-Escalares.**
  2. **Modificaciones de Curvatura a la Acción de Relatividad General.**

# Conclusions

Using a lineal kinematic description of the deceleration parameter, the SNe Ia favor recent acceleration and past deceleration at the 99.2% confidence level at the transition redshift :

$$z_t = 0.44233 \pm 0.14$$

The Gold sample 2004 and 2006 (with a flat prior probability density) and the SNLS sample are consistent with the cosmic concordance model:

$$\Omega_M^0 \approx 0.3, \quad \Omega_\Lambda^0 \approx 0.7$$

- For a flat universe with a cosmological constant we measure:

$$\Omega_M^0 = 0.308 \pm 0.03, \quad \Omega_\Lambda^0 = 0.691$$

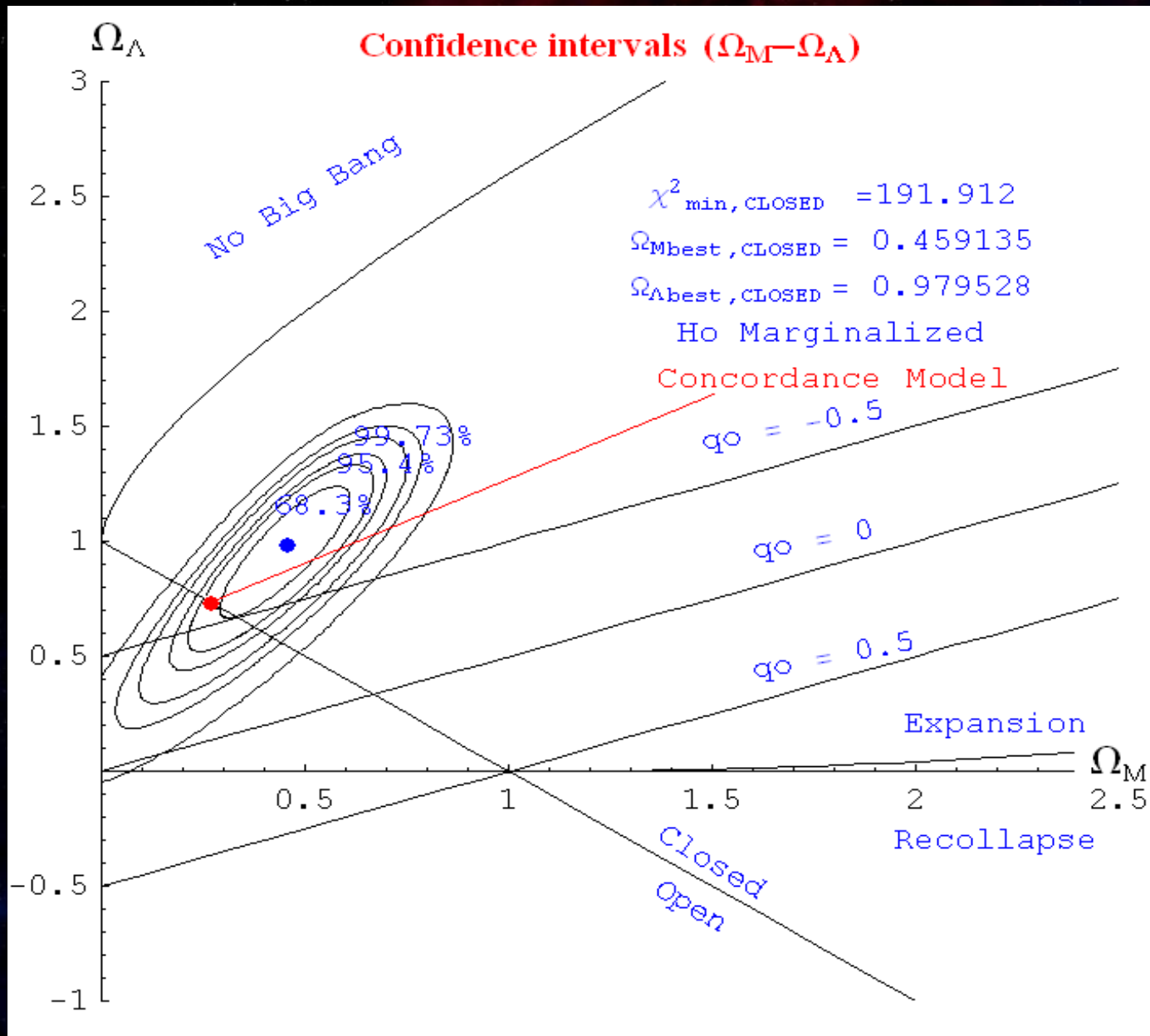
Gold Data 2004

$$\Omega_M^0 = 0.342 \pm 0.02, \quad \Omega_\Lambda^0 = 0.658$$

Gold Data 2006

$$\Omega_M^0 = 0.278 \pm 0.04, \quad \Omega_\Lambda^0 = 0.721$$

SNLS Data 2006



$\chi^2$  of Sne Ia

$$\chi^2(H_0, \mathbf{X}) \equiv \sum_{k=1}^n \frac{[\mu^t(z_k, H_0, \mathbf{X}) - \mu_k]^2}{\sigma_k^2}$$

The shift parameter  $R$ , of the Cosmic Microwave Background radiation

$$R \equiv \sqrt{\Omega_m^0} \int_0^{z_{\text{CMB}}} \frac{dz'}{E(z')}$$

where  $z_{\text{CMB}} = 1089$   
 $R_{\text{obs}} = 1.70 \pm 0.03$

$E(z) = H(z)/H_0$

The baryon acoustic oscillation peak  $A$

$$A \equiv \sqrt{\Omega_m^0} E(z_1)^{-1/3} \left[ \frac{1}{z_1} \int_0^{z_1} \frac{dz'}{E(z')} \right]^{2/3}$$

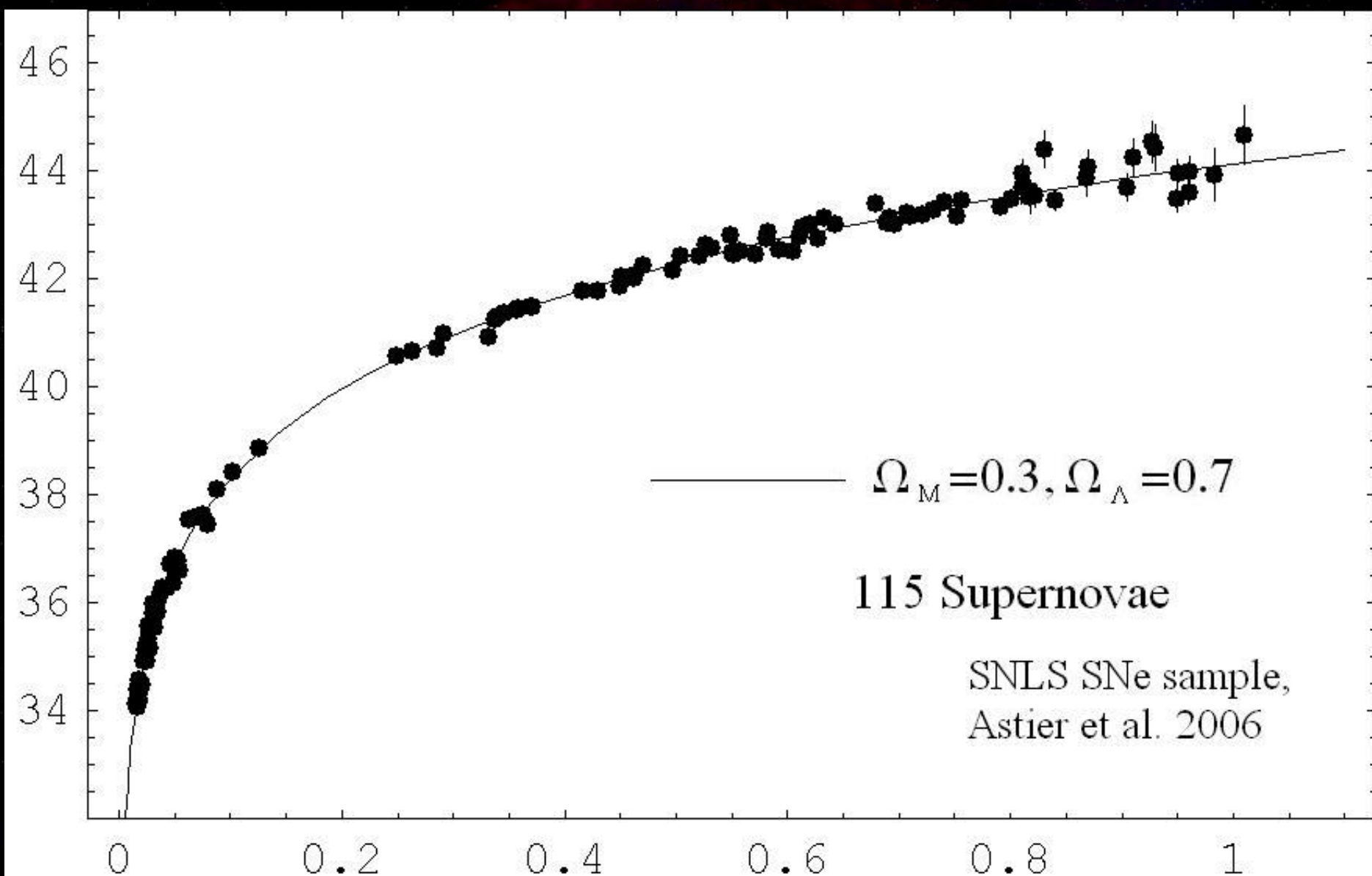
where  $z_1 = 0.35$

$A_{\text{obs}} = 0.469 \pm 0.017$

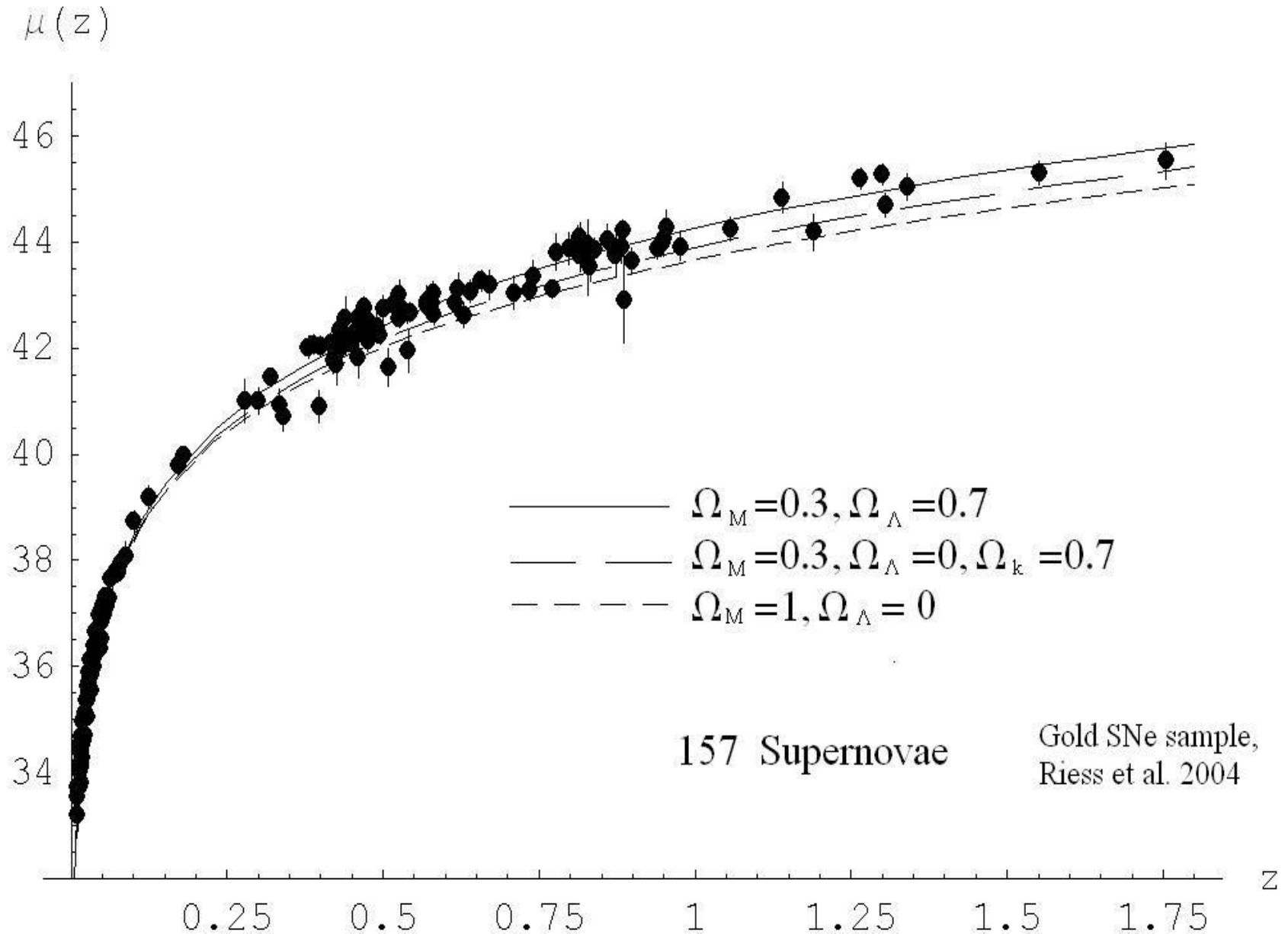
$$\chi_{\text{CMB}}^2 = \left( \frac{R - R_{\text{obs}}}{\sigma_R} \right)^2, \quad \chi_{\text{LSS}}^2 = \left( \frac{A - A_{\text{obs}}}{\sigma_A} \right)^2$$

Then, the joint  $\chi^2$  function becomes

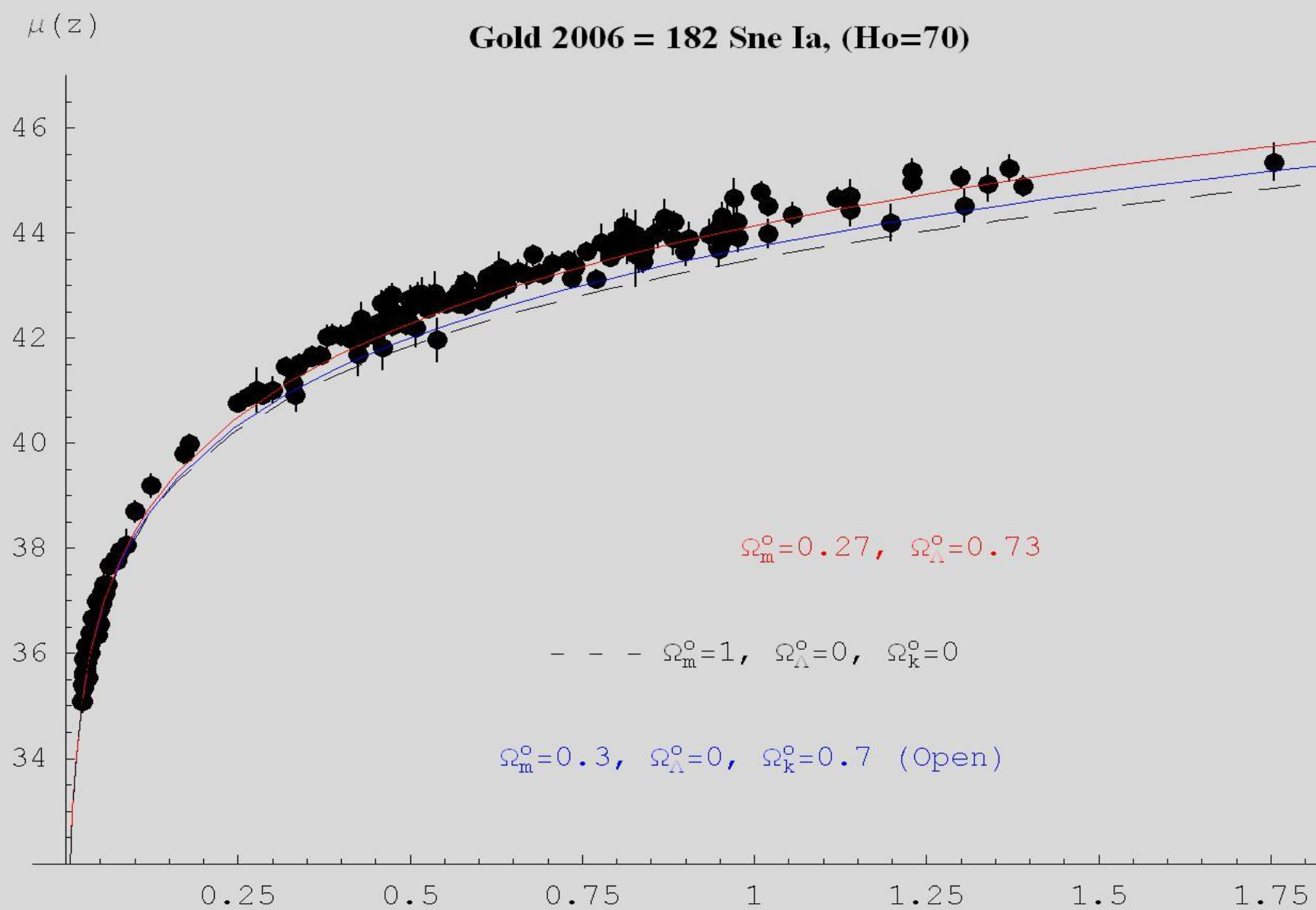
$$\chi^2 = \chi_{\text{SN}}^2 + \chi_{\text{CMB}}^2 + \chi_{\text{LSS}}^2$$



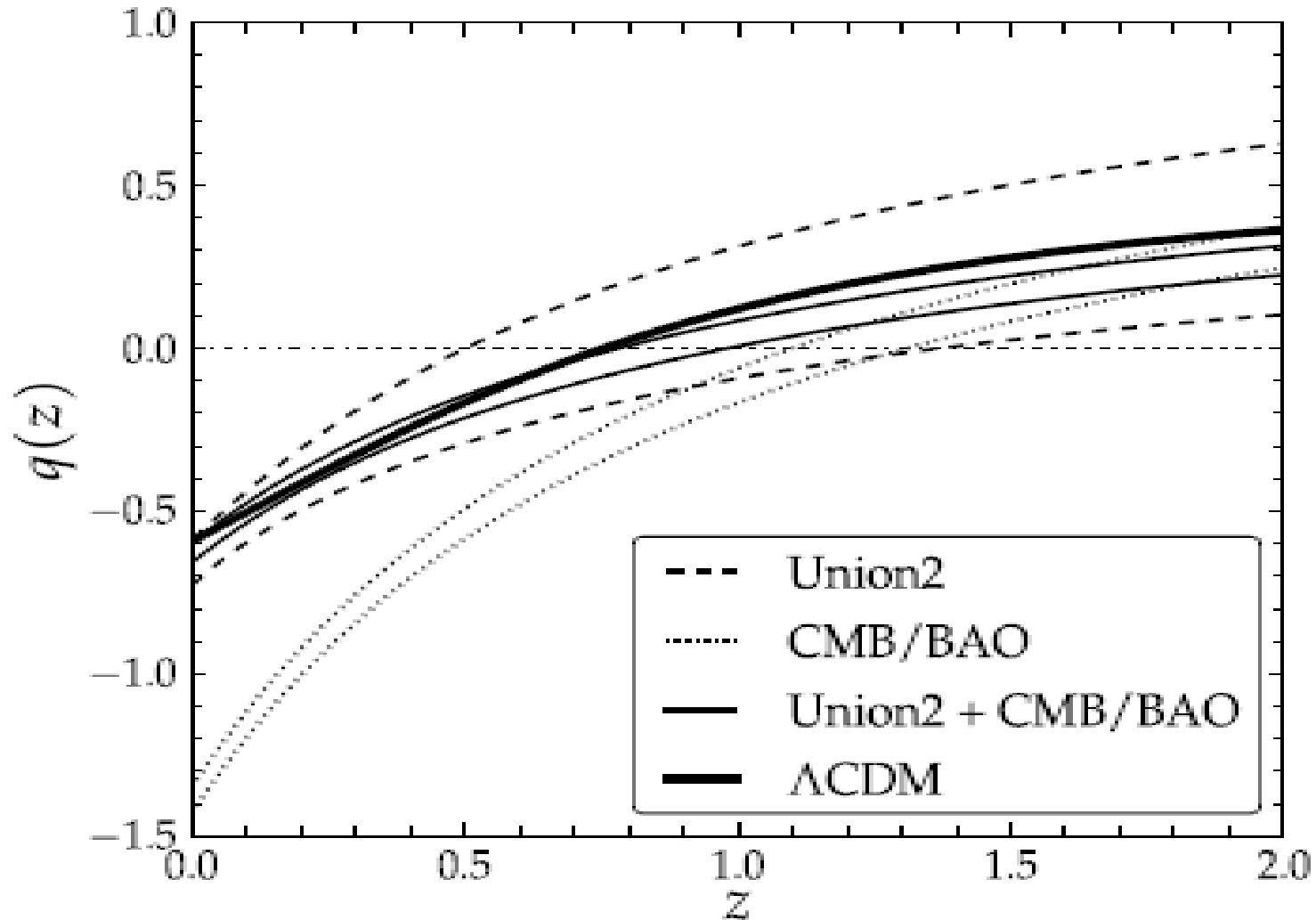
# Concordance Model, Open and Flat Models dominated by matter,



# Concordance Model, Open and Flat Models dominated by matter,



# Constraints on Deceleration Parameter



## 5. - Kinematic Evidence for Acceleration: Linear Ansatz.

Deceleration Parameter:

$$q(z) \equiv -\frac{a\ddot{a}}{\dot{a}^2}$$

Expanding in the linear ansatz:

$$q(z) = q_0 + Q_0 z$$

The Hubble Parameter is:

$$H(z) = H_0 \exp \left[ \int_0^z \{1 + q(u)\} d \text{Ln}(1 + u) \right]$$

In a Flat universe  $k = 0$ , we have the luminosity distance:

$$d_L(z, H_0, q_0, Q_0) = \frac{c(1+z)}{H_0} \int_0^z \frac{du}{(1+u)^{1+q_0-Q_0} e^{uQ_0}}$$

#### 4.- Estimación Bayesiana de of Parámetros.

$X, Y, I =$  Proposiciones.

**Regla producto para Probabilidades:**

$$\text{prob}(X, Y | I) = \text{prob}(X | Y, I) \cdot \text{prob}(Y | I)$$

**Pero Tenemos:**

$$\text{prob}(X, Y | I) = \text{prob}(Y, X | I)$$



**Teorema de Bayes:**

$$\text{prob}(X | Y, I) = \frac{\text{prob}(Y | X, I) \cdot \text{prob}(X | I)}{\text{prob}(Y | I)}$$

$\text{prob}(X | Y, I) =$  Densidad de probabilidad posterior

$\text{prob}(Y | X, I) =$  Likelihood function.

$\text{prob}(X | I) =$  Densidad de probabilidad Previa

$$Y = D =$$

Muestra de datos de distancia modular de Sne Ia.

$$X = H_0, \Omega_i^0, \text{ etc.}$$

Modelo Cosmológico.

$I =$  Otras observaciones o suposiciones sobre:

$$H_0, \Omega_i^0 = \Omega_\Lambda^0, \Omega_M^0$$

El teorema de Bayes se escribe como:

$$\text{prob}(X | D, I) \propto \text{prob}(D | X, I) \cdot \text{prob}(X | I)$$

Asumimos: Densidad de probabilidad para el k-data:

$$\mu_k \equiv \mu_k^{obs} \pm \sigma_k$$

$$\text{prob}(\mu_k^{obs} | X, I) \equiv \left( \frac{1}{\sigma_k \sqrt{2\pi}} \right) \text{Exp} \left[ -\frac{[\mu_k^{teo}(z_k, X) - \mu_k^{obs}]^2}{2\sigma_k^2} \right]$$

Tenemos la “Likelihood function” para  $n$  datos observados:

$$prob(D | X, I) \equiv \prod_{k=1}^n prob(\mu_k^{obs} | X, I) = A \text{Exp}\left(-\frac{\chi^2}{2}\right)$$

Donde tenemos la distribución estadística Chi-cuadrada:

$$\chi^2(X) \equiv \sum_{k=1}^n \frac{[\mu_k^{teo}(z_k, X) - \mu_k^{obs}]^2}{\sigma_k^2}$$

Finalmente tenemos el Teorema de Bayes:

$$prob(X | D, I) \propto A \text{Exp}\left(-\frac{\chi^2}{2}\right) \cdot prob(X | I)$$

Densidad de  
Probabilidad Posterior

“Likelihood density”

Densidad de Probabilidad  
previa.

## Marginalización de parámetros.

Si el modelo  $X$  es parametrizado por  $(n+1)$  parámetros:

$$X = (x_1, x_2, \dots, x_{n+1})$$

Marginalizamos sobre uno de los parámetros:

$$x_{n+1} \in [a, b]$$

$$prob(\bar{X} | D, I) = \int_a^b prob(X | D, I) dx_{n+1} = A \int_a^b \text{Exp}\left(-\frac{\chi^2}{2}\right) \cdot prob(X | I) dx_{n+1}$$

Ahora tenemos  $n$  parámetros:

$$\bar{X} = (x_1, x_2, \dots, x_n)$$

Densidades de probabilidad (DP) previa más usados:

$$prob(X | I) = \delta(x_{n+1} - x_{n+1}^*)$$

← DP previa Delta de Dirac.

$$prob(X | I) = \text{constant}$$

← DP previa Constante.

$$prob(X | I) = \exp\left[-\frac{(x_{n+1} - x_{n+1}^*)^2}{2\sigma_{n+1}^2}\right]$$

← DP previa Gaussiana.

## Definición de una nueva distribución Chi-cuadrada:

$$\text{Prob}(\bar{X} | D, I) \equiv B \cdot \text{Exp} \left[ -\frac{\tilde{\chi}^2(\bar{X}) - \tilde{\chi}_{\min}^2}{2} \right]$$

Tenemos un máximo de Probabilidad en el mínimo de la distribución Chi-cuadrada:

$$\tilde{\chi}_{\min}^2 = \tilde{\chi}^2(\bar{X}_{be})$$

$\bar{X}_{be}$  = mejor estimación para parámetros  $(x_1, x_2, \dots, x_n)$ .

Regiones de confianza en los parámetros  $\bar{X} = (x_1, x_2, \dots, x_n)$  se calculan usando:

$$\tilde{\chi}^2(\bar{X}) - \tilde{\chi}_{\min}^2 \equiv \Delta\tilde{\chi}^2$$

$\Delta\chi^2$  as a Function of Confidence Level and Degrees of Freedom

$p$	$\nu$					
	1	2	3	4	5	6
68.3%	1.00	2.30	3.53	4.72	5.89	7.04
90%	2.71	4.61	6.25	7.78	9.24	10.6
95.4%	4.00	6.17	8.02	9.70	11.3	12.8
99%	6.63	9.21	11.3	13.3	15.1	16.8
99.73%	9.00	11.8	14.2	16.3	18.2	20.1
99.99%	15.1	18.4	21.1	23.5	25.7	27.8